

**UJI AKTIVITAS ANTIOKSIDAN DAN UJI TOKSISITAS SENYAWA
BASA SCHIFF DARI O-VANILIN DAN ANILINA**

SKRIPSI

Oleh :
SRI ANI NAFIAH
NIM. 16630091



**JURUSAN KIMIA
FAKULTAS SAINS DAN TEKNOLOGI
UNIVERSITAS ISLAM NEGERI MAULANA MALIK IBRAHIM
MALANG
2020**

**UJI AKTIVITAS ANTIOKSIDAN DAN UJI TOKSISITAS SENYAWA
BASA SCHIFF DARI O-VANILIN DAN ANILINA**

SKRIPSI

Oleh :
SRI ANI NAFIAH
NIM. 16630091

**Diajukan Kepada: Fakultas Sains dan Teknologi
Universitas Islam Negeri (UIN) Maulana Malik Ibrahim Malang Untuk
Memenuhi Salah Satu Persyaratan Dalam
Memperoleh Gelar Sarjana Sains (S.Si)**

**JURUSAN KIMIA
FAKULTAS SAINS DAN TEKNOLOGI
UNIVERSITAS ISLAM NEGERI MAULANA MALIK IBRAHIM
MALANG
2020**

**UJI AKTIVITAS ANTIOKSIDAN DAN UJI TOKSISITAS SENYAWA
BASA SCHIFF DARI O-VANILIN DAN ANILINA**

SKRIPSI

Oleh:
SRI ANI NAFIAH
NIM. 16630091

Telah Diperiksa dan Disetujui untuk Diuji
Tanggal: 11 Desember 2020

Pembimbing I



Ahmad Hanapi, M.Sc
NIDT. 19851225 20160801 1 069

Pembimbing II



Dr. M. Mukhlis Fahrudin, M.S.I
NIPT. 20142011409

Mengesahkan,
Ketua Jurusan



Elok Kamilah Hayati, M.Si
NIP. 19790620 200604 2 002

**UJI AKTIVITAS ANTIOKSIDAN DAN UJI TOKSISITAS SENYAWA
BASA SCHIFF DARI O-VANILIN DAN ANILINA**

SKRIPSI

Oleh:
SRI ANI NAFIAH
NIM. 16630091

Telah Dipertahankan di Depan Dewan Penguji Skripsi
Dan Dinyatakan Diterima Sebagai Salah Satu Persyaratan
Untuk Memperoleh Gelar Sarjana Sains (S.Si)
Tanggal: 11 Desember 2020

Penguji Utama	: Dr. Akyunul Jannah, S.Si, M.P NIP. 19750410 200501 2 009	(.....)
Ketua Penguji	: Rachmawati Ningsih, M.Si NIP. 19810811 200801 2 010	(.....)
Sekretaris Penguji	: Ahmad Hanapi, M.Sc NIDT. 19851225 20160801 1 069	(.....)
Anggota Penguji	: Dr. M. Mukhlis Fahrudin, M.S.I NIPT. 20142011409	(.....)

**Mengesahkan,
Ketua Jurusan**


Elok Kamilah Hayati, M.Si
NIP. 19790620 200604 2 002

PERNYATAAN ORISINALITAS PENELITIAN

Saya yang bertandatangan di bawah ini:

Nama : Sri Ani Nafiah
NIM : 16630091
Jurusan : Kimia
Fakultas : Sains dan Teknologi
Judul Penelitian : “Uji Aktivitas Antoksidan dan Uji Toksisitas Senyawa Basa Schiff dari *o*-Vanilin dan Anilina”

menyatakan dengan sebenar-benarnya bahwa skripsi ini merupakan hasil karya saya sendiri, bukan merupakan pengambilan data, tulisan atau pemikiran orang lain yang saya akui sebagai hasil tulisan atau pemikiran saya, kecuali dengan mencantumkan sumber kutipan pada daftar pustaka. Apabila dikemudian hari terbukti atau dapat dibuktikan skripsi ini hasil jiplakan, maka saya bersedia mempertanggungjawabkannya sesuai peraturan yang berlaku.

Malang, 23 Desember 2020
Yang Membuat Pernyataan,



Sri Ani Nafiah
NIM. 16630091

PERSEMBAHAN

Puji syukur Alhamdulillah, karya tulis ini saya persembahkan kepada:

1. Emak, Bapak, kakak dan adik tercinta, yang senantiasa memberikan doa dan dukungan terbaiknya untuk saya.
2. Seluruh teman-teman yang ada di Malang maupun Kediri, khususnya untuk teman-teman Kimia 16, teman-teman Oktet C, dan mbak-mbak pp Roudlotul Jannah, yang banyak memberikan saran, semangat, dan doa-doa kepada saya.
3. Teman-teman penelitian, (Ambar, Ainun, Alma) yang telah bekerja sama untuk mengerjakan uji antioksidan, terkhusus dalam mencari ruangan gelap untuk melarutkan DPPH.

“MOTTO”

“Usaha saja dulu, mengenai hasil itu kuasa ALLAH 😊”

LET THE ALMIGHTY TAKE OVER AFTER YOU'VE DONE YOUR
BEST !

KATA PENGANTAR

Puji syukur penulis panjatkan kehadirat Allah SWT atas segala rahmat dan hidayah-Nya, sehingga penulis dapat menyelesaikan Skripsi dengan judul **“Uji Aktivitas Antioksidan dan Uji Toksisitas Senyawa Basa Schiff dari *o*-Vanilin dan Anilina”**. Sholawat serta salam semoga selalu tercurahkan kepada Nabi Agung Muhammad SWT yang telah membuka jalan keselamatan untuk kita semua, serta untuk para keluarga, sahabat, dan ummatnya. Tujuan dari penyusunan Skripsi ini untuk memenuhi salah satu syarat dalam matakuliah Skripsi di Jurusan Kimia Fakultas Sains dan Teknologi Universitas Islam Negeri Maulana Malik Ibrahim Malang.

Skripsi ini dapat disusun dan diselesaikan atas kontribusi, bantuan, doa, semangat, motivasi, dan bimbingan dari banyak pihak. Oleh karena itu penulis mengucapkan banyak terima kasih kepada :

1. Ibu Elok Kamilah Hayati, M.Si selaku Ketua Jurusan Kimia Fakultas Sains dan Teknologi Universitas Islam Negeri Maulana Malik Ibrahim Malang serta seluruh bapak dan ibu dosen serta segenap staf administrasi.
2. Bapak Ahmad Hanapi, M.Sc selaku dosen pembimbing penelitian dan Bapak Dr. M. Mukhlis Fahrudin, M.S.I selaku dosen pembimbing agama, Ibu Dr. Akyunul Jannah, S.Si., M.P dan Ibu Rachmawati Ningsih, M.Si selaku dosen penguji yang telah meluangkan waktu untuk memberikan bimbingan, pengarahan, dan nasihat demi tersusunnya skripsi ini.
3. Bapak dan Ibu yang telah memberikan doa, kasih sayang, motivasi, dan materil kepada penulis dalam menyelesaikan skripsi ini.

4. Teman-teman seperjuangan Kimia 2016 terutama Kimia C, dan terkhusus kelompok Sintesis senyawa basa Schiff, serta semua teman yang telah memberikan masukan dan semangat kepada penulis dalam menyelesaikan skripsi ini.

Penulis menyadari bahwa dalam penyusunan skripsi ini masih jauh dari kata sempurna. Oleh karena itu, segala kritik dan saran akan penulis terima dengan lapang dada.

Malang, Desember 2020

Penulis



DAFTAR ISI

HALAMAN JUDUL	i
LEMBAR PERSETUJUAN	ii
LEMBAR PENGESAHAN	iii
PERNYATAAN ORISINALITAS PENELITIAN	iv
HALAMAN PERSEMBAHAN	v
KATA PENGANTAR	vi
DAFTAR ISI	vii
DAFTAR GAMBAR	x
DAFTAR LAMPIRAN	xi
ABSTRAK	xii
ABSTRACT	xiii
المخلص	xiv
BAB I PENDAHULUAN	1
1.1 Latar Belakang	1
1.2 Rumusan Masalah	5
1.3 Tujuan Penelitian.....	6
1.4 Batasan Masalah.....	6
1.5 Manfaat Penelitian.....	6
BAB II TINJAUAN PUSTAKA	8
2.1 <i>Orto</i> -Vanilin.....	8
2.2 Anilina	9
2.3 Senyawa Basa Schiff	10
2.4 Sintesis Basa Schiff dengan Metode Penggerusan.....	11
2.5. Monitoring Produk Sintesis Basa Schiff Menggunakan KLT	14
2.6 Identifikasi dan Karakterisasi basa Schiff	15
2.6.1 Karakterisasi menggunakan Spektrometer FT-IR	15
2.6.2 Karakterisasi menggunakan KG-SM	17
2.7 Uji Aktivitas Antioksidan Basa Schiff	20
2.8 Uji Toksisitas basa Schiff menggunakan BSLT	22
BAB III METODOLOGI PENELITIAN	25
3.1 Waktu dan Tempat Penelitian	25
3.2 Alat dan Bahan	25
3.2.1 Alat.....	25
3.2.2 Bahan.....	25
3.3 Rancangan Penelitian.....	26
3.4 Tahapan Penelitian	27
3.5 Cara Kerja	27
3.5.1 Sintesis Basa Schiff dari <i>o</i> -Vanilin dan anilina	27
3.5.2 Monitoring Basa Schiff dengan KLT.....	27

3.5.3 Uji Titik Leleh Basa Schiff.....	28
3.5.4 Uji Sifat Kimia Basa Schiff dengan Larutan NaOH	28
3.5.5 Karakterisasi Basa Schiff Menggunakan Spektrofotometer FTIR	28
3.5.6 Karakterisasi Basa Schiff Menggunakan KG-SM.....	29
3.5.7 Uji Antioksidan dengan Metode DPPH	29
3.5.8 Uji Toksisitas Basa Schiff	30
3.5.9 Analisis Data.....	32
BAB IV HASIL DAN PEMBAHASAN.....	33
4.1 Sintesis Senyawa Basa Schiff dari <i>o</i> -Vanilin dan Anilina.....	33
4.2 Uji Sifat Kimia	35
4.3 Monitoring Basa Schiff Menggunakan KLT	36
4.4 Karakterisasi Basa Schiff Menggunakan Spektrofotometer FTIR.....	39
4.5 Karakterisasi Basa Schiff Menggunakan KG-SM.....	40
4.6 Uji Antioksidan Basa Schiff dengan Metode DPPH.....	45
4.6.1 Penentuan Panjang Gelombang DPPH	45
4.6.2 Pengukuran Aktivitas Antioksidan Senyawa Basa Schiff.....	45
4.7 Uji Toksisitas Basa Schiff dengan Metode BSLT.....	50
4.7.1 Penetasan Larva Udang <i>Artemia salina</i> Leach	50
4.7.2 Uji Toksisitas Senyawa Basa Schiff	51
4.8 Dialog Hasil Penelitian Prespektif Islam	55
BAB V PENUTUP.....	59
5.1 Kesimpulan	59
5.2 Saran	59
DAFTAR PUSTAKA.....	60
LAMPIRAN	68

DAFTAR GAMBAR

Gambar 2.1 Struktur <i>o</i> -Vanilin	9
Gambar 2.2 Struktur Anilina	9
Gambar 2.3 Reaksi Umum Pembentukan Imin	10
Gambar 2.4 Mekanisme Pembentukan Senyawa Basa Schiff dari <i>o</i> -Vanilin dan Anilina	11
Gambar 2.5 Spektra IR	16
Gambar 2.6 Kromatogram Basa Schiff dari vanilin dan <i>p</i> -aminofenol	19
Gambar 2.7 Spektra massa puncak 3	19
Gambar 2.8 Pola fragmentasi	20
Gambar 2.9 Struktur DPPH	21
Gambar 2.10 Larva Udang <i>Artemia salina</i> Leach	23
Gambar 4.1 Dugaan mekanisme pembentukan senyawa basa Schiff	33
Gambar 4.2 Gambar Senyawa <i>o</i> -Vanilin, Anilina, dan Basa Schiff	34
Gambar 4.3 Reaksi senyawa basa Schiff dengan NaOH	36
Gambar 4.4 Hasil monitoring menggunakan KLT	37
Gambar 4.5 Spektra IR Senyawa (a) Basa Schiff (b) <i>o</i> -Vanilin (c) Anilina	39
Gambar 4.6 Kromatogram hasil analisis senyawa basa Schiff	41
Gambar 4.7 Spektra hasil analisis senyawa basa Schiff	41
Gambar 4.8 Struktur Difenil dimetil silikon pada kolom Rtx 5	42
Gambar 4.9 Perkiraan pola fragmentasi	44
Gambar 4.10 Spektrum UV-Vis radikal DPPH	45
Gambar 4.11 Reaksi senyawa basa Schiff dengan radikal DPPH	48
Gambar 4.12 Struktur senyawa basa Schiff dengan dugaan ikatan hidrogen	50
Gambar 4.13 Kurva analisis probit senyawa basa Schiff	52
Gambar 4.14 Dugaan kesetimbangan tautomerasi senyawa basa Schiff	54

DAFTAR LAMPIRAN

Lampiran 1. Rancangan Penelitian	68
Lampiran 2. Diagram Alir	69
Lampiran 3. Perhitungan	74
Lampiran 4. Hasil Karakterisasi	78
Lampiran 5. Data Hasil Uji Antioksidan	80
Lampiran 6. Data Hasil Uji Toksisitas	88
Lampiran 7. Dokumentasi	92



ABSTRAK

Nafiah, S.A. 2020. **Uji Aktivitas Antioksidan dan Uji Toksisitas Senyawa Basa Schiff dari *o*-Vanilin dan Anilina**. Proposal Skripsi. Jurusan Kimia Fakultas Sains dan Teknologi Universitas Islam Negeri Maulana Malik Ibrahim Malang. Dosen Pembimbing I : Ahmad Hanapi, M.Sc ; Pembimbing II : Dr. M. Mukhlis Fahrudin, M.S.I.

Kata Kunci : Basa Schiff, *o*-Vanilin, anilina, antioksidan, dan toksisitas

Senyawa basa Schiff merupakan produk dari reaksi kondensasi antara amina primer dengan senyawa karbonil. Senyawa ini memiliki potensi sebagai antibakteri, antijamur, antioksidan, dan dapat digunakan sebagai ligan dalam persenyawaan kompleks sehingga memiliki aktivitas biologi yang luas. Senyawa basa Schiff dapat disintesis dari senyawa *o*-Vanilin dan anilina. Tujuan dari penelitian ini untuk mengetahui hasil karakterisasi, aktivitas antioksidan, dan toksisitas dari senyawa basa Schiff hasil sintesis.

Sintesis senyawa basa Schiff dilakukan menggunakan metode penggerusan. Kemudian, ditentukan % rendemen dan dikarakterisasi berdasarkan wujud, warna, titik leleh, dan reaksi kimia dengan larutan NaOH. Selanjutnya, dimonitoring menggunakan KLT, dikarakterisasi lanjut menggunakan FTIR dan KG-MS. Dilakukan uji aktivitas antioksidan senyawa basa Schiff menggunakan metode DPPH. Uji toksisitas senyawa basa Schiff dengan metode *Brine Shrimp Lethality Test* (BSLT).

Hasil penelitian menunjukkan senyawa basa Schiff memiliki karakter fisik berwujud padatan jingga dengan titik leleh 75-78 °C. Tidak larut dalam akuades dan larut sempurna dalam NaOH 2 M. Hasil monitoring menunjukkan nilai $R_f = 0,90$. Terdapat serapan gugus C=N pada bilangan gelombang 1614 cm^{-1} . Hasil karakterisasi menggunakan KG-MS terdeteksi satu puncak dengan waktu retensi 38,67 menit dengan kemurnian senyawa 100%, ion molekuler menunjukkan $m/z = 227$ yang sesuai dengan berat molekul senyawa 2-metoksi-6(feniliminometil)fenol. Hasil uji aktivitas antioksidan diperoleh nilai $EC_{50} = 196,4\text{ ppm}$. Sedangkan hasil uji toksisitas terhadap larva *Artemia salina* Leach, menunjukkan adanya sifat toksik dengan nilai $LC_{50} = 9,99145\text{ ppm}$. Hasil skrining menunjukkan senyawa ini memiliki potensi sebagai antikanker, yang dapat diuji lanjut untuk dapat dimanfaatkan sebagai obat. Metode sintesis yang digunakan memberikan manfaat dalam hal mengurangi pencemaran lingkungan. Hal ini sebagaimana peran manusia sebagai khalifah untuk menjaga dan melestarikan lingkungan demi kemaslahatan umat manusia.

ABSTRACT

Nafiah, S.A. 2020. **The Activity Test of Antioxidant and Toxicity of Schiff Base Compound from *o*-Vanillin and Aniline.** Proposal Skripsi. Chemistry Department, Faculty of Science and Technology, Islamic State University Maulana Malik Ibrahim, Malang. Supervisor I : Ahmad Hanapi, M.Sc; Supervisor II : Dr. M. Mukhlis Fahrudin, M.S.I.

Keywords: Schiff base, *o*-Vanillin, aniline, antioxidant, toxicity

A Schiff base compounds is product of the condensation reaction between the primary amine and the carbonyl compound. Schiff base compounds have many potential application as antibacterial, anti-fungal, antioxidant, dan can be used as ligands in complex compounds and than have biological activities. Schiff base compound can be synthesis from *o*-vanillin and aniline. Aim of this research is : to know the characteristic, the antioxidant activity, and the toxicity of Schiff base compound from *o*-Vanillin and aniline.

Schiff Base was synthesized using the grinding method. Furthermore, %yields was determined and characterized based on shape, color, melting poin, and chemical reaction with NaOH solution. Then monitored using TLC, and to be continued by characterization using FTIR and GC-MS. The antioxidant activity of Schiff base was tested using the DPPH method. Toxicity test of Schiff base using the BSLT method.

The results showed that Schiff base has physical properties such as: orange solids with melting point 75-78°C. Insoluble in aquades and soluble in NaOH 2 M. The TLC result showed that the value of $R_f = 0.90$. Appears the absorption of the C=N group at wavenumber 1614 cm^{-1} . The result of characterization using GC-MS detected one peak with a retention time of 38.67 minutes with a purity of 100%. The molecular ion showed at $m/z = 227$ which corresponds to the molecular weight of the 2-methoxy-6(phenylminomethyl) phenols. The results of antioxidant activity test obtained that the value of $EC_{50} = 196.4$ ppm. As for toxicity tests against the larvae of *Artemia salina* Leach, it shows the appearance of toxic properties with a value of $LC_{50} = 9.99145$ ppm. Screening results indicate that this compound has the potential to be an anticancer, which can then be tested for use as medicine. The synthesis method used is useful in reducing environmental pollution. As the role of humans as caliph to protect and preserve the environment for the benefit of mankind.

الملخص

نافيه س أ. ٢٠٢٠. اختبار نشاط المضادات الأوكسدة واختبار السمية لمركبات باسا شيف من أورثو فانيلين والأنيلين اقترح أطروحة. قسم الكيمياء ، كلية العلوم والتكنولوجيا ، جامعة الدولة الإسلامية مولانا مالك إبراهيم مالانج. المشرف الأول: أحمد حنابي ، ماجستير ؛ المشرف الثاني: د. مخلص فخر الدين ، ماجستير

الكلمات المفتاحية: قاعدة شيف ، أو-فانيلين ، الأنيلين ، مضادات الأوكسدة ، السمية

مركب باسا شيف هو ناتج تفاعل التكثيف بين الأمينات الأولية ومركبات الكربونيل. تحتوي هذه المركبات على إمكانات كمضادات للبكتيريا ومضادات الفطريات ومضادات الأوكسدة، ويمكن استخدامها كروابط في مركبات معقدة بحيث يكون لها النشاط بيولوجي الواسع. تصنع مركبات باسا شيف من مركبات وأورثو فانيلين والأنيلين. الغرض من هذا البحث هو لمعرفة نتائج التوصيف، والنشاط في المضاد للأوكسدة، والسمية لمركب باسا شيف المركب.

تم تصنيع قاعدة شيف باستخدام طريقة الطحن. علاوة على ذلك ، تم تحديد نسبة الغلات وتمييزها بناءً على الشكل واللون ونقطة الذوبان والتفاعل الكيميائي مع محلول هيدروكسيد الصوديوم. ثم تمت مراقبته باستخدام TLC ، واستمر في التوصيف باستخدام FTIR و GC-MS تم اختبار النشاط المضاد للأوكسدة لقاعدة شيف باستخدام طريقة DPPH. اختبار السمية لقاعدة شيف باستخدام طريقة BSLT.

أظهرت النتائج أن قاعدة شيف لها خصائص فيزيائية مثل: جوامد برتقالية بنقطة انصهار ٧٥-٧٨ درجة مئوية. غير قابل للذوبان في الأكواديس وقابل للذوبان في هيدروكسيد الصوديوم ٢ م. أظهرت نتيجة TLC أن قيمة $R_f = 0.90$. يظهر امتصاص مجموعة $C = N$ عند رقم موجي ١٦١٤ سم^{-١}. كشفت نتيجة التوصيف باستخدام GC-MS عن ذروة واحدة بوقت استبقاء ٣٨.٦٧ دقيقة بنقاء ١٠٠٪. تم عرض الأيون الجزيئي عند $m / z = 227$ والذي يتوافق مع الوزن الجزيئي لـ ٢-6-methoxy(phenylmethyl)phenols. وحصلت نتائج اختبار النشاط المضاد للأوكسدة على أن قيمة $EC_{50} = 196.4$ جزء في المليون. كما أظهر اختبار السمية ليرقات نبات الأرتيميا سالينا طبيعة سامة بقيمة $LC_{50} = 9.99145$ جزء في المليون. تشير نتائج الفحص إلى أن هذا المركب لديه القدرة على أن يكون مضاداً للسرطان ، لذلك يمكن اختباره مرة أخرى لاستخدامه كدواء. طريقة التوليف المستخدمة مفيدة في الحد من التلوث البيئي. حيث أن دور الإنسان كخليفة في حماية البيئة والحفاظ عليها لمنفعة البشرية.

BAB I

PENDAHULUAN

1.1 Latar Belakang

Senyawa basa Schiff merupakan produk dari reaksi kondensasi antara amina primer dengan senyawa karbonil, senyawa ini pertama kali diperkenalkan oleh Hugo Schiff pada tahun 1864 (Ashraf *et al.*, 2011). Senyawa basa Schiff telah dipelajari secara luas (Sobola *et al.*, 2014) dalam hal sintesis maupun pemanfaatannya. Berdasarkan hasil penelitian terdahulu menunjukkan bahwa, senyawa basa Schiff berpotensi sebagai inhibitor korosi (Upadhyay dan Mathur, 2007), antijamur (Ashraf *et al.*, 2011), antibakteri (Chigurupati, 2015), antimikroba dan antiaflatosigenik (Harohally *et al.*, 2017), antioksidan suhu tinggi dalam industri pelumas (Yu *et al.*, 2017), antioksidan (Oloyede-Akinsulere *et al.*, 2018), dan sebagai ligan dalam pembentukan senyawa kompleks yang memiliki berbagai aktivitas biologi (Joshi *et al.*, 2014; Sam *et al.*, 2012).

Senyawa basa Schiff dapat diperoleh melalui sintesis menggunakan metode konvensional (refluk) maupun *green synthesis*. Beberapa penelitian terdahulu yang menggunakan metode konvensional (refluks), diantaranya dilakukan oleh Yang dan Sun (2006) mensintesis senyawa basa Schiff dari 3,4,5-trimetoksibenzaldehid dan *p*-Toluidina selama lebih dari 7 jam dengan pelarut benzena. Hasil sintesis diperoleh rendemen sebesar 72%. Penelitian lain juga dilakukan oleh Sam *et al.* (2012) yang mensintesis senyawa basa Schiff dari *o*-Vanilin dan 2-hidrazinopiridina menggunakan refluks selama 5 jam, diperoleh rendemen sebesar 75%. Joshi *et al.* (2014) mensintesis basa Schiff dari 2-

hidroksi-3-metoksi-5-nitrobenzaldehida dan 2,4-dimetilanilina selama 4 jam dengan pelarut etanol (EtOH), diperoleh senyawa basa Schiff berwarna kuning dengan rendemen sebesar 87%.

Berdasarkan hasil penelitian terdahulu menunjukkan bahwa senyawa basa Schiff hasil sintesis menggunakan metode konvensional (refluks) memerlukan pelarut untuk proses refluks, waktu yang diperlukan untuk refluks relatif lama (4-7 jam), dan membutuhkan energi tinggi. Metode konvensional merupakan metode yang kurang ramah lingkungan (Hasanah *et al.*, 2017). Sedangkan, metode ramah lingkungan (*green synthesis*) merupakan metode yang lebih efektif dibandingkan dengan metode konvensional (refluks) (Hasanah *et al.*, 2017). Keuntungan dari metode *green synthesis* adalah waktu reaksi yang relatif lebih pendek, biaya rendah, mudah untuk dilakukan, sehingga efisiensi maksimum (Bendale *et al.*, 2011). Pada metode ini reaksi berlangsung pada suhu kamar dengan hasil rendemen yang tinggi (Zarei and Jarrahpour, 2011).

Beberapa penelitian dengan menggunakan metode *green synthesis* (penggerusan), dilakukan oleh Bendale *et al.* (2011) mensintesis senyawa basa Schiff dari *o*-Vanilin dan *p*-Toluidina selama 17 menit. Hasil sintesis diperoleh padatan berwarna kuning pucat dengan rendemen sebesar 95,80%. Penelitian lain juga dilakukan oleh Hasanah *et al.* (2017) dalam mensintesis senyawa basa Schiff dari vanilin dan *p*-Toluidina dengan variasi waktu penggerusan 10, 15, dan 20 menit. Produk hasil sintesis berwarna kuning pucat dengan besar rendemen secara berturut-turut sebesar 95,1315%; 95,5570%; dan 96,0820%. Berdasarkan hasil penelitian tersebut, Hanapi dan Ningsih (2019) mensintesis senyawa basa Schiff

dari *o*-Vanilin dan anilina dengan menggunakan waktu penggerusan 20 menit. Hasil yang diperoleh berupa padatan jingga dengan rendemen sebesar 90, 93%.

Sebagaimana yang telah disebutkan sebelumnya, bahwa senyawa basa Schiff berpotensi sebagai antioksidan. Hal ini berkesesuaian dengan beberapa penelitian yang menunjukkan bahwa keberadaan pasangan elektron bebas pada orbital hibridisasi sp^2 dari *azomethine group* ($-C=N-$) memiliki peranan yang penting secara kimiawi dan biologis (Ashraf *et al.*, 2011). Sehingga senyawa basa Schiff dapat diaplikasikan dalam bidang kimia farmasi dan kedokteran. Salah satu manfaat basa Schiff yang dapat diaplikasikan dalam bidang kesehatan adalah sebagai antioksidan. Antioksidan pada umumnya merupakan donor hidrogen atau donor elektron ke sisi reaktif molekul radikal, sehingga dapat menetralkan molekul tersebut (Kumar *et al.*, 2014).

Pratiwi dan Cahyana (2015) telah melakukan pengujian aktivitas antioksidan produk basa Schiff dengan menggunakan radikal 1,1-difenil-2-pikrilhidrazil (DPPH). Dua produk basa Schiff hasil sintesis yaitu basa Schiff (Produk A) dari 2-hidroksi asetofenon dan 4-amino antipirin; dan basa Schiff (produk B) dari vanilin dan 4-amino antipirin. Hasil uji antioksidan pada produk A dan produk B, dengan nilai IC_{50} secara berturut-turut sebesar 69,10 $\mu\text{g/ml}$ dan 22,53 $\mu\text{g/ml}$. Uji antioksidan yang dilakukan oleh Jasmarullah (2018) terhadap senyawa basa Schiff dari vanilin dan anilina, diperoleh nilai EC_{50} sebesar 281 ppm.

Selain berpotensi sebagai antioksidan, senyawa basa Schiff memiliki potensi sebagai antitumor. Aktivitas ini dapat dianalisa menggunakan uji toksisitas terhadap larva udang air laut (*Brine Shrimp*). Metode yang digunakan adalah

metode BSLT (*Brine Shrimp Lethality Test*), hal ini merupakan langkah awal sebagai uji pendahuluan untuk penjarangan potensi aktivitas antitumor pada senyawa basa Schiff (Sam *et al.*, 2012). Hasil dari uji ini adalah nilai toksisitas yang ditentukan dari harga LC_{50} yang dihitung berdasarkan analisis probit (Harmita and Radji, 2008).

Sam dkk. (2012) melakukan uji toksisitas pada senyawa basa Schiff dari *o*-Vanilin dan 2-hidrazinopiridin, dengan menggunakan larva udang laut. Hasil dari uji toksisitas ini adalah nilai toksisitas LC_{50} sebesar 138,03 ppm. Hasil uji toksisitas yang dilakukan oleh Pratiwi dan Cahyana (2015) pada produk A dan B secara berturut-turut diperoleh nilai toksisitas LC_{50} sebesar 389,25 $\mu\text{g/mL}$ dan 23,73 $\mu\text{g/mL}$. Penelitian oleh Jasmarullah (2018) menunjukkan bahwa, nilai toksisitas LC_{50} senyawa basa Schiff sebesar 13,88 ppm.

Penelitian-penelitian terdahulu menunjukkan bahwasannya senyawa basa Schiff memiliki aktivitas antioksidan dan toksisitas dengan nilai yang beragam. Hasil penelitian oleh Jasmarullah (2018) menunjukkan aktivitas antioksidan yang lemah. Sehingga, dalam penelitian ini dilakukan uji aktivitas antioksidan dan toksisitas dari senyawa basa Schiff dari *o*-Vanilin dan anilina. Hal ini didasarkan atas senyawa *o*-Vanilin yang memiliki aktivitas antioksidan dan penghambat pertumbuhan tumor yang lebih tinggi daripada senyawa vanilin (Kumar *et al.*, 2002; Marton *et al.*, 2016). Kedua senyawa tersebut dapat ditemukan dalam tanaman vanila dan memiliki banyak manfaat. Tumbuhan yang diciptakan oleh Allah memiliki banyak manfaat jika dipelajari secara mendalam, Hal ini bersesuaian dengan firman Allah dalam Q.S luqman ayat 10 :

خَلَقَ السَّمَوَاتِ بِغَيْرِ عَمَدٍ تَرَوْنَهَا وَالْأَرْضِ رَوَاسِي أَنْ تُمِيدَ بِكُمْ وَبَثَّ فِيهَا مِنْ كُلِّ دَابَّةٍ وَأَنْزَلْنَا مِنَ السَّمَاءِ مَاءً فَأَنْبَتْنَا فِيهَا مِنْ كُلِّ زَوْجٍ كَرِيمٍ - ١٠

Artinya:

“Dia menciptakan langit tanpa tiang sebagaimana kamu melihatnya, dan Dia meletakkan gunung-gunung (di permukaan) bumi agar ia (bumi) tidak menggoyangkan kamu; dan memperkembangbiakkan segala macam jenis makhluk bergerak yang bernyawa di bumi. Dan Kami turunkan air hujan dari langit, lalu Kami tumbuhkan padanya segala macam tumbuh-tumbuhan yang baik.”

Berdasarkan ayat tersebut, yang menjadi fokus integrasi dalam penelitian ini adalah فَأَنْبَتْنَا فِيهَا مِنْ كُلِّ زَوْجٍ كَرِيمٍ. Penggalan ayat tersebut menegaskan bahwasannya

Allah menumbuhkan segala macam tumbuh-tumbuhan yang baik, yaitu tumbuhan yang memiliki warna yang indah dan manfaat yang banyak bagi makhluk hidup (menurut tafsir Al-Mukhtashar / markas tafsir Riyadh, dibawah pengawasan Syaikh Dr. Shalih bin Abdullah bin Humaid, imam masjidil) (TafsirWeb, 2019).

Dalam penelitian ini akan dilakukan sintesis senyawa basa Schiff dari *o*-vanilin dan anilina. Kemudian dilakukan uji antioksidan dan toksisitas, untuk mengetahui aktivitas antioksidan dari senyawa hasil sintesis digunakan metode DPPH. Sedangkan untuk mengetahui toksisitas dari senyawa hasil sintesis digunakan metode BSLT, uji toksisitas terhadap larva udang *Artemia salina* Leach.

1.2 Rumusan Masalah

1. Bagaimana hasil karakterisasi produk sintesis senyawa basa Schiff dari *o*-Vanilin dan anilina dengan metode penggerusan?
2. Bagaimana aktivitas antioksidan senyawa basa Schiff dari *o*-Vanilin dan anilina terhadap DPPH?

3. Bagaimana toksisitas senyawa basa Schiff dari *o*-Vanilin dan anilina terhadap larva udang *Artemia salina Leach*?

1.3 Tujuan Penelitian

1. Mengetahui hasil karakterisasi produk sintesis senyawa basa Schiff dari *o*-Vanilin dan anilina dengan metode penggerusan.
2. Mengetahui aktivitas antioksidan senyawa basa Schiff dari *o*-Vanilin dan anilina terhadap DPPH.
3. Mengetahui toksisitas senyawa basa Schiff dari *o*-Vanilin dan anilina terhadap larva udang *Artemia salina Leach*.

1.4 Batasan Masalah

1. Perbandingan mol reaktan *o*-Vanilin dan anilina 1:1
2. Metode *green synthesis* yang digunakan adalah metode penggerusan tanpa pelarut dan katalis, dengan waktu penggerusan 20 menit
3. Karakterisasi senyawa hasil sintesis menggunakan FTIR dan KG-SM.
4. Pengujian aktivitas antioksidan menggunakan metode DPPH.
5. Pengujian toksisitas menggunakan metode BSLT.

1.5 Manfaat Penelitian

Penelitian dalam hal sintesis dengan metode ramah lingkungan, memberikan kebermanfaatan dalam menjaga lingkungan. Hal ini sebagai bentuk tanggung jawab manusia sebagai khalifah dalam menjaga dan menyelesaikan masalah, khususnya dalam hal lingkungan dan keseimbangan. Penelitian ini juga

diharapkan dapat memberikan informasi ilmiah mengenai senyawa basa Schiff dari o-Vanilin dan anilina, serta memberikan informasi mengenai potensi antioksidan terhadap radikal bebas DPPH dan toksisitasnya terhadap larva udang *Artemia salina* Leach.



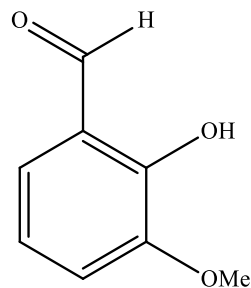
BAB II

TINJAUAN PUSTAKA

2.1 *Orto-Vanilin*

Orto-Vanilin dengan nama IUPAC 2-hidroksi-3-metoksibenzaldehida memiliki rumus molekul $C_8H_8O_3$. Berwujud padatan dengan berat molekul 152,150 g/mol dengan berat jenis $1,2143 \text{ g/cm}^3$, memiliki titik leleh pada rentang $40-42 \text{ }^\circ\text{C}$, dan titik didih $265,5 \text{ }^\circ\text{C}$ (Kolb, 2017; Yaws, 2015). *o*-Vanilin dapat larut dalam eter dan etanol (Stephenson, 2012). *o*-Vanilin merupakan isomer dari vanilin yang muncul secara alami (Kumar *et al.*, 2002). Senyawa ini memiliki aktivitas penghambat pertumbuhan tumor yang lebih tinggi daripada senyawa vanilin, serta berpotensi sebagai obat antikanker (Marton *et al.*, 2016). *o*-Vanilin juga lebih berpotensi sebagai antioksidan daripada senyawa vanilin (Kumar *et al.*, 2002).

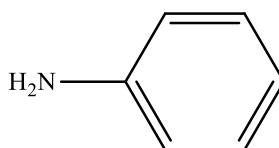
Berdasarkan struktur *o*-Vanilin pada Gambar 2.1. menunjukkan bahwa, senyawa *o*-Vanilin memiliki gugus aldehida. Gugus tersebut bersifat polar karena elektron-elektron dalam ikatan sigma dan ikatan pi tertarik oleh oksigen yang lebih elektronegatif. Gugus aldehida dalam senyawa *o*-Vanilin dapat mengalami reaksi adisi-eliminasi aldehida. Salah satunya, reaksi dengan amina primer yang berperan sebagai nukleofil dalam menyerang gugus karbonil dari suatu aldehida dalam reaksi adisi-eliminasi. Produk dari reaksi tersebut berupa suatu imina yang mengandung gugus $C=N$, atau sering disebut basa Schiff (Fessenden and Fessenden, 1982).

Gambar 2.1 Struktur *o*-Vanilin

2.2 Anilina

Anilina termasuk dalam senyawa organik aromatis memiliki rumus molekul C_6H_7N . Anilina diisolasi dengan destilasi uap, dalam keadaan murni berwujud cairan tak berwarna, memiliki bau apak, dan menghitam apabila terpapar udara. Anilina memiliki titik didih $184\text{ }^\circ\text{C}$ dan berat jenis $1,02\text{ g/mL}$ (Fachry *et al.*, 2005; Travis, 2009). Senyawa ini larut dalam alkohol, mudah larut dalam eter, dan sedikit larut dalam air dengan $K_b\ 4,6 \times 10^{-10}$ (Travis, 2009; Winship, 1921).

Berdasarkan struktur anilina pada Gambar 2.2 menunjukkan bahwa senyawa ini memiliki gugus amina primer ($-NH_2$). Amina memiliki berbagai jenis reaksi, salah satunya adalah reaksi amina dengan aldehida (pereaksi karbonil). Adanya elektron bebas dari nitrogen amina menyebabkan terjadinya serangan nukleofilik. Produk yang terbentuk dari reaksi tersebut adalah suatu imina. Gugus amina primer dalam senyawa anilina bersifat nukleofil dan dapat menyerang gugus karbonil (Fessenden and Fessenden, 1982).

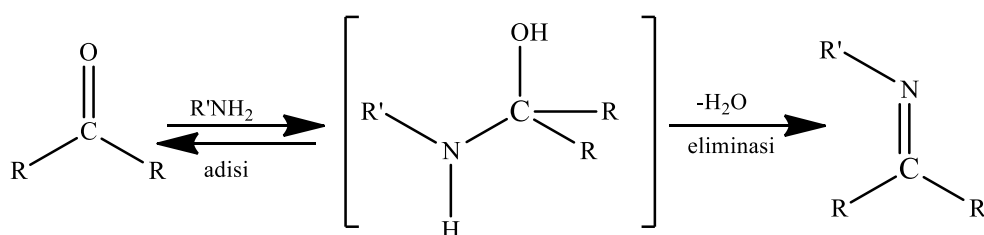


Gambar 2.2 Struktur Anilina

2.3 Senyawa Basa Schiff

Basa Schiff merupakan suatu senyawa dengan gugus fungsi yang mengandung karbon-nitrogen *double bond* (C=N). Atom nitrogen tersebut terhubung dengan gugus aril atau alkil (Sebastian and Thapa, 2015). Senyawa ini juga dikenal sebagai imina atau *azomethine*. Gugus karbonil (C=O) dari aldehida atau keton digantikan oleh gugus imina atau *azomethine* (Anad *et al.*, 2012). Senyawa basa Schiff memiliki rumus umum $R^1R^2C=NR^3$, dimana R merupakan sisi rantai organik. Senyawa ini terbentuk dari kondensasi senyawa aldehida/keton dengan amina primer (Sebastian and Thapa, 2015).

Mekanisme pembentukan senyawa basa Schiff melibatkan dua langkah utama. Pertama, serangan dari nitrogen amina terhadap atom karbon karbonil. Kedua, atom nitrogen terdeprotonasi dan elektron dari ikatan N-H berpindah dan membentuk ikatan C=N yang disertai dengan pelepasan molekul air (Sebastian and Thapa, 2015). Reaksi umum dari pembentukan senyawa basa Schiff ditunjukkan pada Gambar 2.3. Amina primer dalam reaksi pembentukan basa Schiff berperan sebagai nukleofil, sedangkan atom karbon pada karbonil mengalami serangan dari atom nitrogen amina primer (disebut juga sebagai elektrofil) (Fessenden and Fessenden, 1982). Adapun mekanisme reaksi pembentukan senyawa basa Schiff dari *o*-Vanilin dan anilina ditunjukkan pada Gambar 2.4.



Gambar 2.3 Reaksi umum pembentukan imin (Fessenden and Fessenden, 1982)

kemurnian yang tinggi karena hanya melibatkan dua reaktan (Hasanah *et al.*, 2017) serta tidak menghasilkan produk samping. Metode ini disebut juga sebagai metode *green synthesis*. Sehingga dengan metode ini, manusia sebagai khalifah dapat menjaga dan melestarikan alam, mampu untuk memahami alam sebagaimana mestinya. Sebagaimana larangan Allah swt. kepada manusia dalam berbuat kerusakan, yang terdapat dalam surah al-‘araf ayat 56.

وَلَا تُفْسِدُوا فِي الْأَرْضِ بَعْدَ إِصْلَاحِهَا وَادْعُوهُ خَوْفًا وَطَمَعًا إِنَّ رَحْمَتَ اللَّهِ قَرِيبٌ مِّنَ الْمُحْسِنِينَ - ٥٦

Yang artinya:

“Dan janganlah kamu berbuat kerusakan di bumi setelah (diciptakan) dengan baik. Berdoalah kepada-Nya dengan rasa takut dan penuh harap. Sesungguhnya rahmat Allah sangat dekat kepada orang yang berbuat kebaikan.” Q.S al-‘araf:56

Menjaga keseimbangan lingkungan merupakan salah satu bentuk ketaatan kepada Allah, sebagaimana firman Allah dalam Q.S al-‘araf:56 (larangan dalam berbuat kerusakan di bumi). Hal ini dikarenakan peran manusia sebagai khalifah Allah / pemimpin di muka bumi. Adapun firman Allah mengenai manusia sebagai khalifah terdapat dalam Q.S al-an’am: 165.

وَهُوَ الَّذِي جَعَلَكُمْ خَلَيفَةَ الْأَرْضِ وَرَفَعَ بَعْضَكُمْ فَوْقَ بَعْضٍ دَرَجَاتٍ لِّيَبْلُوَكُمْ فِي مَا آتَاكُمْ إِنَّ رَبَّكَ سَرِيعُ الْعِقَابِ

وَأَنَّهُ لَعَفُورٌ رَّحِيمٌ - ١٦٥

Artinya:

“Dan Dialah yang menjadikan kamu sebagai khalifah-khalifah di bumi dan Dia mengangkat (derajat) sebagian kamu di atas yang lain, untuk mengujimu atas (karunia) yang diberikan-Nya kepadamu. Sesungguhnya Tuhanmu sangat cepat memberi hukuman dan sungguh, Dia Maha Pengampun, Maha Penyayang.”

Berdasarkan firman Allah dalam Q.S al-an’am:165 menegaskan, bahwasannya manusia sebagai khalifah di bumi memiliki peranan yang penting dalam menjaga kelestarian lingkungan (alam). Integrasi penelitian ini dengan ayat tersebut

terdapat dalam penggunaan metode penggerusan dalam sintesis senyawa basa Schiff. Dimana, metode penggerusan merupakan salah satu dari konsep *Green Chemistry*, sebuah pemikiran yang berkenaan dengan kimia untuk menjaga lingkungan dari pencemaran (Ulfah *et al.*, 2013).

Metode penggerusan telah digunakan beberapa peneliti dalam sintesis senyawa basa Schiff. Diantaranya, sintesis basa Schiff dari vanilin dan *p*-Anisidina dengan perbandingan mol (1:1) dengan masing-masing sebanyak 1 mmol. Kedua reaktan digerus dalam mortar agate sampai terbentuk produk yang ditandai dengan terbentuknya warna kuning. Produk yang terbentuk disimpan dalam inkubator dengan suhu 35 °C selama 7 hari. Senyawa basa Schiff hasil sintesis memiliki titik leleh pada suhu 132,9 °C (Singh *et al.*, 2008).

Penelitian lain juga dilakukan oleh Zarei dan Jarrahpour (2011) dalam sintesis basa Schiff azo dari anilina dan azoaldehida (*p*-Anisidina dan *o*-Vanilin) menggunakan metode penggerusan. Sintesis yang dilakukan tidak menggunakan katalis serta penambahan pelarut. Perbandingan mol reaktan (1:1) dengan masing-masing sebanyak 5 mmol digerus dalam mortar selama satu menit, kemudian campuran dibiarkan pada suhu ruang selama 1,5 jam. Air yang terbentuk dari reaksi ini diuapkan pada suhu 70°C dibawah vakum. Padatan yang terbentuk berwarna oranye dengan rendemen sebesar 97%, memiliki titik leleh 155-157°C.

Bendale *et al.* (2011) melakukan penelitian dalam bidang sintesis basa Schiff dari *p*-Toluidina dan *o*-Vanilin. Sejumlah reaktan digerus dalam mortal selama 17 menit tanpa penambahan katalis dan pelarut. Produk ditempatkan didalam ruangan gelap sepanjang malam. Hasil sintesis berupa padatan berwarna kuning muda dengan rendemen sebesar 95,80% dan titik leleh 115-118 °C.

Penelitian juga dilakukan oleh Adawiyah (2017) dengan menggunakan metode penggerusan. Senyawa basa Schiff dari *p*-Anisidina dan vanilin disintesis dengan perbandingan mol reaktan (1:1) masing-masing sebanyak 7,5 mmol. Penggerusan dilakukan pada suhu ruang dengan waktu penggerusan divariasikan 10; 15; dan 20 menit. Rendemen terbesar diperoleh dari penggerusan selama 20 menit dengan nilai 94,86%. Senyawa basa Schiff hasil sintesis berwujud padatan coklat muda dengan titik leleh 129-131 °C.

2.5. Monitoring Produk Sintesis Basa Schiff Menggunakan KLT

Senyawa basa Schiff hasil sintesis dimonitoring menggunakan kromatografi lapis tipis (KLT). KLT merupakan salah satu teknik pemisahan dengan menggunakan dua fasa yaitu fasa gerak dan fasa diam. Dalam kromatografi ini, fasa diamnya menggunakan pelat kaca tipis yang dilapisi dengan aluminium oksida atau gel silika sebagai fasa padat. Pemisahan ini berdasarkan pada prinsip adsorpsi, distribusi suatu senyawa dalam dua fasa (fasa gerak dan fasa diam). Pemisahan yang terjadi berdasarkan aturan kelarutan “*Like Dissolves Like*” (Kumar *et al.*, 2013; Rubiyanto, 2017).

Analisa kualitatif sebagai identifikasi terbentuknya senyawa basa Schiff berdasarkan pada nilai *Retardation faktor* (R_f). Nilai ini diperoleh dari perbandingan jarak tempuh sampel dengan jarak tempuh pelarut (Rollando, 2019). Nilai R_f dipengaruhi oleh sifat adsorben, adsorben yang berbeda akan memberikan nilai R_f yang berbeda untuk pelarut yang sama. Adanya perbedaan nilai R_f antara senyawa basa Schiff dengan reaktan (*o*-Vanilin dan anilina) menunjukkan terbentuknya produk hasil sintesis. Hal ini dikarenakan, suatu

senyawa yang sejenis memiliki nilai Rf yang sama (Kumar *et al.*, 2013; Rubiyanto, 2017)

Beberapa penelitian menggunakan KLT untuk memonitoring senyawa basa Schiff hasil sintesis. Diantaranya dilakukan oleh Bendale *et al.* (2011), telah melakukan monitoring hasil sintesis basa Schiff dari *p*-Toluidina dan *o*-Vanilin menggunakan KLT. Hasil KLT dengan fasa gerak CHCl₃:MeOH (90:10) diperoleh nilai Rf = 0,62. Penelitian juga dilakukan oleh Adawiyah (2017) Hasil KLT dari senyawa basa Schiff, dengan menggunakan eluen dari kloroform metanol (9:1) menunjukkan nilai Rf= 0,84.

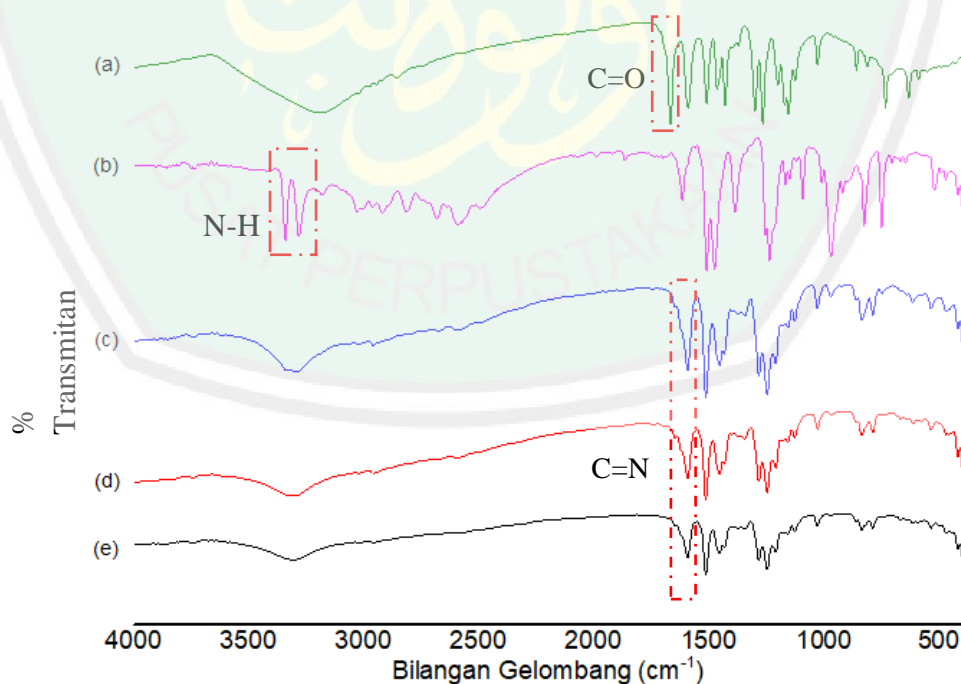
2.6 Identifikasi dan Karakterisasi basa Schiff

2.6.1 Karakterisasi menggunakan Spektrometer FT-IR

Spektrometer FTIR (*Fourier Transform Infra Red*) merupakan instrumen yang mampu mengukur energi vibrasi dari kumpulan atom yang berikatan. Dalam instrumen ini menggunakan radiasi infra merah (IR) sebagai sumber energi. Spektum dari hasil analisa digunakan untuk mengidentifikasi suatu gugus fungsi dari suatu molekul (Haryoto and Priyatno, 2018; Wibisono, 2017). Prinsip spektroskopi FTIR adalah vibrasi molekul suatu senyawa dapat menyerap radiasi inframerah pada rentang radiasi elektromagnetik (Moore, 2016). Analisis spektrometer FTIR menggunakan cahaya dari bilangan gelombang 4000-400 cm⁻¹ (Smith, 2011). Instrumen ini digunakan untuk mengetahui adanya gugus-gugus fungsi. Dalam senyawa basa Schiff terdapat beberapa gugus fungsi, salah satunya adalah gugus fungsi imin (C=N) yang menjadi ciri khas dari senyawa basa Schiff

(Sebastian and Thapa, 2015). Ikatan C=N *stretching* pada senyawa imin berada pada kisaran bilangan gelombang 1471-1689 cm^{-1} (Shriner *et al.*, 2004).

Penelitian-penelitian terdahulu menunjukkan adanya gugus fungsi (C=N) dalam senyawa basa Schiff pada beberapa bilangan gelombang. Diantaranya penelitian yang dilakukan oleh Zarei dan Jarrahpour (2011) menunjukkan hasil FTIR senyawa basa Schiff dari azoaldehida (*p*-Anisidina dan *o*-Vanilin) dan anilina, menunjukkan adanya gugus imina (C=N) pada bilangan gelombang 1619 cm^{-1} . Penelitian yang lain juga dilakukan oleh Adawiyah (2017), menunjukkan adanya gugus imin (C=N) dalam senyawa basa Schiff dari *p*-Anisidina pada bilangan gelombang 1506 cm^{-1} . Bendale *et al.*(2011) juga telah melakukan penelitian dalam bidang sintesis basa Schiff dari *p*-Toluidina dan *o*-Vanilin. Hasil analisa menggunakan FTIR menunjukkan adanya gugus (C=N) pada bilangan gelombang 1616 cm^{-1} .



Gambar 2.5 Spektra IR senyawa (a) vanilin (b) *p*-aminofenol (c) P 5 menit (d) P 15 menit (e) P 25 menit (Ronggopuro, 2019).

Berdasarkan penelitian Ronggopuro (2019) dalam sintesis senyawa basa Schiff dari vanilin dan p-aminofenol, menunjukkan adanya perbedaan spektra reaktan dengan produk (P). Hal ini ditunjukkan dengan tidak adanya serapan gugus karbonil (C=O) dan amina primer (N-H) dalam spektra produk. Serapan baru pada 1592 cm^{-1} yang merupakan serapan dari gugus imin (C=N), mendukung dugaan bahwa produk senyawa basa Schiff terbentuk. Hasil karakterisasi menggunakan FTIR disajikan pada Gambar 2.5.

2.6.2 Karakterisasi menggunakan KG-SM

Kromatografi gas spektroskopi massa (KG-SM) merupakan metode pemisahan dengan kombinasi yang sinergis antara kromatografi gas (KG) dan Spektroskopi massa (SM). Keduanya merupakan dua teknik analitik yang berbeda, digunakan untuk menganalisis campuran (Hussain and Maqbool, 2014; Sparkman *et al.*, 2011). Kromatografi gas dapat memisahkan senyawa semi-volatil dan volatil dengan resolusi tinggi, tetapi tidak dapat mengidentifikasi senyawa tersebut. Kromatografi gas merupakan kromatografi dengan fasa gerak berupa gas pembawa, umumnya gas inert seperti helium atau gas yang tidak reaktif seperti nitrogen, dan fasa diamnya adalah lapisan mikroskopis cairan atau polimer pada padatan inert pendukung, di dalam gelas atau tabung logam yang disebut sebagai kolom (Hussain and Maqbool, 2014).

Prinsip pemisahan kromatografi gas berdasarkan pada perbedaan titik didih suatu senyawa dalam campurannya. Hasil analisis kualitatif dan kuantitatif berupa kromatogram. Identifikasi suatu senyawa berdasarkan waktu retensi. Sedangkan spektroskopi massa merupakan detektor dari KG, sampel yang keluar

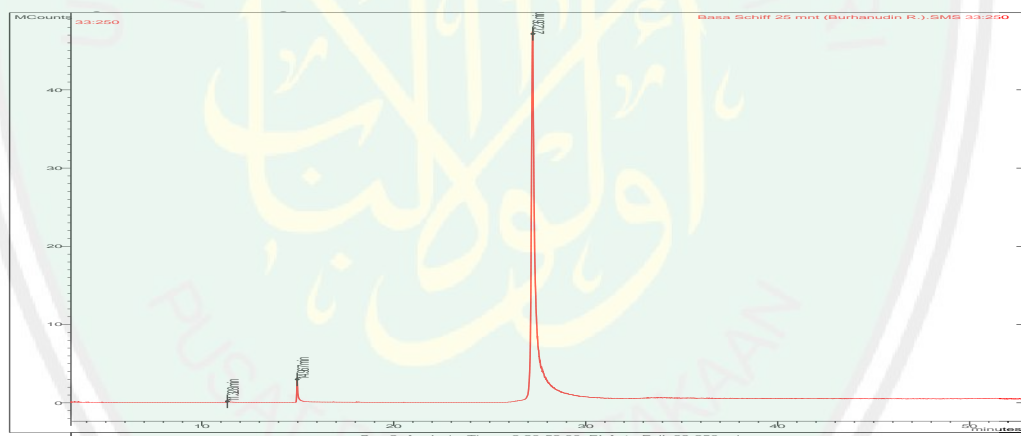
dari kolom KG diteruskan menuju spektroskopi massa dan mengalami fragmentasi oleh ionisasi. Sehingga terbentuk pola fragmentasi sebagai sajian informasi yang berbentuk spektrum, yang disertai dengan ion molekuler (m/z) (Ernes *et al.*, 2019; Hussain and Maqbool, 2014).

KG-SM dapat digunakan untuk mengkarakterisasi senyawa basa Schiff hasil sintesis. Kemurnian dari senyawa basa Schiff dapat diidentifikasi menggunakan kromatografi gas. Sedangkan untuk karakterisasi menggunakan spektroskopi massa, berdasarkan ion molekuler dapat diketahui berat molekul dari senyawa produk. Beberapa peneliti mengkarakterisasi senyawa basa Schiff dengan KG-SM. Diantaranya yang telah dilakukan oleh Zarei dan Jarrahpour (2011) hasil karakterisasi menggunakan KG-SM menunjukkan ion molekuler [M^+] dengan nilai $m/z = 299$. Sedangkan penelitian lain juga telah dilakukan oleh Adawiyah (2017) dengan hasil karakterisasi menggunakan KG-SM menunjukkan kemurnian senyawa basa Schiff sebesar 97,66%, dengan waktu retensi 23,624 menit dan nilai ion molekuler [M^+] sekaligus *base peak* dengan nilai $m/z = 257$.

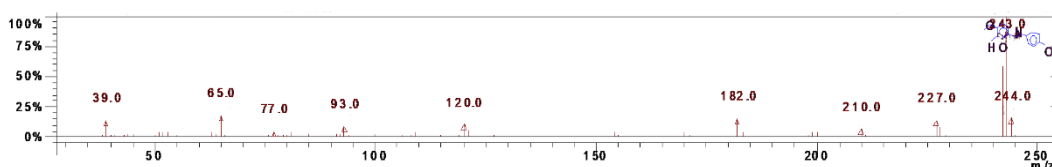
Karakterisasi menggunakan instrumentasi ini juga dilakukan oleh Ronggopuro (2019) terhadap senyawa basa Schiff dari vanilin dan *p*-aminofenol. Kromatogram senyawa basa Schiff hasil sintesis dengan waktu penggerusan 25 menit ditunjukkan pada Gambar 2.6. Berdasarkan kromatogram tersebut terdapat 3 puncak, dimana puncak 1 dan 2 merupakan puncak senyawa reaktan (*p*-aminofenol dan vanilin), sedangkan puncak 3 adalah puncak senyawa basa Schiff. Waktu retensi puncak secara berturut-turut adalah 11,328; 14,967; dan 27,236 menit dengan luas area untuk masing-masing puncak adalah 0,008%; 0,134%; dan

99%. Dugaan puncak ketiga adalah puncak dari senyawa target diperkuat menggunakan spektra MS.

Berdasarkan analisa menggunakan MS diperoleh ion molekuler masing-masing puncak dengan m/z sebesar 109, 152, dan 243. Spektra masa puncak ketiga ditunjukkan pada Gambar 2.7. Berdasarkan spektra tersebut menunjukkan bahwa ion molekuler dari senyawa target menjadi *base peak* dengan m/z 243, pola fragmentasi ion molekuler ditunjukkan pada Gambar 2.8 (Ronggopuro, 2019). Ion molekuler senyawa basa Schiff memiliki kation radikal yang stabil sehingga menjadi *base peak* dari senyawa basa Schiff. Hal ini karena adanya resonansi yang panjang dari senyawa ini (Adawiyah, 2017; Ronggopuro, 2019).



Gambar 2.6 Kromatogram produk hasil sintesis dari vanilin dan *p*-aminofenol dengan waktu penggerusan 25 menit (Ronggopuro, 2019)



Gambar 2.7 Spektra massa puncak 3



Gambar 2.8 Pola fragmentasi ion molekuler senyawa basa Schiff dari vanilin dan *p*-Aminofenol

2.7 Uji Aktivitas Antioksidan Basa Schiff

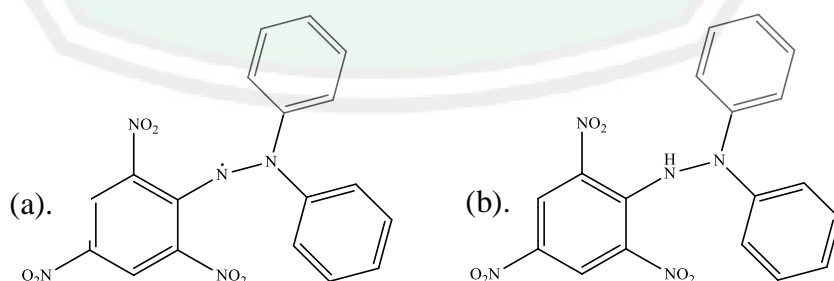
Antioksidan merupakan zat yang menetralkan radikal bebas (Ansari *et al.*, 2013). Antioksidan berperan penting sebagai faktor perlindungan kesehatan. Bukti ilmiah menunjukkan bahwa antioksidan mengurangi risiko penyakit kronis termasuk kanker dan penyakit jantung (Shekhar and Anju, 2014). Beberapa peneliti melaporkan bahwa senyawa basa Schiff memiliki potensi sebagai antioksidan (Kumar *et al.*, 2014; Mir and Ahmed, 2016; Pratiwi and Cahyana, 2015). Hal ini dikarenakan adanya gugus hidroksi pada senyawa basa Schiff yang berperan sebagai pendonor H radikal (Pratiwi and Cahyana, 2015), sehingga basa Schiff tersebut menjadi radikal yang stabil. Kestabilan radikal tersebut dipengaruhi oleh adanya dua cincin yang terkonjugasi.

Antioksidan (ArX-H) dapat meredam radikal bebas (R•) salah satunya melalui transfer atom hidrogen (HAT). Reaksi ini terjadi karena pemutusan X-H secara homolitik yang dipengaruhi oleh *bond dissociation energi* (BDE). Semakin rendah nilai BDE menunjukkan semakin berperan X-H dalam aktivitas antioksidan. Adapun persamaan reaksi dari transfer atom hidrogen ditunjukkan pada Persamaan reaksi 2 (Anouar *et al.*, 2013).



Berbagai metode untuk pengujian aktivitas antioksidan telah digunakan untuk mengetahui maupun membandingkan aktivitas antioksidan dari suatu senyawa. Diantaranya adalah metode radikal DPPH, radikal anion superoksida ($O_2\bullet$), radikal hidroksil ($OH\bullet$), atau radikal peroksil ($ROO\bullet$). Metode yang sering digunakan dalam uji aktivitas antioksidan suatu senyawa adalah radikal bebas, 2,2-difenil-1-pikrilhidrazil (DPPH). Hal ini dikarenakan metodenya yang cepat, sederhana, dan murah. Selain itu, metode DPPH dapat digunakan untuk sampel padat atau cair dan tidak spesifik untuk komponen antioksidan tertentu (Aburas, 2014).

Metode uji DPPH didasarkan pada pengurangan konsentrasi DPPH. Radikal bebas DPPH memiliki serapan maksimum pada panjang gelombang 517 nm (warna ungu). Larutan DPPH yang dicampurkan dengan larutan yang dapat mendonorkan radikal hidrogen akan menimbulkan warna kuning, hal ini dikarenakan radikal DPPH ternetralkan oleh senyawa pendonor radikal H (Shekhar and Anju, 2014). Berkurangnya kadar radikal bebas DPPH ditandai dengan berubahnya warna larutan dari ungu menjadi kuning, struktur DPPH ditunjukkan pada Gambar 2.9.



Gambar 2.9 Struktur DPPH (a) Radikal Bebas (1,1-difenil-2-pikrilhidrazil), (b) Non Radikal (1,1-difenil-2-pikrilhidrazin) (Molyneux, 2003)

Aktivitas antioksidan pada senyawa basa Schiff dapat diuji menggunakan metode DPPH. Aktivitas antioksidan ditentukan berdasarkan nilai EC_{50} yang dihitung berdasarkan persen (%) aktivitas antioksidan. Semakin kecil nilai EC_{50} menunjukkan semakin tinggi aktivitas antioksidan suatu senyawa, tingkat kekuatan antioksidan ditunjukkan dalam Tabel 2 (Putri, 2015).

Beberapa peneliti telah melakukan uji aktivitas antioksidan dari senyawa basa Schiff. Diantaranya yang telah dilakukan oleh Jasmarullah (2018) dalam meneliti aktivitas antioksidan senyawa basa Schiff dari vanilin dan anilina dengan menggunakan DPPH. Penentuan kadar DPPH menggunakan spektrofotometer UV-Vis pada panjang gelombang 515 nm. Hasil penelitian menunjukkan nilai $EC_{50} = 281$ ppm, berdasarkan nilai tersebut menunjukkan bahwa senyawa basa Schiff dari vanilin dan anilin kurang berpotensi sebagai antioksidan. Penelitian aktivitas antioksidan senyawa basa Schiff juga dilakukan oleh Pratiwi dan Cahyana (2015), dengan menggunakan spektrofotometer UV-Vis pada panjang gelombang 515 nm. Berdasarkan hasil analisa diperoleh nilai IC_{50} ($\mu\text{g/mL}$) dari produk A dan B secara berturut 69,10 dan 22,53. Senyawa basa Schiff produk B memiliki aktivitas antioksidan yang lebih tinggi dari produk A.

Tabel 2. Tingkat Kekuatan Antioksidan dengan Metode DPPH

Intensitas Antioksidan	Nilai IC_{50} (ppm)
Sangat kuat	< 50
Kuat	50-100
Sedang	100-250
lemah	250-500

2.8 Uji Toksisitas basa Schiff menggunakan BSLT

Brine shrimp lethality test (BSLT) merupakan tahap awal penentuan sitotoksisitas suatu senyawa. Sitotoksisitas merupakan kemampuan dari suatu

senyawa yang dapat menyebabkan kerusakan sel atau kematian sel. Sitotoksitas merupakan istilah yang sering digunakan untuk menggambarkan obat kemoterapi untuk membunuh sel kanker (Eldridge, 2019). Hewan uji yang digunakan dalam uji toksisitas adalah larva udang laut (*Artemia salina*) yang ditunjukkan pada Gambar 2.10. Adapun klasifikasi dari larva udang *Artemia salina* sebagai berikut ini (Mudjiman, 1985):

Kerajaan : Animalia
 Divisi : Arthropoda
 Sub divisi : Crustacea
 Kelas : Branchiopoda
 Bangsa : Anostrca
 Suku : Artemiidae
 Marga : Artemia L.
 Jenis : Artemia salina Leach



Gambar 2.10 Larva Udang *Artemia salina* Leach

Artemia merupakan organisme yang sering digunakan untuk pengujian toksisitas. Hal ini dikarenakan memiliki prosedur skrining yang cepat, murah, dan mudah (Muhammad *et al.*, 2019). Nilai toksisitas dari hasil uji ditunjukkan oleh nilai LC_{50} (*Lethal Concentration 50*). Nilai LC_{50} dianalisis berdasarkan persen (%) kematian yang diperoleh dari perhitungan jumlah larva yang hidup dan mati. Perhitungan persen (%) kematian diperoleh dengan membagi antara jumlah larva yang mati dengan jumlah larva udang yang digunakan. Perolehan nilai LC_{50} berdasarkan rumus $y = a + bx$, dengan Y adalah banyaknya 50% larva udang yang mati. Sedangkan untuk nilai a dan b diperoleh dari *regresi linear* sesuai data dari konsentrasi yang digunakan. Nilai x merupakan konsentrasi suatu senyawa yang

menyebabkan kematian 50% larva udang (Bragulni *et al.*, 2018; Lisdawati *et al.*, 2006).

$$\% \text{ kematian} = \frac{(\text{Total larva udang} - \text{larva udang hidup})}{\text{Total larva udang}} \times 100$$

Beberapa penelitian terdahulu telah melakukan uji toksisitas senyawa basa Schiff hasil sintesis. Hasil uji yang dilakukan oleh Sam *et al.* (2012) menunjukkan nilai toksisitas LC_{50} sebesar 138,03 ppm. Penelitian lain juga dilakukan oleh Pratiwi dan Cahyana (2015), hasil uji (nilai toksisitas LC_{50}) pada produk A dan B secara berturut-turut sebesar 389,25 $\mu\text{g/mL}$ dan 23,73 $\mu\text{g/mL}$. Jasmarullah (2018) juga telah melakukan uji toksisitas senyawa basa Schiff dan diperoleh nilai toksisitas LC_{50} sebesar 13,88 ppm. Tingkat kekuatan toksisitas menggunakan metode BSLT ditunjukkan pada Tabel 3 (Meyer *et al.*, 1982).

Tabel 3. Tingkat kekuatan toksisitas

Intensitas Toksisitas	LC_{50} (ppm)
Sangat Toksik	<30
Toksik	30-1000
Tidak Toksik	>1000

BAB III

METODOLOGI PENELITIAN

3.1 Waktu dan Tempat Penelitian

Penelitian ini dilakukan pada Bulan Februari dan Agustus 2020, di Laboratorium Kimia Organik Jurusan Kimia Fakultas Sains dan Teknologi Universitas Islam Negeri (UIN) Maulana Malik Ibrahim Malang. Karakterisasi KG-SM di Laboratorium Kimia Organik FMIPA Universitas Gadjah Mada Yogyakarta.

3.2 Alat dan Bahan

3.2.1 Alat

Alat yang digunakan dalam penelitian ini adalah mortar dan alu, pipet ukur, pipet tetes, pipet volume, bola hisap, gelas kimia, gelas arlogi, spatula, batang pengaduk, tabung reaksi, labu ukur, *mortar agate*, bejana penetas, gelas vial, aluminium foil, neraca analitik, desikator, *melting point apparatus* STUART tipe SMP11, botol semprot, termometer, bejana pengembang, pinset, oven, pipa kapiler, plat KLT GF₂₅₄, lampu neon 60 watt, aerator, spektrofotometer UV-Vis, mikropipet ukuran 1-200 μ L, KG-SM, dan spektrofotometer FTIR.

3.2.2 Bahan

Bahan-bahan yang digunakan dalam penelitian ini adalah senyawa anilina p.a. (Merck), *o*-Vanilin p.a. (Merck), metanol p.a., kloroform p.a., KBr, DPPH, akuades, NaOH 2 M, vitamin C, dimetil sulfoksida (DMSO), BHT, air laut, larutan ragi roti, telur udang *Artemia salina* Leach, dan etanol p.a.

3.3 Rancangan Penelitian

Senyawa basa Schiff disintesis menggunakan *o*-Vanilin dan anilina menggunakan metode penggerusan. Kemudian disimpan dalam desikator hingga mencapai berat konstan. Selanjutnya dihitung kadar randemen dan dikarakterisasi berdasarkan wujud, warna, titik leleh, dan reaksi kimia dengan larutan NaOH. Dilakukan monitoring senyawa produk menggunakan KLT dengan komposisi eluen klorofom:metanol (9:1). Dikarakterisasi lanjut menggunakan FTIR dan KG-SM.

Uji antioksidan senyawa basa Schiff menggunakan variasi konsentrasi 5, 10, 15, 20, 25, dan 30 ppm. Dipipet masing-masing 3 mL dalam tabung reaksi, kemudian ditambahkan DPPH 0,2 mM sebanyak 1 mL, dan diinkubasi. Diukur absorbansi DPPH dalam blanko dan sampel. Sebelum pengukuran absorbansi DPPH dilakukan pengukuran panjang gelombang maksimum DPPH. Kemudian dihitung % aktivitas antioksidan, dan diolah menggunakan *software* Graphpad Prism 8 untuk mendapatkan nilai EC₅₀.

Uji toksisitas senyawa basa Schiff terhadap larva udang dilakukan dengan variasi konsentrasi 10, 15, 20, 25, 30, dan 35 ppm. Dilakukan pengulangan sebanyak 5 kali. Penambahan DMSO, ragi, dan air laut dalam masing-masing vial. Pengamatan dilakukan setelah 24 jam. Dihitung larva udang yang mati dan ditentukan modus dan % mortalitasnya. Data yang diperoleh diolah menggunakan *software* MINITAB 16 dengan taraf kepercayaan 95% untuk mendapatkan nilai LC₅₀.

3.4 Tahapan Penelitian

1. Sintesis basa Schiff dari anilina dan *o*-Vanilin
2. Monitoring basa Schiff menggunakan KLT
3. Uji titik leleh basa Schiff
4. Uji sifat kimia basa Schiff dengan larutan NaOH
5. Karakterisasi basa Schiff menggunakan spektrofotometer FTIR
6. Karakterisasi basa Schiff menggunakan spektrometer KG-SM
7. Uji antioksidan basa Schiff dengan metode DPPH
8. Uji toksisitas basa Schiff dengan metode BSLT
9. Analisa data

3.5 Cara Kerja

3.5.1 Sintesis Basa Schiff dari *o*-Vanilin dan anilina (1:1) (Adawiyah, 2017)

o-Vanilin sebanyak 7,5 mmol (1,1526 gram) dan 7,5 mmol anilina (0,7020 gram) digerus selama 20 menit dengan mortar dan alu pada suhu ruang. Produk yang terbentuk disimpan dalam desikator hingga mencapai berat yang konstan.

3.5.2 Monitoring Basa Schiff dengan KLT (Adawiyah, 2017; Hakimi, 2016)

Senyawa basa Schiff hasil sintesis ditimbang (\pm 50 mg) kemudian dilarutkan hingga larut sempurna dengan 0,1-0,5 mL kloroform. Larutan basa Schiff ditotolkan (10 penotolan) pada plat KLT silika GF₂₅₄ dengan ukuran 5 × 10 cm yang telah diaktivasi dalam oven selama 30 menit pada suhu 100 °C. Perlakuan yang sama juga diberikan pada senyawa standar *o*-Vanilin dan anilina, kedua reaktan ini digunakan sebagai senyawa pembanding. Penotolan masing-masing senyawa diberi jarak 1 cm antar senyawa. Selanjutnya plat berisi totalan

dielusi menggunakan eluen dengan komposisi kloroform : metanol (9:1) yang telah dijenuhkan di dalam bejana pengembang. Plat diangkat ketika eluen telah mendekati garis batas, selanjutnya dikeringkan. Plat dianalisa menggunakan spektrofotometer UV dengan panjang gelombang 254 nm. Hasil penyinaran UV memunculkan noda-noda yang kemudian ditandai. Nilai retensi (R_f) ditentukan dan hasilnya dianalisa untuk mengetahui terbentuknya senyawa basa Schiff berdasarkan perbedaan nilai R_f ketiga noda tersebut.

3.5.3 Uji Titik Leleh Basa Schiff

Senyawa basa Schiff dan kedua reaktan ditentukan titik leleh sebagai pengamatan sifat fisik senyawa. Beberapa senyawa basa Schiff dimasukkan dalam pipa kapiler, kemudian diuji menggunakan *melting point apparatus* (MPA). Penentuan titik leleh menggunakan sistem *range* yaitu temperatur awal sampel melebur hingga temperatur sampel melebur semua. Hal ini diulangi sebanyak tiga kali pada masing-masing senyawa.

3.5.4 Uji Sifat Kimia Basa Schiff dengan Larutan NaOH

Senyawa basa Schiff sebanyak 0,003 gram dilarutkan dalam 2 tabung reaksi yang masing-masing berisi 5 mL akuades dan Larutan NaOH 2 M. Perlakuan yang sama untuk senyawa *o*-Vanilin sebagai pembanding kelarutan dalam akuades dan larutan NaOH 2 M.

3.5.5 Karakterisasi Basa Schiff Menggunakan Spektrofotometer FTIR

Identifikasi gugus-gugus fungsi dari senyawa basa Schiff menggunakan spektrofotometer FTIR VARIAN tipe FT 1000. Bilangan gelombang yang digunakan untuk analisa pada rentang $4000-400\text{ cm}^{-1}$. Senyawa basa Schiff dan KBr (2%:98%) digerus dalam mortar agate hingga homogen. Selanjutnya

dibentuk pelet, kemudian dimasukkan dalam *cell holder* pada instrumen FTIR, dan dianalisa.

3.5.6 Karakterisasi Basa Schiff Menggunakan KG-SM

Sebanyak 1 μL senyawa basa Schiff (30.000 ppm) dalam pelarut klorofom diinjeksi dalam KG-SM QP2010S SHIMADZU menggunakan *syring*, Kondisi operasional yang digunakan sebagai berikut :

Jenis kolom	: Rtx 5	Aliran total	: 28,0 mL/min
Panjang kolom	: 30 meter	Aliran kolom	: 0,50 mL/min
Gas pembawa	: Helium	Kecepatan linier	: 25,9 cm/sec
Pengionan	: EI 70 Ev	Aliran pembersihan	: 3,0 mL/min
Temp. Oven	: 70 °C	Temp. Sumber Ion	: 250 °C
Temp. Injektor	: 300 °C	Temp. Antarmuka	: 305 °C
Tekanan	: 13,7 kPa	Start m/z & End m/z	: 28 & 600

3.5.7 Uji Antioksidan dengan Metode DPPH (Mighfar, 2017)

3.5.7.1 Penentuan Panjang Gelombang Maksimum

Penentuan panjang gelombang maksimum larutan DPPH dengan menggunakan spektrofotometer UV-Vis. Hal ini dilakukan dengan cara menambahkan 1 mL larutan DPPH 0,2 mM ke dalam tabung reaksi berisi 3 mL etanol, kemudian dihomogenkan. Hasil penentuan λ_{maks} dicatat dan digunakan sebagai λ_{maks} dalam analisa uji antioksidan selanjutnya.

3.5.7.2 Pengukuran Aktivitas Antioksidan Senyawa Basa Schiff

Pengukuran absorbansi kontrol dilakukan dengan menambahkan 1 mL larutan DPPH 0,2 mM ke dalam tabung reaksi yang berisi 3 mL etanol. Kemudian mulut tabung ditutup dan diinkubasi selama 30 menit dalam ruangan gelap. Absorbansi larutan diukur menggunakan spektrofotometer UV-Vis pada panjang gelombang maksimum dari tahap sebelumnya.

Uji aktivitas antioksidan senyawa basa Schiff menggunakan variasi konsentrasi 5, 10, 15, 20, 25, dan 30 ppm. Masing-masing larutan dipipet sebanyak 3 mL dalam tabung reaksi ulir, selanjutnya ditambahkan 1 mL larutan DPPH 0,2 mM. Mulut tabung ditutup dan diinkubasi pada suhu 37°C selama 30 menit. Kemudian absorbansi masing-masing larutan diukur dengan spektrofotometer UV-Vis pada panjang gelombang maksimum dari tahap sebelumnya. Nilai persen (%) aktivitas antioksidan dihitung berdasarkan data absorbansi dari masing-masing konsentrasi dengan persamaan 3.1.

$$Q = \frac{A_o - A_c}{A_o} \times 100\% \dots\dots\dots(3.1)$$

Dimana Q adalah persen aktivitas antioksidan, A_o adalah absorbansi larutan kontrol, dan A_c adalah absorbansi larutan DPPH yang mengandung senyawa basa Schiff setelah inkubasi 30 menit. Aktivitas antioksidan senyawa pembanding yaitu vitamin C, *o*-Vanilin, dan BHT (butilhidroksitoluena) ditentukan secara bergantian dengan perlakuan seperti sebelumnya. Nilai EC₅₀ dapat ditentukan berdasarkan nilai % aktivitas antioksidan dari masing-masing senyawa.

3.5.8 Uji Toksisitas Basa Schiff

3.5.8.1 Penetasan Larva Udang *Artemia salina* Leach (Rampe and Tombuku, 2015)

Dua koma lima mili gram telur udang *Artemia salina* Leach ditetaskan dalam 250 ml air laut, diberi lampu neon dan diberi oksigen menggunakan aerator. Sekitar ± 48 jam telur akan menetas dan bergerak ke daerah terang. Larva yang digunakan untuk media uji toksisitas adalah larva sehat yang bersifat fototropik.

3.5.8.2 Uji Toksisitas Senyawa Basa Schiff (Jasmarullah, 2018)

Pembuatan larutan kontrol, dibuat dengan cara memasukkan sebanyak 100 μL etanol dalam gelas vial, kemudian diuapkan. Setelah etanol menguap ditambahkan satu tetes larutan ragi roti, dan ditambahkan air laut hingga volume menjadi 10 mL. Setelah media tumbuh siap, larva udang *Artemia salina* Leach sebanyak 10 ekor dimasukkan dalam media tersebut.

Pembuatan larutan stok senyawa basa Schiff 500 ppm, dibuat dengan melarutkan 5 mg senyawa basa Schiff dengan etanol dalam labu ukur 10 mL, kemudian ditanda bataskan. Dibuat variasi konsentrasi 10, 15, 20, 25, 30, dan 35 ppm dari larutan stok, dengan cara dipipet sebanyak 200, 300, 400, 500, 600, dan 700 μL dalam masing-masing gelas vial dan diuapkan pelarutnya. Setelah semua pelarut menguap, ditambahkan sebanyak 2 mL air laut ke dalam masing-masing gelas vial dan dihomogenkan. Dilakukan penambahan dimetil sulfoksida (DMSO) sebanyak 100 μL . Kemudian diteteskan satu tetes larutan ragi roti dan air laut hingga volumenya 10 mL. Selanjutnya larva udang *Artemia salina* Leach sebanyak 10 ekor dimasukkan dalam masing-masing gelas vial.

Pengamatan dilakukan setelah 24 jam dari perlakuan, dengan menghitung jumlah larva udang yang mati. Persen (%) kematian dihitung menggunakan persamaan 3.2. Nilai LC_{50} diperoleh berdasarkan regresi linear dari hasil persentase mortalitas (y) dan konsentrasi (x) dengan taraf kepercayaan $r = 95\%$.

$$\% \text{ Mortalitas} = \frac{\text{Jumlah larva udang yang mati}}{\text{Jumlah larva udang yang diuji}} \times 100\% \dots \dots \dots (3.2)$$

3.5.9 Analisis Data

Data yang diperoleh meliputi randemen dan karakterisasi senyawa basa Schiff hasil pengamatan berdasarkan wujud, warna, titik leleh, dan kelarutan dalam akuades serta larutan NaOH 2 M. Data dari hasil monitoring menggunakan KLT berupa nilai Rf. Dikarakterisasi lanjut menggunakan FTIR dan KG-SM, diperoleh data secara berturut-turut adalah spektra IR, kromatogram, dan spektra massa. Spektra IR diinterpretasikan dalam bentuk tabel, dan spektra massa diinterpretasikan dalam bentuk pola fragmentasi. Uji antioksidan diperoleh data berupa absorbansi DPPH dalam blanko dan sampel uji. Dihitung % aktivitas antioksidan, dan diperoleh nilai EC_{50} . Data yang diperoleh dari hasil uji toksisitas adalah nilai mortalitas yang kemudian diolah hingga didapatkan kurva analisis probit senyawa basa Schiff dengan nilai LC_{50} .

Hasil analisis penelitian yang didapatkan kemudian diintegrasikan dengan mengkaji beberapa firman Allah dan hadist yang bersesuaian. Sebagai manusia yang merupakan makhluk ciptaan Allah yang diberikan kelebihan berupa pikiran dan akal. Sehingga manusia ditakdirkan sebagai Khalifah Allah atau pemimpin di bumi ini, yang diperintah oleh Allah untuk memakmurkan, serta memanfaatkan dengan sebaik-baiknya alam semesta ini. Dalam hal ini, manusia harus senantiasa menjaga keseimbangan lingkungan (alam) dan jangan sampai merusak.

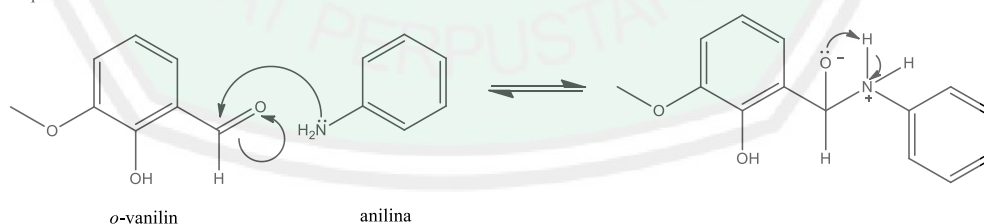
BAB IV

HASIL DAN PEMBAHASAN

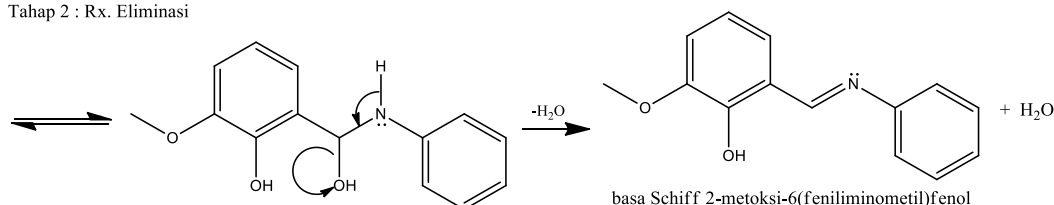
4.1 Sintesis Senyawa Basa Schiff dari *o*-Vanilin dan Anilina

Sintesis senyawa basa Schiff dari reaktan *o*-Vanilin dan anilina dilakukan dengan metode penggerusan. Selama proses penggerusan menggunakan mortar dan alu terjadi gesekan diantara keduanya, sehingga mengakibatkan adanya transfer energi dalam jumlah yang kecil. Dengan demikian, reaksi pembentukan senyawa basa Schiff akan berlangsung dengan sendirinya (Bose, *et al.*, 2004). Reaksi ini termasuk dalam reaksi adisi-eliminasi, dengan senyawa anilina yang bersifat nukleofil sedangkan gugus aldehida pada senyawa ortho vanilin berperan sebagai elektrofil. Pada Tahap adisi terjadi penyerangan gugus aldehida oleh pasangan elektron bebas (PEB) dari amina primer. Dilanjutkan dengan eliminasi, dimana mulai terbentuknya gugus imina yang disertai dengan pelepasan molekul air. Adapun dugaan mekanisme pembentukan senyawa basa Schiff dari *o*-Vanilin dan anilina disajikan pada Gambar 4.1.

Tahap 1 : Rx. Adisi



Tahap 2 : Rx. Eliminasi



Gambar 4.1 Dugaan mekanisme pembentukan senyawa basa Schiff dari *o*-Vanilin dan anilina

Tabel 4.1 Hasil Pengamatan Fisik Senyawa *o*-Vanilin, Anilina, dan Basa Schiff

Pengamatan	<i>o</i> -Vanilin	Anilina	Basa Schiff
Wujud	Padatan	Cairan	Padatan
Warna	Kuning pudar	Coklat	Jingga
Titik Leleh (°C)	40-42 ^a	-6 ^b	75-78
Massa (gram)	1,1526	0,7020	1,6140
Rendemen (%)	-	-	94,80

Sumber: ^a(Kolb, 2017), ^b(Bolt, *et.al.*, 2016)

Gambar 4.2 Gambar Senyawa (a) *o*-Vanilin (b) Anilina (c) Basa Schiff

Hasil pengamatan fisik yang meliputi wujud, warna, massa dari senyawa *o*-Vanilin, anilina, dan basa Schiff disajikan pada Tabel 4.1. Berdasarkan Tabel tersebut menunjukkan bahwa sintesis senyawa basa Schiff dengan penggerusan selama 20 menit, diperoleh padatan berwarna jingga dengan rendemen sebesar 94,80%. Sedangkan kedua reaktan pembentuknya memiliki karakteristik yang berbeda dengan basa Schiff, yaitu *o*-Vanilin dengan wujud padatan kuning pudar, dan anilina dengan wujud cair coklat. Berdasarkan karakteristik wujudnya, senyawa basa Schiff memiliki perbedaan dengan kedua reaktan, hal ini dapat dijadikan indikator terbentuknya senyawa basa Schiff.




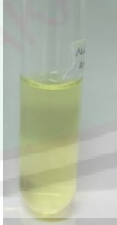
Selain itu, senyawa basa Schiff juga memiliki titik leleh yang berbeda dari kedua reaktannya. Senyawa basa Schiff memiliki titik leleh pada suhu 75-78 °C. Hal ini berbeda dengan titik leleh kedua reaktan yaitu *o*-Vanilin pada suhu 40-42 °C dan anilina -6 °C. Perbedaan titik leleh ini dapat dijadikan indikator terbentuknya senyawa basa Schiff. Menurut Young (2013), uji titik leleh dapat

digunakan untuk mengidentifikasi dan menentukan kemurnian suatu senyawa kristal. Berdasarkan wujud, warna, dan titik leleh, hasil penelitian ini sesuai dengan penelitian sebelumnya. Dalam penelitian Hanapi dan Ningsih (2019), diperoleh padatan jingga dengan rendemen sebesar 90,93% dan titik leleh pada suhu 75-77°C.

4.2 Uji Sifat Kimia

Senyawa basa Schiff memiliki gugus fenolik, adanya gugus fenolik berasal dari *o*-Vanilin. Kedua senyawa tersebut memiliki gugus fenolik, hasil penelitian menunjukkan adanya perbedaan diantara keduanya.

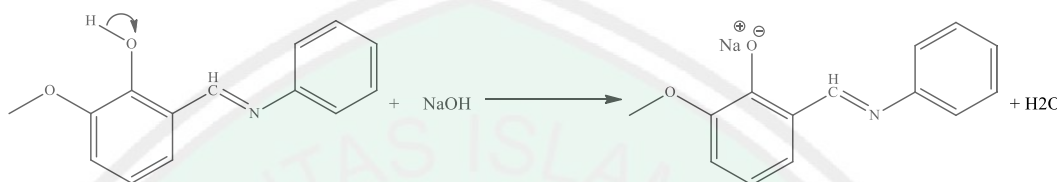
Tabel 4.2 Kelarutan senyawa *o*-Vanilin dan basa Schiff dalam Aquades dan Larutan NaOH 2 M

Zt*	Zp**	Aquades	NaOH 2 M
<i>o</i> -Vanilin			
Basa Schiff			

*Zat terlarut, **Zat pelarut

o-Vanilin memiliki kelarutan yang rendah dalam aquades, hal ini ditunjukkan dari masih adanya padatan *o*-Vanilin didasar tabung reaksi, dan larutan sedikit menguning. Sedangkan senyawa basa Schiff tidak larut sama sekali dalam

aquades, padatan tersebut mengambang dipermukaan aquades. Dalam larutan NaOH 2 M kedua senyawa ini larut sempurna. Gugus fenolat pada senyawaan tersebut membentuk natrium fenolat. Sehingga garam tersebut dapat terionisasi dan mudah larut dalam akuades (Safari *et.al.*, 2013).



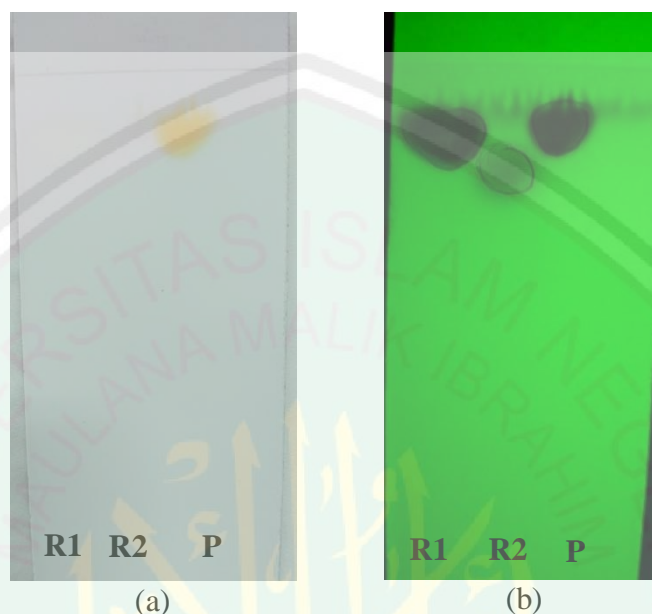
Gambar 4.3 Reaksi senyawa basa Schiff dengan NaOH

Berdasarkan reaksi antara basa Schiff dengan NaOH pada Gambar 4.3, terbentuknya garam fenolat terjadi karena adanya transfer proton dari senyawa yang bertindak sebagai asam ke senyawa yang bertindak sebagai basa. Berdasarkan teori asam-basa Bronsted-lowry, senyawa basa Schiff bertindak sebagai asam karena dapat mendonorkan proton (H⁺). Sedangkan NaOH bertindak sebagai basa karena menerima proton (H⁺) (Utomo, 2008). Dengan demikian uji ini disebut sebagai uji sifat kimia karena terjadi pembentukan senyawa baru berupa garam natrium fenolat. Parameter terbentuknya garam ditandai dengan larut sepenuhnya padatan (senyawa basa Schiff) dalam larutan NaOH.

4.3 Monitoring Basa Schiff Menggunakan KLT

Identifikasi terbentuknya senyawa basa Schiff sebagai produk, di monitoring menggunakan KLT. Adanya perbedaan nilai R_f antara senyawa produk dengan reaktan menunjukkan terbentuknya senyawa produk hasil sintesis.

Prinsip analisis ini berdasarkan pada distribusi senyawa dalam fasa gerak dan fasa diam. Fasa diam menggunakan plat KLT silika GF₂₅₄, sedangkan fasa gerak menggunakan campuran kloroform:metanol (9:1).



Gambar 4.4 Hasil monitoring menggunakan KLT, pola noda (a) sebelum penyinaran UV (b) penyinaran UV $\lambda=254$ nm

Hasil monitoring menggunakan KLT tersaji dalam Gambar 4.4. Berdasarkan gambar tersebut setiap totolan menghasilkan bercak tunggal setelah dielusi. Masing-masing bercak dari totolan menunjukkan adanya perbedaan warna bercak antara senyawa produk dengan reaktan. Hasil pengamatan dengan cahaya visual, bercak senyawa P berwarna jingga pucat, sedangkan bercak kedua reaktan (R1 dan R2) tidak tampak. Berdasarkan penelitian Taniguchi dan Lindsey (2018), senyawa anilina (R2) memiliki panjang gelombang maksimum pada $\lambda_{\text{maka}} = 287,5$ nm. Dalam *WebBook NIST (National Institute of Standards and Technology)* senyawa *o*-Vanilin (R1) memiliki serapan <350 nm, kedua senyawa memiliki panjang gelombang pada daerah ultraviolet. Sehingga tidak dapat diamati dengan

cahaya tampak. Senyawa basa Schiff (P) memiliki warna komplementer jingga, hal ini menunjukkan bahwa senyawa tersebut memiliki panjang gelombang pada daerah ultraviolet visible, didukung oleh adanya kromofor dengan sistem terkonjugasi yang panjang.

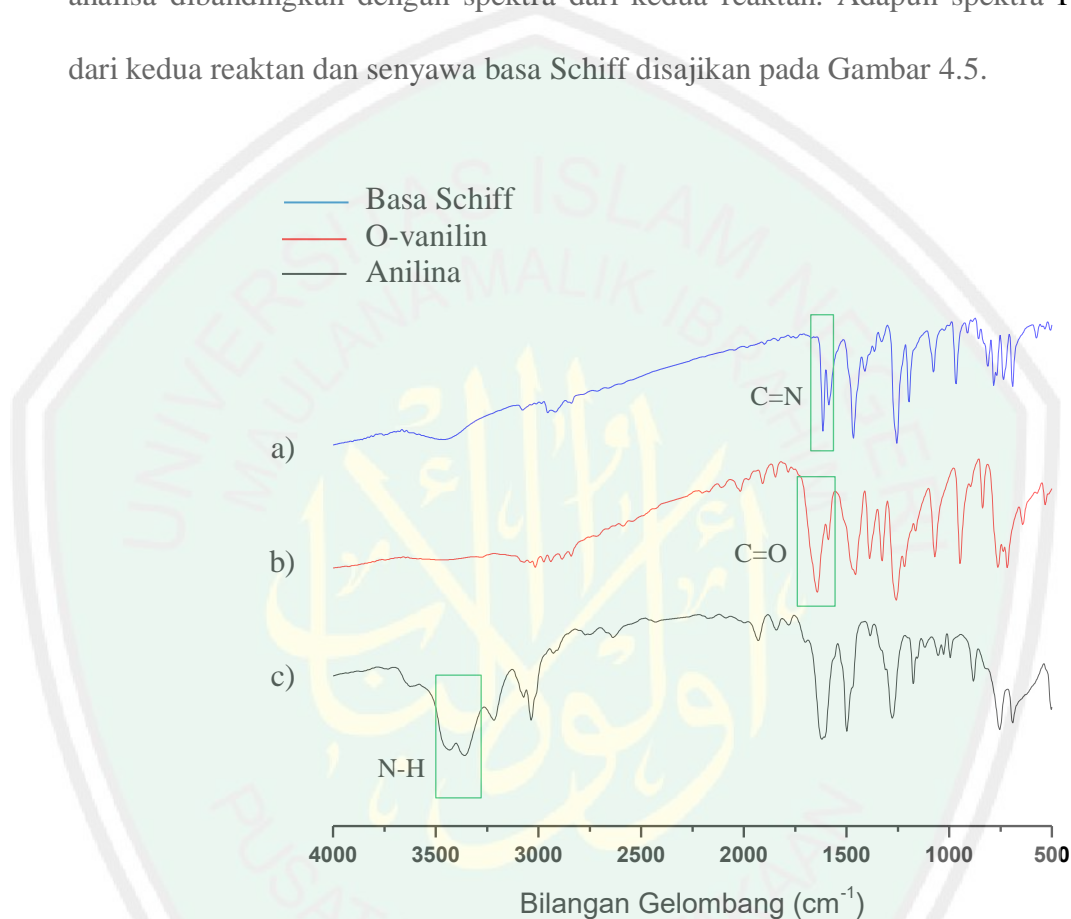
Tabel 4.3 Hasil pengamatan bercak dan nilai Rf hasil monitoring menggunakan KLT

Senyawa	Warna bercak		Nilai Rf
	Cahaya Tampak	UV λ 254	
<i>o</i> -Vanilin (R1)	Tidak muncul warna	Hitam	0,88
Anilina (R2)	Tidak muncul warna	Hitam pudar	0,82
Basa Schiff (P)	Jingga	Sangat Hitam	0,90

Pengamatan Plat dibawah sinar UV 254 nm bercak senyawa P, R1, dan R2 berwarna hitam dengan intensitas warna yang berbeda. Silika gel pada plat akan memendarkan cahaya hijau. Sedangkan sampel menyerap cahaya, sehingga menyebabkan bercak berwarna hitam, karena terhalangnya cahaya menuju silika gel (Hess, 2007). Data pengamatan warna bercak dan nilai Rf senyawa P, R1, dan R2 tersajikan dalam Tabel 4.3. Masing-masing totalan memiliki satu bercak. Senyawa P memiliki selisih nilai Rf dengan R1 dan R2 secara berturut-turut 0,02 dan 0,08. Berdasarkan nilai tersebut menunjukkan bahwa ada perbedaan nilai Rf antara senyawa P dengan kedua reaktannya (R1 dan R2). Dari monitoring menggunakan KLT dapat ditarik kesimpulan bahwa P merupakan senyawa yang berbeda dengan kedua reaktannya (R1 dan R2). Kesimpulan ini diperkuat dengan dilakukan analisis lanjut menggunakan instrumen FT-IR dan KG-SM.

4.4 Karakterisasi Basa Schiff Menggunakan Spektrofotometer FTIR

Analisis menggunakan spektrofotometer FTIR bertujuan untuk mengetahui gugus-gugus fungsi dari kedua reaktan (*o*-Vanilin dan anilina) dan senyawa basa Schiff. Spektra senyawa basa Schiff yang diperoleh dari hasil analisa dibandingkan dengan spektra dari kedua reaktan. Adapun spektra FTIR dari kedua reaktan dan senyawa basa Schiff disajikan pada Gambar 4.5.



Gambar 4.5 Spektra IR Senyawa (a) Basa Schiff (b) *o*-Vanilin (c) Anilina

Tabel 4.4 Perbandingan gugus fungsi senyawa *o*-Vanilin, anilina, dan basa Schiff

Gugus Fungsi	Bilangan Gelombang (cm ⁻¹)			
	Referensi	<i>o</i> -Vanilin	Anilina	Basa Schiff
N-H <i>stretch</i> (Amina Primer)	3550-3330 ^b	-	3432 & 3358	-
C=O <i>stretch</i>	1665-1625 ^b	1642	-	-
C-H aldehida	2900-2800 ^b	2884	-	-
-C=N-	1645-1605 ^b	-	-	1614
-OH <i>stretch</i>	3550-3200 ^a	3480	-	3464
C _{sp3} -H <i>stretch</i>	2975-2840 ^b	2939	-	2917

$C_{sp^3}\text{-H bend}$	1485-1400 ^b	1456	-	1466
$C_{sp^2}\text{-H stretch}$	3100-3000 ^a	3015	3035	3077
C-O Alkoksi	1275-1200 ^a	1258	-	1254
C=C aromatik	1600-1450 ^b	1588	1498	1586
<i>Overtoon</i> aromatik	2000-1600 ^b	1908-1680	1929-1781	1984-1660
Aromatik $C_{sp^2}\text{-H bend}$	900-700 ^b	762-717	754-690	782-691

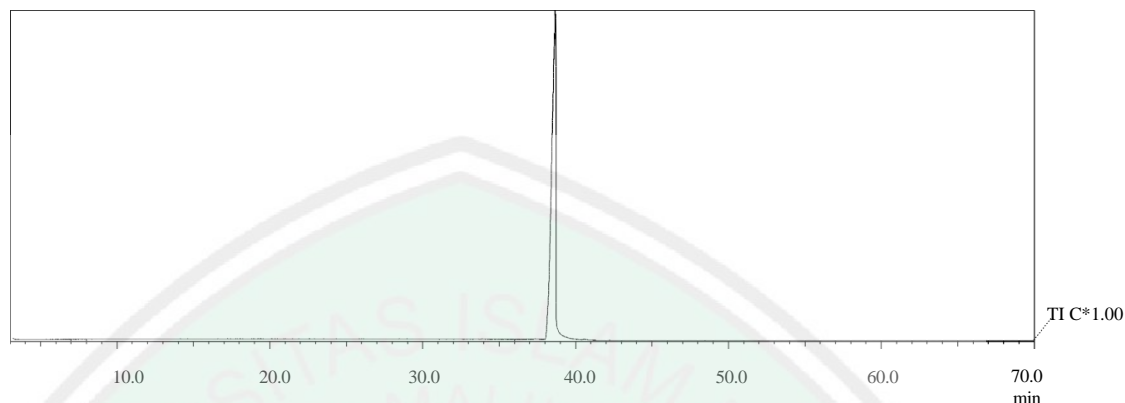
^aSilverstein, *et.al.*, 2005 ^bSocrates, *et.al.*, 1994

Berdasarkan Gambar 4.5 dan tabel 4.4 menunjukkan bahwa pada spektra senyawa *o*-Vanilin terdapat serapan gugus karbonil (C=O) dan C-H (Aldehida) pada bilangan gelombang 1645 cm^{-1} dan 2884 cm^{-1} . Pada spektra senyawa anilina terdapat serapan dari N-H amina primer pada bilangan gelombang 3432 & 3358 cm^{-1} . Sedangkan dalam spektra basa Schiff tidak terdapat serapan gugus karbonil dan amina primer. Terdapat serapan pada bilangan gelombang 1614 cm^{-1} dalam spektra senyawa basa Schiff. Serapan tersebut merupakan serapan khas dari senyawa ini yaitu gugus imina (C=N). Selain gugus imina, juga terdapat perbedaan vibrasi *out of plane* C-H aromatik senyawa basa Schiff dengan *o*-Vanilin dan anilina. Dalam senyawa basa Schiff terdapat dua cincin dengan masing-masing tersubstitusi mono dan tri. Sehingga, terdapat 4 serapan pada daerah vibrasi *out of plane* yang merupakan gabungan dari substitusi mono dan tri, dimana salah satu serapan saling tumpang tindih.

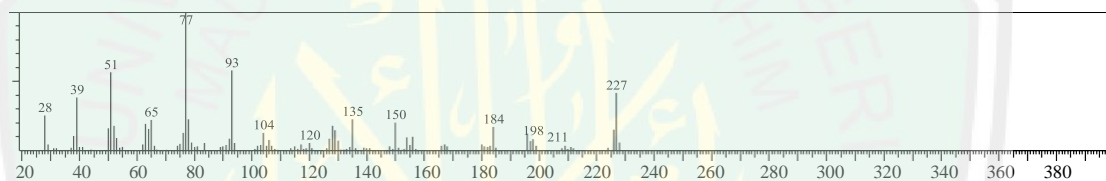
4.5 Karakterisasi Basa Schiff Menggunakan KG-SM

Karakterisasi basa Schiff menggunakan KG-SM bertujuan untuk mengetahui kemurnian senyawa berdasarkan puncak yang muncul pada kromatogram. Selain itu, juga untuk mengetahui berat molekul serta perkiraan struktur berdasarkan ion molekuler dan m/z fragmen pada spektra hasil analisis.

Kromatogram dan spektra hasil analisis senyawa basa Schiff tersaji pada Gambar 4.6 dan 4.7.

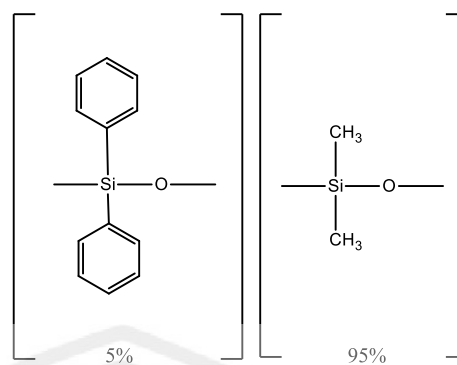


Gambar 4.6 Kromatogram hasil analisis senyawa basa Schiff



Gambar 4.7 Spektra hasil analisis senyawa basa Schiff

Berdasarkan kromatogram hasil analisis menunjukkan, terdapat satu puncak pada retensi waktu 38,67 menit. Salah satu yang mempengaruhi waktu retensi adalah adanya interaksi di dalam kolom. Interaksi yang terjadi antara senyawa basa Schiff dengan kolom adalah gaya london antara cincin difenil kolom dan cincin-cincin pada senyawa basa Schiff. Atom hidrogen pada gugus hidroksi senyawa basa Schiff dapat membentuk interaksi ikatan hidrogen intermolekular dengan PEB atom oksigen pada kolom. Hal ini berdasarkan pada struktur senyawa basa Schiff dan difenil dimetil silikon yang merupakan penyusun kolom Rtx 5. Adapun struktur dari difenil dimetil silikon tersaji pada Gambar 4.8.

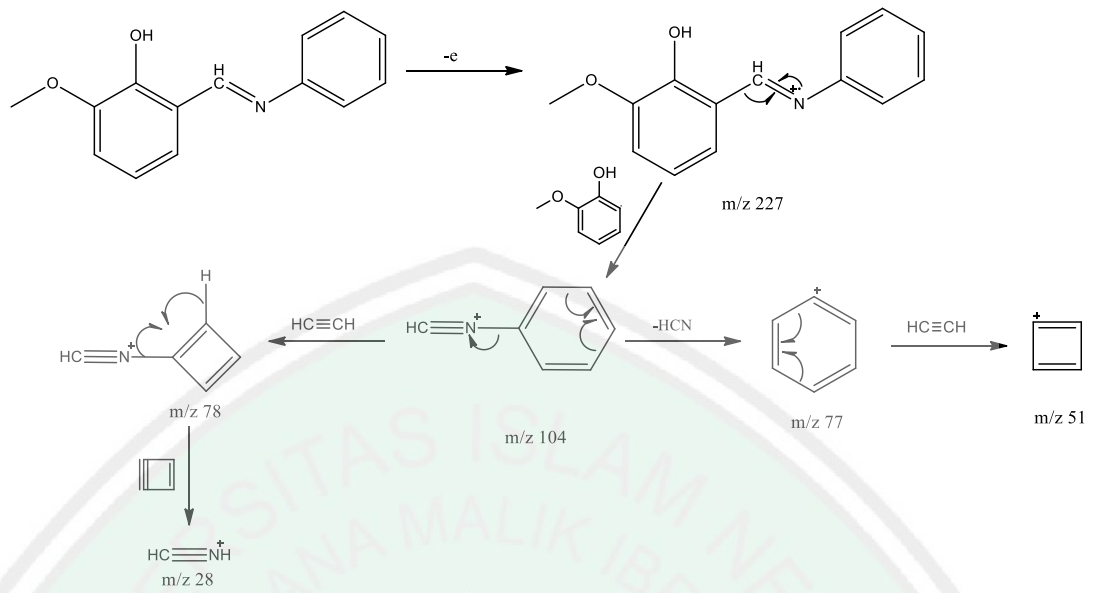


Gambar 4.8 Struktur Difenil dimetil silikon pada kolom Rtx 5

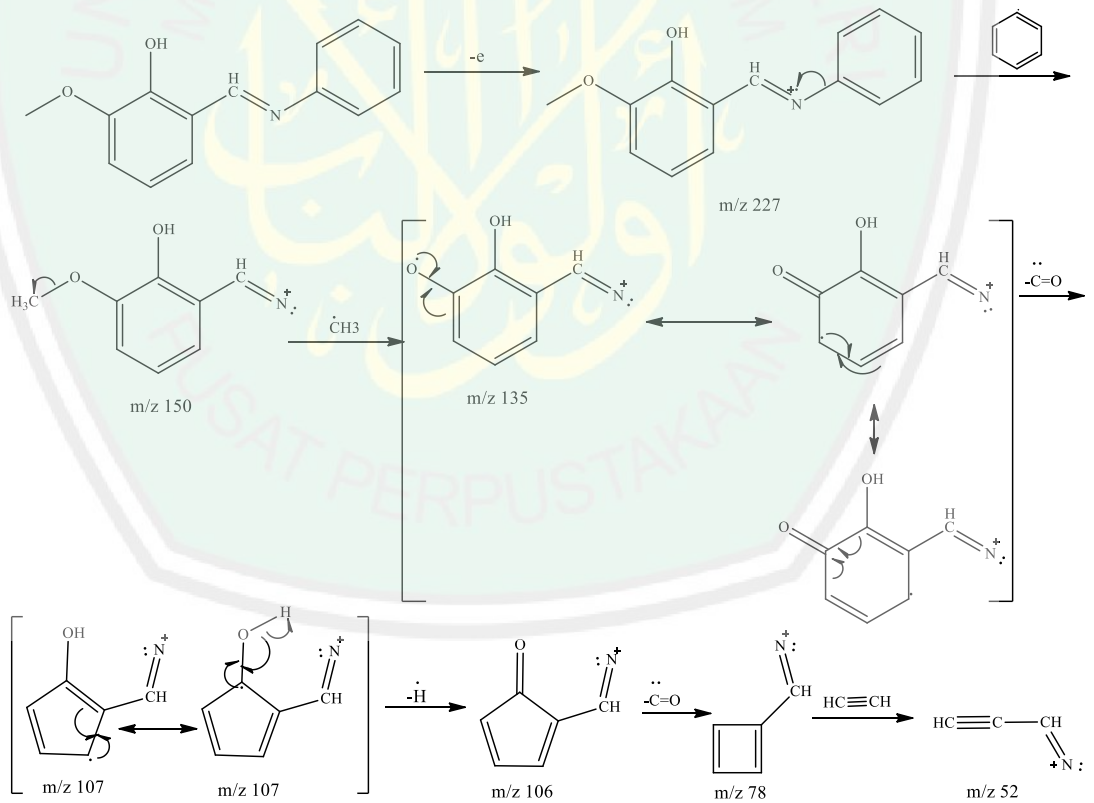
Pada spektra hasil analisis senyawa basa Schiff, puncak memiliki ion molekuler pada $m/z = 227$ yang nilainya sama dengan berat molekul dari senyawa basa Schiff hasil sintesis ini. Dalam spektra tersebut menunjukkan adanya *base peak* pada $m/z = 77$. Hal ini menunjukkan keberadaan fragment ($C_6H_5^+$) yang melimpah karena kestabilannya. Dalam penelitian Kumar *et.al* (2014) menunjukkan bahwa senyawa basa Schiff α -(1,3-dioxo-indian-2-yl)-benzyliede-aniline (IBA) memiliki base peak pada $m/z = 77$. Adapun kemiripan antara penelitian ini adalah penggunaan anilina sebagai amina primer dan analisis SM menggunakan energi ionisasi 70 eV, keduanya memiliki *base peak* pada $m/z = 77$. Berdasarkan penelitian Denizli, *et.al.* (2013) mengenai pengaruh substituen orto terhadap spektra massa senyawa basa Schiff, menunjukkan bahwa perbedaan sumber ionisasi yang digunakan tidak mempengaruhi nilai m/z suatu senyawa.

Adapun pola fragmentasi dari puncak tersebut ditunjukkan pada 4.9. Sehingga dari analisis menggunakan KG-SM dapat dipastikan bahwa puncak tersebut adalah puncak basa Schiff dengan % luas puncak 100%. Nilai tersebut menunjukkan kemurnian dari produk hasil sintesis, tidak ada reaktan sisa, ataupun produk samping.

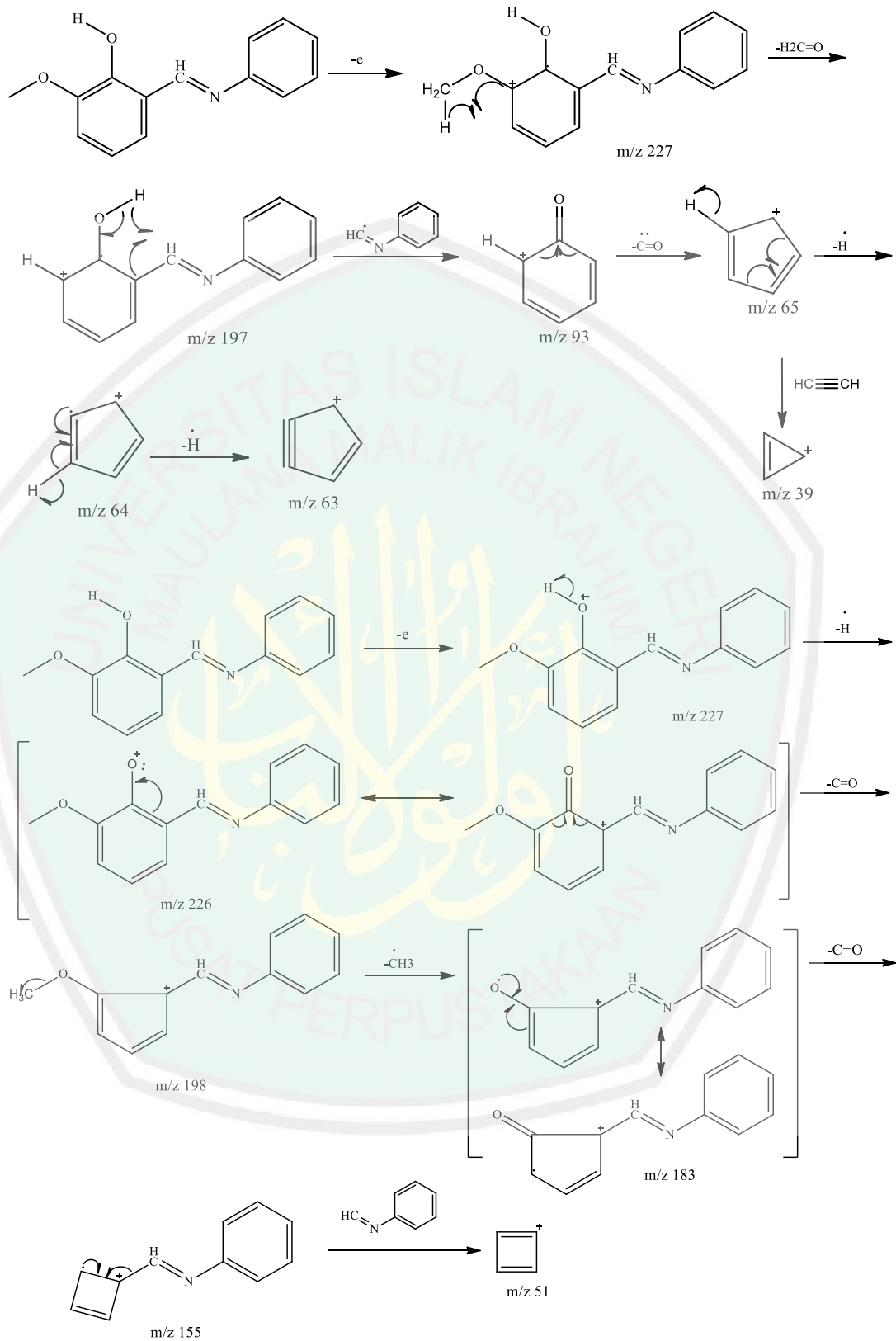
Pola fragmentasi:



Pola fragmentasi lain:



Pola fragmentasi lain:

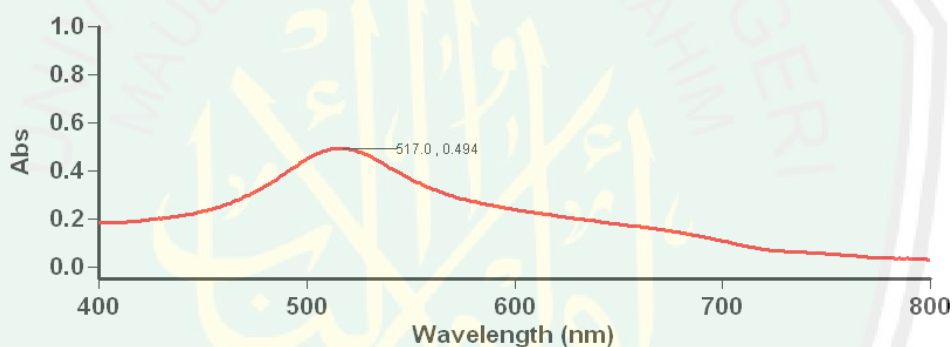


Gambar 4.9 pola fragmentasi senyawa basa Schiff

4.6 Uji Antioksidan Basa Schiff dengan Metode DPPH

4.6.1 Penentuan Panjang Gelombang DPPH

Panjang gelombang DPPH ditentukan berdasarkan serapan maksimum larutan DPPH pada spektrofotometer UV-Vis dengan panjang gelombang 400-800 nm. Hasil analisis menunjukkan bahwa DPPH memiliki serapan maksimum pada $\lambda_{maks} = 517,0$ nm. Berdasarkan penelitian Shekar dan Anju (2014) radikal DPPH memiliki serapan pada 517 nm, dengan warna komplementer ungu. Hasil ini digunakan untuk uji aktivitas antioksidan senyawa basa Schiff, *o*-Vanilin, vitamin C, dan BHT. Spektrum UV-Vis radikal DPPH tersaji dalam Gambar 4.10.



Gambar 4.10 Spektrum UV-Vis radikal DPPH

4.6.2 Pengukuran Aktivitas Antioksidan Senyawa Basa Schiff

Aktivitas antioksidan senyawa basa Schiff diuji menggunakan metode DPPH dengan $\lambda_{maks} = 517,0$ nm. DPPH berperan sebagai radikal bebas yang menerima radikal hidrogen dari senyawaan yang memiliki aktivitas antioksidan. Adanya aktivitas donor radikal hidrogen dari suatu senyawa yang memiliki potensi antioksidan ke radikal bebas DPPH, ditandai dengan menurunnya absorbansi DPPH hasil uji menggunakan spektrofotometer UV-Vis. Secara visual adanya aktivitas antioksidan dari suatu zat, dapat diidentifikasi berdasarkan

perubahan warna larutan dari ungu menjadi kuning. Larutan radikal DPPH (1,1-difenil-2-pikrilhidrazil) memiliki warna komplementer ungu, sedangkan larutan non radikal (DPPH-H) memiliki warna komplementer kuning (Bariyyah *et.al.*,2013).

Parameter yang digunakan untuk mengetahui adanya aktivitas antioksidan suatu sampel dengan uji DPPH adalah nilai EC_{50} dan persen aktivitas antioksidan. Nilai EC_{50} menunjukkan konsentrasi larutan uji yang dapat mereduksi radikal DPPH sebanyak 50%. Menurut Molyneux (2004), menyatakan bahwa salah satu parameter untuk interpretasi hasil uji aktivitas antioksidan menggunakan metode DPPH adalah “*efficient concenration*” atau nilai EC_{50} .

Uji aktivitas antioksidan pada sampel membutuhkan larutan kontrol sebagai bagian dalam penentuan persen aktivitas antioksidan. Absorbansi larutan kontrol hasil analisis menggunakan Spektrofotometer UV-Vis digunakan sebagai absorbansi larutan radikal DPPH sebelum penambahan sampel, dilambangkan dengan A_0 . Hal ini digunakan untuk mengetahui banyaknya radikal DPPH yang tereduksi menjadi DPPH-H oleh sampel. Sedangkan untuk absorbansi larutan DPPH dengan penambahan sampel dilambangkan dengan A_c . Hal ini didasarkan pada rumus penentuan persen aktivitas antioksidan. Uji aktivitas antioksidan senyawa basa Schiff menggunakan variasi konsentrasi 5, 10, 15, 20, 25, dan 30 ppm. Variasi ini juga digunakan untuk sampel *o*-Vanilin, BHT yang berperan sebagai pembanding. Sedangkan variasi konsentrasi vitamin C yang digunakan yaitu 1, 2, 3, 4, 5, dan 6 ppm. Semakin besar selisih antara absorbansi kontrol dengan absorbansi sampel menunjukkan semakin banyak radikal DPPH yang ternetralkan menjadi DPPH-H.

Tabel 4.5 Persen aktivitas antioksidan senyawa basa Schiff dan pembanding

Sampel	% Aktivitas Antioksidan					
	5 ppm	10 ppm	15 ppm	20 ppm	25 ppm	30 ppm
Senyawa basa Schiff	4,83	6,42	10,00	11,61	14,30	16,24
<i>o</i> -Vanilin	1,97	4,55	7,82	9,19	10,97	12,56
BHT	37,04	48,52	57,10	59,75	62,25	65,49

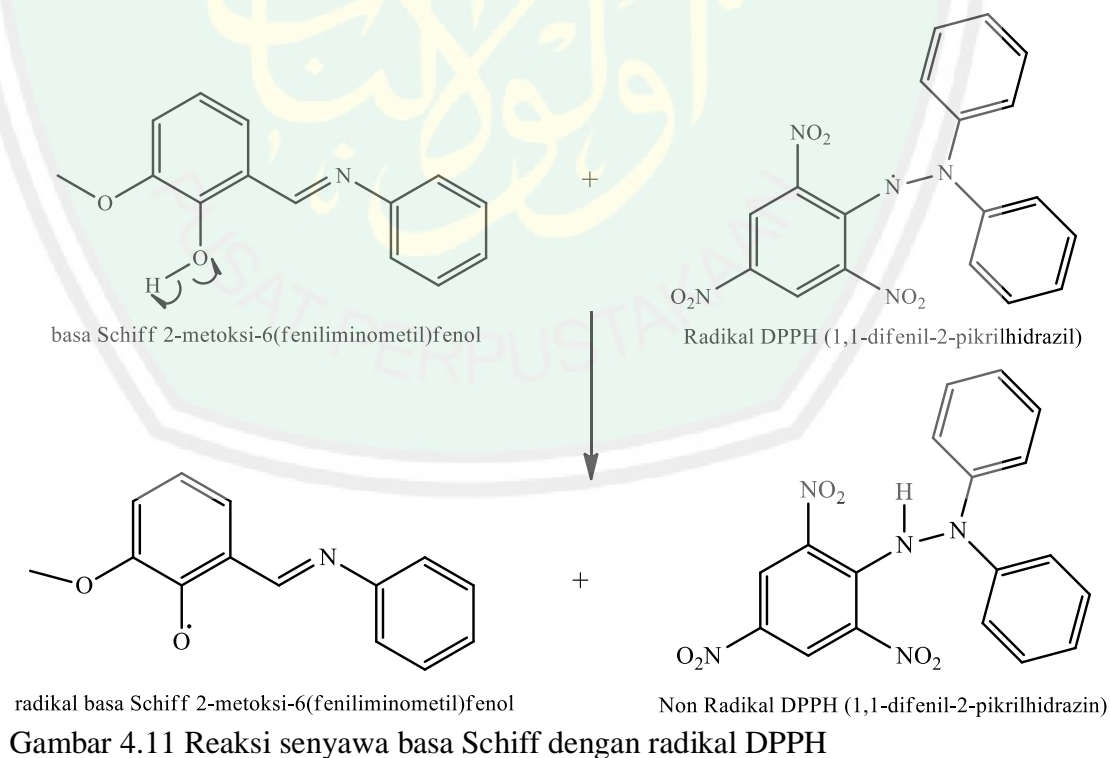
Hasil analisis aktivitas antioksidan tersaji dalam tabel 4.5. Berdasarkan tabel tersebut menunjukkan bahwa persen aktivitas antioksidan berbanding lurus dengan kenaikan konsentrasi sampel. Semakin tinggi konsentrasi sampel, nilai persen aktivitas antioksidan juga semakin meningkat. Variasi konsentrasi senyawa basa Schiff yang digunakan menghasilkan daya hambat terhadap radikal DPPH dalam rentang 4,83-16,24%. Untuk senyawa *o*-Vanilin dengan variasi konsentrasi yang serupa, menghasilkan daya hambat terhadap radikal DPPH dalam rentang 1,97-12,56%. Sedangkan untuk BHT memiliki daya hambat berkisar antara 37,04-65,49%. Persen aktivitas antioksidan yang diperoleh digunakan untuk menentukan nilai EC₅₀. Nilai EC₅₀ diperoleh dari pengolahan data antara log konsentrasi dan % aktivitas antioksidan menggunakan regresi non linier (*Regression for analyzing doseresponse data*) software *GraphPad Prism 8*.

Tabel 4.6 Nilai EC₅₀ senyawa basa Schiff dan pembanding

Sampel	EC ₅₀ (ppm)
Senyawa basa Schiff	196,4
<i>o</i> -Vanilin	217,0
BHT	10,88
Vitamin C*	3,585

* variasi konsentrasi 1,2,3,4,5, dan 6 ppm

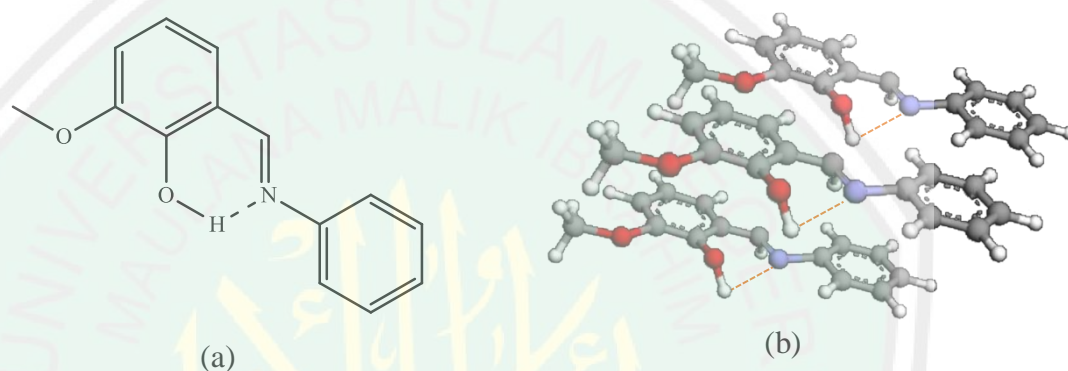
Tabel 4.6 menunjukkan nilai EC_{50} senyawa basa Schiff dengan pembandingnya berupa *o*-Vanilin, BHT, dan vitamin C. Berdasarkan hasil tersebut menunjukkan nilai EC_{50} hasil uji secara berturut-turut sebesar 196,4; 217,0; 10,88; dan 3,585 ppm. Vitamin C memiliki nilai EC_{50} paling rendah, hal ini menunjukkan kemampuan vitamin C dalam mereduksi radikal DPPH sangat kuat. Nilai EC_{50} BHT juga tergolong rendah yaitu 10,88 ppm. Sedangkan nilai EC_{50} untuk senyawa basa Schiff dan *o*-Vanilin terbilang cukup tinggi dengan EC_{50} sebesar 196,4 dan 217 ppm. Keduanya tergolong lebih lemah dalam mereduksi radikal DPPH, jika dibandingkan dengan vitamin C dan BHT. Namun tetap memiliki potensi sebagai antioksidan yang dapat meredam radikal DPPH, dibuktikan dengan persen aktivitas antioksidan yang semakin meningkat dengan meningkatnya konsentrasi.



Reaksi yang terjadi antara senyawa basa Schiff dengan larutan DPPH adalah reaksi reduksi dan oksidasi. Terjadi pemutusan dan pembentukan ikatan sigma secara homolitik. Terjadi pemutusan ikatan antara atom H dan O pada senyawa basa Schiff secara homolitik, sehingga radikal hidrogen membentuk ikatan baru dengan radikal hidrogen pada DPPH radikal. Senyawa DPPH menjadi DPPH-H, sedangkan senyawa basa Schiff menjadi senyawaan radikal yang terstabilkan oleh adanya resonansi panjang. Reaksi yang terjadi antara senyawa basa Schiff dengan radikal DPPH ditunjukkan pada Gambar 4.11. Radikal senyawa basa Schiff yang terbentuk membentuk senyawa radikal yang stabil.

Hasil analisis aktivitas antioksidan senyawa basa Schiff diperoleh nilai EC_{50} sebesar 196,4 ppm. Hal ini menunjukkan senyawa basa Schiff memiliki aktivitas antioksidan yang lebih tinggi dibandingkan R1 (*o*-Vanilin), namun lebih rendah dari senyawa BHT dan Vitamin C. Nilai EC_{50} senyawa basa Schiff menunjukkan bahwa senyawa ini tergolong dalam antioksidan dengan potensi yang lemah. Lemahnya potensi senyawa basa Schiff sebagai antioksidan dapat diduga karena adanya ikatan hidrogen intramolekuler dalam senyawa basa Schiff. Menurut Bel'kov, *et.al* (2007) dalam penelitiannya mengenai aktivitas antioksidan senyawa aminofenol, menyatakan bahwa terbentuknya ikatan hidrogen mempengaruhi jalannya reaksi radikal bebas. Sehingga terbentuknya ikatan hidrogen intramolekular yang kuat dapat menurunkan sifat antioksidan. Adanya ikatan tersebut pada senyawa basa Schiff dapat menyebabkan sulitnya senyawa basa Schiff dalam mendonorkan radikal H ke senyawa DPPH. Terbentuknya ikatan hidrogen intramolekular di dalam cincin yang beranggotakan enam atom pada senyawa bersifat stabil (Effendy, 2017).

Hasil visualisasi dua dimensi (2D) dan tiga dimensi (3D) senyawa basa Schiff dengan ikatan hidrogen intramolekular tersaji pada Gambar 4.12. Selain terbentuk ikatan hidrogen intramolekular dalam molekul basa Schiff, juga terdapat beberapa ikatan Van der Waals antar molekul basa Schiff. Visualisasi 3D menunjukkan bahwa ikatan yang terjadi antar molekul basa Schiff didominasi oleh gaya Van der Waals.



Gambar 4.12 (a) Struktur senyawa basa Schiff dengan dugaan ikatan hidrogen (b) Interaksi 3 molekul senyawa basa Schiff

4.7 Uji Toksisitas Basa Schiff dengan Metode BSLT

4.7.1 Penetasan Larva Udang *Artemia salina* Leach

Larva udang *Artemia salina* Leach berumur ± 48 jam, digunakan sebagai hewan uji dalam penentuan nilai toksisitas senyawa basa Schiff. Pemerolehannya dengan cara menetas telur larva dalam wadah berisi air laut sebagai media penetasan. Dilengkapi dengan aerator untuk memenuhi kebutuhan oksigen terlarut, dan lampu sebagai sumber cahaya (Purwantini, *et.al.*, 2002). Telur akan menetas menjadi larva setelah ± 48 jam dari awal penambahan telur dalam wadah. Larva udang yang menetas dipindahkan dalam gelas beker yang berisi air laut dengan cara dipipet.

4.7.2 Uji Toksisitas Senyawa Basa Schiff

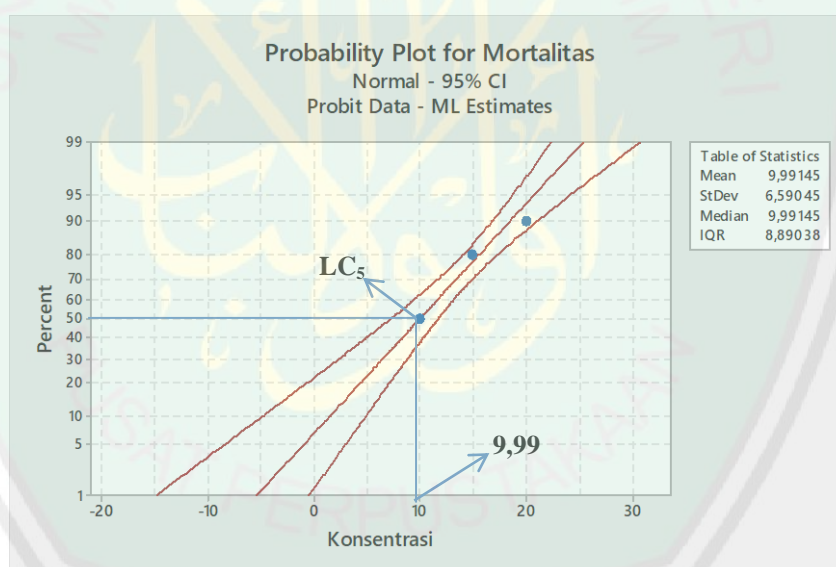
Uji toksisitas senyawa basa Schiff dilakukan dengan variasi konsentrasi 0, 10, 15, 20, 25, 30, dan 35 ppm. Pembuatan variasi konsentrasi ini bertujuan untuk mengetahui pada konsentrasi berapa larva udang mati sebanyak 50%. Konsentrasi 0 berperan sebagai kontrol, hal ini untuk mengetahui ada atau tidaknya pengaruh pelarut dan media terhadap kematian larva udang. Setiap konsentrasi dibuat 5 kali pengulangan untuk memperoleh modus larva yang mati. Penambahan DMSO disetiap vial uji bertujuan untuk melarutkan senyawa uji dalam air laut. DMSO tergolong sebagai surfaktan yang dapat melarutkan senyawa polar maupun non polar dalam pelarut yang memiliki kepolaran yang berbeda. Berdasarkan strukturnya, dua gugus alkil (-CH₃) bersifat non polar (hidrofobik) dapat berinteraksi dengan senyawa uji. Sedangkan gugus S=O bersifat polar (hidrofilik) dapat berinteraksi dengan air laut (Hertiani dan Pratiwi, 2002).

Tabel 4.7 Mortalitas larva udang *Artemia salina* Leach

Senyawa	Mortalitas					
	10 ppm	15 ppm	20 ppm	25 ppm	30 ppm	35 ppm
Blanko	0	0	0	0	0	0
Basa Schiff	25	40	45	50	50	50
<i>o</i> -Vanilin	0	0	0	0	0	0
Anilina	0	0	0	0	0	0

Hasil uji menggunakan larva udang *Artemia salina* Leach dinyatakan dalam persen mortalitas (Sirinthipaporn, *et.al.*, 2016). Tabel 4.7 menunjukkan mortalitas larva udang *Artemia salina* Leach meningkat dengan meningkatnya konsentrasi senyawa basa Schiff. Mortalitas untuk blanko memiliki nilai “NoI”, dengan demikian, blanko tidak mempengaruhi kematian larva udang. Uji toksisitas juga dilakukan pada senyawa *o*-Vanilin dan anilina, yang dalam hal ini

berperan sebagai reaktan senyawa basa Schiff. Pengujian terhadap kedua reaktan bertujuan untuk mengetahui ada/tidak adanya sifat ketoksikan dari senyawa reaktan yang berperan dalam ketoksikan senyawa produk. Berdasarkan hasil uji yang tersajikan pada tabel 4.7 menunjukkan bahwa kedua reaktan memiliki nilai mortalitas “No!”, dengan demikian tidak muncul nilai LC_{50} -24jam. Berdasarkan data tersebut menunjukkan bahwasanya senyawa basa Schiff memiliki sifat ketoksikan dari reaktan yang tidak memiliki sifat ketoksikan pada variasi konsentrasi yang digunakan. Senyawa basa Schiff memiliki sifat ketoksikan karena adanya perpanjangan sistem konjugasi, gugus imina, dan dua cincin aromatis yang saling bersinergis.



Gambar 4.13 Kurva analisis probit senyawa basa Schiff

Dalam kurva analisis probit hasil uji senyawa basa Schiff terdapat tiga garis : *lower line*, *percintile line*, dan *upper line*. *Lower line* merupakan batas bawah yang menunjukkan konsentrasi terendah pada setiap persen mortalitas. *Percentile line* merupakan garis normal yang menunjukkan ada tidaknya

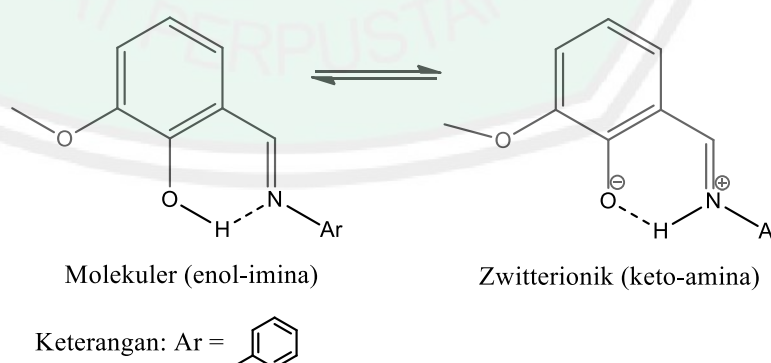
hubungan linier antara konsentrasi dengan persen mortalitas. *Upper line* merupakan batas atas konsentrasi pada setiap persen mortalitas (Pratiwi, 2019).

Nilai LC_{50} diperoleh dengan analisa data probit menggunakan *Software MINITAB 17 Probit Analysis*, dengan taraf kepercayaan 95%. Gambar 4.13 menunjukkan hasil probit nilai LC_{50} senyawa basa Schiff senilai 9,99 ppm. Hal ini berarti, konsentrasi 9,99 ppm dapat menyebabkan kematian 50% larva udang *Artemia salina* Leach. Menurut Meyer *et.al.* (1982) senyawa dengan nilai $LC_{50} < 1000$ ppm menunjukkan sifat ketoksikan. Sedangkan nilai LC_{50} 9,99 ppm bersifat sangat toksik menurut Wagner, *et.al* (1993) dalam Rahmah (2018). Golongan tingkatan ketoksikan berdasarkan nilai LC_{50} , $LC_{50} < 30$ ppm bersifat sangat toksik, LC_{50} 30-1000 ppm bersifat toksik, dan $LC_{50} > 1000$ ppm bersifat tidak toksik.

Hasil uji toksisitas dan antioksidan senyawa basa Schiff dalam penelitian ini diperoleh adanya korelasi negatif, dimana kedua variabel menunjukkan adanya arah berlawanan. Aktivitas antioksidan senyawa basa Schiff bersifat lemah, berlawanan dengan sifat toksisitasnya yang kuat. Hal ini sebagaimana penelitian Nurcholis, *et.al.* (2012) mengenai uji antioksidan, aktivitas toksisitas, dan total fenol beberapa tanaman obat. Dalam penelitian tersebut menggunakan analisis korelasi Pearson untuk menentukan korelasi dua variabel antara uji antioksidan menggunakan DPPH dengan uji toksisitas menggunakan BSLT. Hasil analisis menunjukkan bahwa korelasi diantara keduanya adalah korelasi negatif.

Aktivitas antioksidan senyawa basa Schiff bersifat lemah dengan nilai $EC_{50} = 196,4$ ppm. Sedangkan untuk toksisitas bersifat kuat dengan nilai $LC_{50} = 9,99$ ppm. Lemahnya senyawa basa Schiff sebagai antioksidan untuk menangkal

radikal bebas, dikarenakan adanya gugus hidroksil pada posisi orto dengan atom N gugus imina. Posisi tersebut menyebabkan keberadaan atom H sebagai donor proton senyawa DPPH membentuk ikatan hidrogen intramolekuler, sehingga kemampuan untuk melepas H radikal lemah. Hal ini sebagaimana penelitian Teran *et.al* (2019) mengenai karakteristik aktivitas antimikroba, antioksidan, dan leshmaniasis senyawa basa Schiff turunan 4-aminoantipirin, menunjukkan bahwa adanya gugus hidroksil pada posisi orto memiliki aktivitas antioksidan yang lebih lemah dari senyawa basa Schiff dengan gugus hidroksil posisi para. Penelitian lain mengenai ikatan hidrogen intramolekuler juga dilakukan oleh Sobczyk, *et.al.* (2016) mengenai teoritis dan eksperimental investigasi ikatan hidrogen intramolekuler, menunjukkan bahwa posisi orto gugus hidroksil pada senyawa basa Schiff dapat membentuk Zwitterionik yang ditunjukkan pada Gambar 4.14. Dalam penelitian tersebut menyebutkan bahwa ikatan hidrogen dalam bentuk molekul menjadi lebih kuat, sedangkan dalam Zwitterionik tautomer menjadi lemah. Kuatnya ikatan hidrogen dapat menyebabkan lemahnya kemampuan senyawa basa Schiff untuk mendonorkan H radikal.



Gambar 4.14 Dugaan kesetimbangan tautomerasi senyawa basa Schiff

Kemampuan senyawa basa Schiff sebagai antioksidan berbanding terbalik dengan sifat toksisitas. Nilai LC_{50} senyawa basa Schiff yang berpotensi dikembangkan sebagai antikanker didukung karena adanya gugus imina, gugus hidroksil, dua cincin dengan perpanjangan sistem konjugasi yang berinteraksi dengan sel sehingga menyebabkan kematian larva udang. Sebagaimana hasil studi docking yang dilakukan oleh Thangavelu dan Thangavel (2018) mengenai senyawa basa Schiff dengan protein, menunjukkan bahwa ada interaksi antara senyawa target dan protein. Interaksi terbaik melalui akseptor ikatan hidrogen, donor ikatan hidrogen, akseptor rantai samping, dan donor atom/gugus rantai samping. Dalam penelitian lain yang dilakukan oleh Matar *et.al.* (2015) mengenai sintesis, karakterisasi, dan aktivitas antimikroba senyawa basa Schiff turunan benzaldehida dan 3,3'-diaminodipropilamina, menyebutkan bahwa terbentuknya ikatan hidrogen melalui gugus imina senyawa basa Schiff 2-metoksi-6(feniliminometil) fenol dapat membentuk ikatan hidrogen intermolekular dengan pusat aktif, sehingga menjadi salah satu penyebab kematian larva udang.

4.8 Dialog Hasil Penelitian Prespektif Islam

Senyawa basa Schiff disintesis dari *o*-Vanilin dan anilina, menggunakan metode penggerusan. Terbentuknya senyawa basa Schiff tidak lain sebab kuasa Allah, sedangkan penggerusan adalah salah satu jalan terbentuknya senyawa tersebut. Sebagai makhluk yang menerima karunia berupa akal dan pikiran, tugas manusia di bumi adalah sebagai khalifah Allah. Khalifah yang memiliki peran dalam menjaga dan melestarikan alam, serta memanfaatkan dengan sebaik-baiknya dan bermanfaat bagi kemaslahatan.

Allah menciptakan segala sesuatu tidak dengan sia-sia, semua diciptakan dengan manfaat masing-masing. Salah satu bentuk ciptaan Allah adalah senyawa basa Schiff yang memiliki berbagai manfaat. Dalam penelitian ini senyawa basa Schiff diuji untuk mengetahui potensinya sebagai antioksidan dan sifat ketoksikan. Hasil ini dapat diuji lanjut untuk dikembangkan menjadi senyawa yang dapat diaplikasikan dalam bidang industri maupun farmakologi. Sintesis dan uji ini adalah salah satu bentuk usaha dalam memikirkan ciptaan Allah, sebagai makhluk yang diberikan rahmat berupa akal pikiran oleh Allah SWT. Adapun firman Allah mengenai orang yang berakal, sebagaimana ayat Allah dalam Q.S Al- Imron : 190-191.

إِنَّ فِي خَلْقِ السَّمَوَاتِ وَالْأَرْضِ وَاخْتِلَافِ اللَّيْلِ وَالنَّهَارِ لَآيَاتٍ لِّأُولِي الْأَلْبَابِ - ١٩٠

Artinya: "Sesungguhnya dalam penciptaan langit dan bumi, dan silih bergantinya malam dan siang terdapat tanda-tanda bagi orang-orang yang berakal."

الَّذِينَ يَذْكُرُونَ اللَّهَ قِيَامًا وَقُعُودًا وَعَلَىٰ جُنُوبِهِمْ وَيَتَفَكَّرُونَ فِي خَلْقِ السَّمَوَاتِ وَالْأَرْضِ رَبَّنَا مَا خَلَقْتَ هَذَا بَاطِلًا

سُبْحَانَكَ فَقِنَا عَذَابَ النَّارِ - ١٩١

Artinya: "(yaitu) orang-orang yang mengingat Allah sambil berdiri atau duduk atau dalam keadan berbaring dan mereka memikirkan tentang penciptaan langit dan bumi (seraya berkata): "Ya Tuhan kami, tiadalah Engkau menciptakan ini dengan sia-sia, Maha Suci Engkau, maka peliharalah kami dari siksa neraka."

Ayat tersebut menyebutkan bahwa, mereka yang senantiasa mengingat Allah SWT diwaktu berdiri, duduk, dan berbaring (disetiap hal) dalam setiap langkah kehidupannya adalah ciri ulul albab. Orang yang berpikir menurut Abdul Malik Karim Amrullah (1982) adalah orang yang tidak pernah lepas dalam mengingat Allah. Disebutkan pula bahwa, hendaknya zikir itu bertali diantara ingatan dan sebutan. Zikir dan pikir adalah dua hal yang tidak terpisahkan.

Kemudian semua kejadian yang terjadi terpikiran, sehingga timbul ingatan sebagai kesimpulan dari berpikir. Semua yang terjadi itu, tidak terjadi dengan sendirinya, melainkan ada Allah Yang Maha Pencipta yang memiliki kuasa untuk menciptakan. Allah SWT memberikan karunia berupa akal kepada manusia. Dengan akal tersebut dapat dipergunakan untuk memikirkan ciptaan Allah, menemukan hal dalam bidang teknologi, maupun ilmu pengetahuan. Akal memiliki kebebasan dalam memikirkan fenomena alam, namun terbatas dalam memikirkan Dzat Allah SWT (Shihab, 2017).

Hasil uji antioksidan senyawa basa Schiff menunjukkan nilai $EC_{50} = 196,4$ ppm. Sedangkan hasil uji toksisitas menunjukkan nilai $LC_{50} = 9,99$ ppm. Menurut Meyer (1982) dalam Rizqillah N. (2013), suatu senyawa yang memiliki nilai $LC_{50} < 30$ ppm berpotensi sebagai antikanker. Kanker adalah salah satu penyakit yang Allah turunkan kepada hamba-hamba-Nya. Bersamaan dengan adanya kanker, juga ada obat untuk menyembuhkannya. Sebab obat merupakan rahmat dari Allah. Hal ini sebagaimana hadits yang diriwayatkan oleh Abu Daud :

إن الله أنزل الداء والدواء وجعل لكل داء دواء فتداووا ولا تداووا بحرام - رواه ابو داود

Arti dari hadis riwayat Abu Daud : *“Sesungguhnya Allah telah menurunkan penyakit dan obat, setiap penyakit pasti ada obatnya. Berobatlah kalian dan janganlah berobat dengan sesuatu yang haram”*

Rentan terinfeksi berbagai penyakit, adalah sifat alami tubuh manusia. Namun berdasarkan hadis diatas menjelaskan bahwasanya Allah Swt. tidak akan menurunkan penyakit kecuali Dia menurunkan pula obatnya. Allah yang memiliki sifat tunggal, sehingga semua makhluk diciptakan berpasangan. Hal itu merupakan salah satu keajaiban ciptaan Allah di alam semesta (Najjar, 2013). Hadis tersebut juga memiliki makna substansial yaitu: Allah menurunkan

penyakit beserta obatnya, dan anjuran/perintah untuk berobat bagi orang terkena penyakit (Abduh, 2017).

Hadis tersebut juga menyiratkan perintah untuk berobat, dari rasulullah kepada umatnya yang terserang penyakit (Najjar, 2013). Adanya Uji toksisitas merupakan skrining awal untuk mengetahui potensi senyawa basa Schiff sebagai antikanker. Berdasarkan hasil uji menunjukkan $LC_{50} < 30$ ppm, hasil skrining awal senyawa basa Schiff dengan menggunakan larva udang sebagai hewan uji memiliki potensi sebagai antikanker. Hal ini dapat diuji lanjut untuk mengetahui kelayakan menjadi sebuah obat antikanker.



BAB V

PENUTUP

5.1 Kesimpulan

Kesimpulan yang diperoleh berdasarkan hasil penelitian adalah :

1. Senyawa basa Schiff hasil sintesis dari *o*-Vanilin dan anilina memiliki karakter fisik berwujud padatan jingga dengan titik leleh 75-78 °C, tidak larut dalam akuades dan larut sempurna dalam NaOH 2 M. Memiliki nilai $R_f = 0,912$, dengan warna spot jingga. Terdeteksi gugus C=N pada bilangan gelombang 1614 cm^{-1} . Hasil karakterisasi menggunakan KG-SM terdeteksi satu puncak dengan waktu retensi 38,67 menit dengan kemurnian senyawa 100%, ion molekuler menunjukkan $m/z = 227$ yang sesuai dengan berat molekul senyawa 2-metoksi-6(feniliminometil)fenol.
2. Senyawa basa Schiff dari *o*-Vanilin dan anilina memiliki aktivitas antioksidan terhadap DPPH dengan nilai $EC_{50} = 196,4$ ppm.
3. Hasil uji toksisitas senyawa basa Schiff dari *o*-Vanilin dan anilina terhadap larva *Artemia salina* Leach, menunjukkan adanya sifat toksik dengan nilai $LC_{50} = 9,99145$ ppm.

5.2 Saran

Dilakukan studi *in silico* dan uji sitotoksik senyawa basa Schiff terhadap sel kanker payudara MCF-7. Untuk mengetahui potensi senyawa basa Schiff sebagai inhibitor terhadap sel kanker payudara MCF-7.

DAFTAR PUSTAKA

- Abduh, M., 2017. Larangan Menggunakan Barang Haram Sebagai Obat. *TAHDIS*, 8(1): 21-31
- Abdul Malik Karim Amrullah, 1982. *Tafsir Al- Azhar*. Jakarta: PT. Pustaka Panjimas Jakarta.
- Aburas, N.M., 2014. Electrochemical Behaviour and Antioxidat Activity of Tetradentate Schiff Bases and Their Copper (II) Complexes. *Doctoral Dissertation*. University of Belgrade, Belgrade.
- Adawiyah, R., 2017. Sintesis Senyawa Basa Schiff dari Vanilin dan p-Anisidin Menggunakan Metode Penggerusan. *Skripsi*. Universitas Islam Negeri Maulana Malik Ibrahim Malang, Malang.
- Anad, P., Patil, V.M., Sharma, V.K., Khosa, R.L., dan Masand, N., 2012. Schiff bases : A review on biological insights. *International Journal of Drug Design and Discovery*, 3(3): 851–868.
- Anouar, E.H., Raweh, S., Bayach, I., Taha, M., Baharudin, M.S., Meo, F.D., Hasan, M.H., Adam, A., Ismail, N.H., Weber, J.F., dan Trouillas, 2013. Antioxidant Properties of Phenolic Schiff Bases: Structure-Activity Relationship and Mechanism of Action. *J. Comput Aided Mol Des*, 27: 951-964.
- Ansari, A.Q., Ahmed, S.A., dan Waheed, M.A., 2013. Extraction and determination of antioxidant activity of *Withania somnifera* Dunal. *European Journal of Experimental Biology*, 3(5): 502-507.
- Ashraf, M.A., Mahmood, K., Wajid, A., Maah, M.J., dan Yusoff, I., 2011. Synthesis, Characterization and Biological Activity of Schiff Bases. *International Conference on Chemistry and Chemical Process*, 10: 1-7.
- Bariyyah, S.K., Fasya, A.G., Abidin, M., dan Hanapi, A. 2013. Uji Antioksidan Terhadap DPPH dan Identifikasi Golongan Senyawa Aktif Ekstrak Kasar Mikroalga *Chlorella sp.* Hasil Kultivasi dalam Medium Ekstrak Tauge. *Alchemy*, 2(3): 150-204.
- Bel'kov, M.V., Ksendzova, G.A., Kuzovkov, P.V., Polozov, G.I., Skornyakov, I.V., Sorokin, V.L., Tolstorozhev, G.B., dan Shadyro, O.I. 2007. Intramolecular Hydrogen Bonds and Antioxidant Activity of Aminophenols. *Journal of Applied Spectroscopy*, 74(5): 635-641.

- Bendale, A.R., Bhatt, R., Nagar, A., Jadhav, A.G., dan Vidyasagar, G., 2011. Schiff base synthesis by unconventional route: An innovative green approach. *Der Pharma Chemica*, 3(2): 34-38.
- Bolt, H.M., Papameletiou, D., dan Klein, C.L., 2016. *SCOEL/REC/153 Aniline : Recommendation from the Scientific Committee on Occupational Exposure Limits*. Luxembourg: Publications Office of the European Union.
- Bose, A.K., Pednekar, S., Ganguly, S.N., Chakraborty, G., dan Manhas, M.S., 2004. A Simplified Green Chemistry Approach to the Biginelli reaction Using 'Grindstone Chemistry'. *Elsevier Tetrahedron Letters*. 45 : 8351-8353.
- Bragulni, W.L., Pires, N.V., dan Alves, B.B., 2018. Phytochemical Analysis, Antioxidant Properties and Brine Shrimp Lethality of Unripe Fruits of *Solanum viarum*. *Journal of Young Pharmacists*, 10(2): 159-163.
- Chigurupati, S., 2015. Designing New Vanillin Schiff Bases and their Antibacterial Studies. *Journal of Medical and Bioengineering*, 4(5): 363-366.
- Denizli, G., Oz, S., Atakol, A., Inal, E.K., dan Akay, M.A., 2013. The Effect of *o*-Substituents on Mass Spectra of Schiff Bases Synthesized from Salicylaldehyde. *SDU Journal of Science*, 8(1): 106-113.
- Effendy, 2017. *Molekul, Struktur, dan Sifat-Sifatnya*. Malang: Indonesian Academic Publishing.
- Eldridge, L., 2019. Cytotoxic Actions and Precautions. *Verywell health*. Diakses tanggal 10-11-2019 dari <http://www.verywellhealth.com>.
- Ernes, A., Hartati, R.S., Sari, P.D., dan Wiyana, N.S., 2019. *Biodiesel: Minyak Bekas Penggorengan Tepung Ikan Sardin: Pemanfaatan Limbah Rumah Tangga sebagai Energi Terbarukan*. Yogyakarta: CV. Penerbit Qiara Media.
- Fachry, H., Santoso, E., dan Febriadi, H., 2005. Pembuatan Bahan Konduktor Melalui Proses Polimerisasi Anilin. *Jurnal Teknik Kimia*, 6.
- Fessenden, R.J. dan Fessenden, J.S., 1982. *Kimia Organik Edisi Ketiga*. Jakarta: Erlangga.
- Hakimi, N.S.A., 2016. Sintesis senyawa basa schiff dari vanilin dan anilina dengan variasi air jeruk nipis sebagai katalis. *Skripsi*. Universitas Islam Negeri Maulana Malik Ibrahim, Malang.

- Hanapi, A. dan Ningsih, R., 2019. Green Synthesis, Karakterisasi dan Aktivitas Antikorosi Senyawa Turunan Imina dari o-Vanilin. *Laporan Penelitian*. Malang: Jurusan Kimia UIN Malang.
- Harmita dan Radji, M., 2008. *Buku Ajar Analisis Hayati Edisi 3*. Jakarta: Penerbit Buku Kedokteran EGC.
- Harohally, N.V., Cherita, C., Bhatt, P., dan Appaiah, K.A.A., 2017. Antiaflatoxic and Antimicrobial Activities of Schiff Bases of 2-Hydroxy-4-methoxybenzaldehyde, Cinnamaldehyde, and Similar Aldehydes. *Journal of Agricultural and Food Chemistry*, 65: 8773–8778.
- Haryoto dan Priyatno, E., 2018. *Potensi Buah Salak: Sebagai Suplemen Obat dan Pangan*. Surakarta: Muhammadiyah University Press.
- Hasanah, U., Hanapi, A., dan Ningsih, R., 2017. Synthesis of Schiff Base Compound from Vanillin and p-Toluidine by Solvent Free-Mechanochemical Method. *Proceeding of International Conference on Green Technology*, 8(1): 278-281.
- Hertiani, T. dan Pratiwi, S., 2002. Uji Toksisitas Kulit Batang Makuta Dewa terhadap *Artemia salina* Leach dan Profil Kromatografi Lapis Tipis Fraksi Aktif. *Yogyakarta*, 13(2): 65-70.
- Hess, A.V.I., 2007. Digitally Enhanced Thin-Layer Chromatography: An Inexpensive, New Technique for Qualitative and Quantitative Analysis. *Journal of Chemical Education*, 84(5): 842-847.
- Hussain, S.Z. dan Maqbool, K., 2014. GC-MS: Principle, Technique and its application in Food Science. *Current Science Journal*, 13: 116-126.
- Jasmarullah, M.F., 2018. Uji Aktivitas Antioksidan dan Uji Toksisitas Senyawa Basa Schiff dari Vanilin dan Anilina. *Skripsi*. Universitas Islam Negeri Maulana Malik Ibrahim Malang, Malang.
- Joshi, K.R., Rojivadiya, A.J., dan Pandya, J.H., 2014. Synthesis and Spectroscopic and Antimicrobial Studies of Schiff Base Metal Complexes Derived from 2-Hydroxy-3-methoxy-5-nitrobenzaldehyde. *International Journal of Inorganic Chemistry*, 1-8.
- Kolb, V.M., 2017. *Green Organic Chemistry and its Interdisciplinary Applications*. CRC Press.
- Kouznetsov, V.V., Merchán-Arenas, D.R., Martínez-Bonilla, C.A., Macías, M.A., Roussel, P., dan Gauthier, G.H., 2016. Grinding and Milling: Two Efficient Methodologies in the Solvent-Free Phosphomolybdic Acid-Catalyzed and Mechanochemical Synthesis of *cis*-4-Amido-*N*-yl-2-

methyl-tetrahydroquinolines. *Journal of the Brazilian Chemical Society*, 27(12): 2246-2255.

Kumar, D., Sing, Dr.V.K., Khiwar, Dr.S.S, dan Saxena, Dr.N., 2014. Synthesis and Characterization of Some Metal Complexes with IBA as Ligand Derived from 2-Benzoylindane-1,3-Dione. *Journal of Biomedical and Pharmaceutical Research*, 3(1): 30-41.

Kumar, M., Padmini, T., dan Ponnuvel, K., 2014. Synthesis, characterization and antioxidant activities of Schiff base are of cholesterol. *Journal of Saudi Chemical Society*.

Kumar, S., Jyotirmayee, K., dan Sarangi, M., 2013. Thin Layer Chromatography: A Tool of Biotechnology for Isolation of Bioactive Compounds from Medicinal Plants. *International Journal of Pharmaceutical Sciences Review and Research*, 18(1): 126-132.

Kumar, S., Priyadarsini, K.I., dan Sainis, K.B., 2002. Free radical scavenging activity of vanillin and o-vanillin using 1,1-diphenyl-2-picrylhydrazyl (DPPH) radical. *Redox Report*, 7(1): 35-40.

Lisdawati, V., Wiryowidagdo, S., dan Kardono, L.B.S., 2006. Brine Shrimp Lethality Test (Bslt) Dari Berbagai Fraksi Ekstrak Daging Buah Dan Kulit Biji Mahkota Dewa (*Phaleria macrocarpa*). *Buletin Penelitian Kesehatan*, 34(3): 111-118.

Marton, A., Kúsz, E., Kolozsi, C., Tubak, V., Zagotto, G., Buzás, K., Quintieri, L., dan Vizler, C., 2016. Vanillin Analogues o-Vanillin and 2,4,6-Trihydroxybenzaldehyde Inhibit NFκB Activation and Suppress Growth of A375 Human Melanoma. *Anticancer Research*, 36: 5743-5750.

Matar, S.A., Talib, W.H., Mustafa, M.S., Mubarak, M.S., dan AlDamen, M.A., 2015. Synthesis, characterization, and antimicrobial activity of Schiff bases derived from benzaldehydes and 3,3'-diaminodipropylamine. *Arabian Journal of Chemistry*, 8: 850-857.

McKissic, K.S., Caruso, J.T., Blair, R.G., dan Mack, J., 2014. Comparison of shaking versus baking: further understanding the energetics of a mechanochemical reaction. *Green Chemistry*, 16: 1628-1632.

Meyer, B., Ferrigni, N., Putnam, J., Jacobsen, L., Nichols, D., dan McLaughlin, J., 1982. Brine Shrimp: A Convenient General Bioassay for Active Plant Constituents. *Journal of Medicinal Plant Research*, 45: 31-34.

Mighfar, S., 2017. Uji Antioksidan dan Uji Toksisitas Senyawa Basa Schiff dari Vanilin dan p-Toluidina. *Skripsi*. Universitas Islam Negeri Maulana Malik Ibrahim Malang. Malang.

- Mir, H. dan Ahmed, D., 2016. Synthesis of Schiff Bases of Acetophenone with Aniline and its Different Chloro-Substituted Derivatives, and Study of their Antioxidant, Enzyme Inhibitory and Antimicrobial Properties. *Journal Chemical of Pakistan*, 38(05): 981-989.
- Molyneux, P., 2004. The use of the stable free radical diphenylpicryl- hydrazyl (DPPH) for estimating antioxidant activity. *Journal of science and Technology*, 26(2): 211-219.
- Moore, E., 2016. *Fourier Transform Infrared Spectroscopy (FTIR): Methods, Analysis and Research Insights*. Incorporated: Nova Science Publishers.
- Mudjiman, A., 1985. *Makanan Ikan*. Jakarta: Penebar Swadaya.
- Muhammad, W., Ullah, N., Khan, M., Ahmad, W., Khan, Q., dan Abbasi, B.H., 2019. Why Brine shrimp (*Artemia salina*) larvae is used as a screening system for nanomaterials? The science of procedure and nano- toxicology: A review. *International Journal of Biosciences*, 14(5): 156-176.
- Najjar, Z.R.A., 2013. *Buku Pintar SAINS dalam HADIS Mengerti Mukjizat Ilmiah Sabda Rasulullah saw*. Jakarta: ZAMAN
- Nurcholis, W., Priosoeryanto, B.P., Purwakusumah, E.D., Katayama, T., dan Suzuki, T., 2012. Antioxidant, Cytotoxic Activities, and Total Phenolic Content of Four Indonesian Medical Plants. *Valensi*, 2(4): 501-510.
- Oloyede-Akinsulere, A.I., Babajide, J.O., dan Salihu, S.O., 2018. Synthesis, Antibacterial and Antioxidant Activities of Some Tridentate Substituted Salicylaldimines. *Asian Journal of Applied Chemistry Research*, 1(4): 1–10.
- Pratiwi, P. dan Cahyana, H., 2015. Sintesis Ramah Lingkungan Senyawa Imina Turunan Vanilin dan 2-Hidroksi Asetofenon Serta Uji Aktivitas Biologi dan Antioksidan. *Pharmaceutical Sciences and Research*, 2(1): 47-58.
- Pratiwi, R.A., 2019. Uji Toksisitas Hasil Isolat Steroid Kromatografi Kolom Fraksi n-Heksana Mikroalga *Chorella* sp. *Skripsi*. Uin Maulana Malik Ibrahim Malang, Malang.
- Putri, A.A.S. dan Hidajati, N., 2015. Uji Aktivitas Antioksidan Senyawa Fenolik Ekstrak Metanol Kulit Batang Tumbuhan Nyiri Batu (*Xylocarpus moluccensis*). *UNESA Journal Of Chemistry*. 4(1): 1-6.
- Purwantini, I., Setyowati, E.P., dan Hertiani, T., 2002. Uji Toksisitas Ekstrak Etanol : Buah, Biji, Daun Makutadewa (*Phaleria macrocarpa* (Scheff.)Boerl.) terhadap *Artemia salina* Leach dan Profil Kromatografi Lapis Tipis Ekstrak Aktif. *Majalah Farmasi Indonesia*. 13(2): 101-106

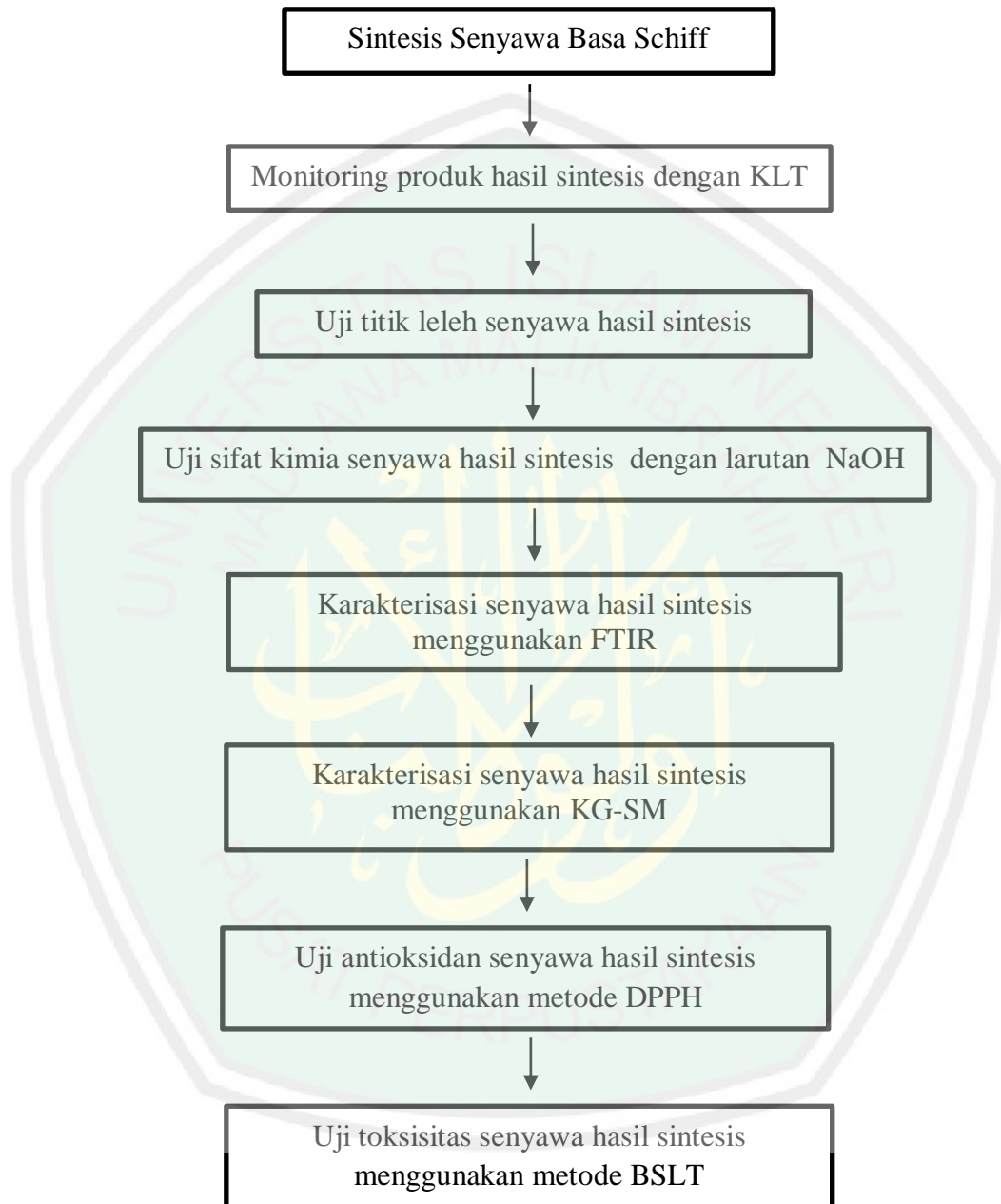
- Rahmah, F.T., 2018. Uji Toksisitas Tanaman Anting-Anting (*Acalypha indica* L.) Hasil Ekstraksi Ultrasonik dengan Variasi Pelarut dan Lama Ekstraksi. *Skripsi*. Universitas Maulana Malik Ibrahim Malang, Malang.
- Rampe, M.J. dan Tombuku, J.L., 2015. Pengujian Fitokimia dan Toksisitas Ekstrak Etanol Jantung Pisang Kepok (*Musa paradisiaca* LINN.) dengan Metode Brine Shrimp Lethality Test (BSLT). *Jurnal Sainsmat*, 4(2): 136-147.
- Rizqillah, N., 2013. Uji Toksisitas Akut Ekstrak n-Heksan Daun *Garcinia benthami* Pierre Terhadap Larva *Artemia salina* Leach dengan Metode *Brine Shrimp Lethality Test* (BSLT). *Skripsi*. Universitas Islam Negeri Syarif Hidayatullah Jakarta, Jakarta.
- Rollando, 2019. *Senyawa Antibakteri dari Fungi Endofit*. Malang: Seribu Bintang.
- Ronggopuro, B., 2019. Green Synthesis Senyawa Basa Schiff dari Vanilin dan p-Aminofenol Menggunakan Metode Penggerusan dalam Media Air Sebagai Inhibitor Korosi. *Skripsi*. Universitas Islam Negeri Maulana Malik Ibrahim Malang, Malang.
- Rubiyanto, D., 2017. *Metode Kromatografi: Prinsip Dasar, Praktikum dan Pendekatan Pembelajaran Kromatografi*. Deepublish.
- Safari, S., Idiawati, N., dan Zaharah, T.A., 2013. Efektivitas Campuran Enzim Selulase dari *Aspergillus niger* dan *Trichoderma reesei* dalam Menghidrolisis Substrat Sabut Kelapa. *JKK*, 2(1): 46-51.
- Sam, N., Affan, M.A., salam, M.A., Fasihuddin B., A., dan asaruddin, M.R., 2012. Synthesis, spectral characterization and biological activities of Organotin (IV) complexes with ortho-vanillin-2-hydrazinopyridine (VHP). *Open Journal of Inorganic Chemistry* 2: 22–27.
- Sebastian, O. dan Thapa, A., 2015. Schiff base metal complexes of Ni, Pd and Cu. *Journal of Chemical and Pharmaceutical Research*, 7(10): 953–963.
- Shekhar, T.C. dan Anju, G., 2014. Antioxidant Activity by DPPH Radical Scavenging Method of *Ageratum conyzoides* Linn. Leaves. *American Journal of Ethnomedicine*, 1(4): 244–249.
- Shihab, M. Q., 2017. *Tafsir al-Misbah; Pesan, Kesan, dan Keserasian Alquran* Vol.2. Tangerang: Lentera Hati.
- Shriner, R.L., Hermann, C.K.F., Morrill, T.C., Curtin, D.Y., dan Fuson, R.C., 2004. *The Systematic Identification of Organic Compounds*, 8th ed. John Wiley & Sons, inc.

- Silverstein, R.M., Webster, F.X., dan Kiemle, D.J., 2005. *Spectrometric Identification of Organic Compounds Seventh Edition*. United States of America: John Wiley & Sons.
- Singh, N.B., Das, S.S., Gupta, P., Gupta, A., dan Frohlich, R., 2008. Vanillin-p-Anisidine System: Solid-State Reaction and Density Functional Theory Studies. *Taylor & Francis*, 490: 106–123.
- Sirinthipaporn, A., Jiraungkoorskul, K., dan Jiraungkoorskul, W., 2016. *Artemia salina* Lethality and Histopathological Studies of Siam Weed, *Chromolaena odorata*. *Journal of Natural Remedies* 16(4): 131-136.
- Smith, B.C., 2011. *Fundamentals of Fourier Transform Infrared Spectroscopy*. CRC Press.
- Sobczyk, L., Chudoba, D., Tolstoy, P.M., dan Filarowsld, A., 2016. Some Brief Notes on Theoretical and Experimental Investigations of Intramolecular Hydrogen Bonding. *Molecules*, 21(1657): 1-19.
- Sobola, A.O., Watkins, G.M., dan Brecht, B.V., 2014. Synthesis, characterization and antimicrobial activity of copper(II) complexes of some ortho-substituted aniline Schiff bases; crystal structure of bis(2-methoxy-6-imino)methylphenol copper(II) complex. *South African Journal of Chemistry*, 67.
- Socrates. 1994. *Infrared Characteristic Group Frequencies- 2nd Edition*. England: John Wiley and Sons Ltd.
- Sparkman, O.D., Penton, Z.E., dan Kitson, F.G., 2011. *Gas Chromatography and Mass Spectrometry, Second Edition*. United Kingdom: ed. Elsevier.
- Stephenson, R.M., 2012. *Handbook of the Thermodynamics of Organic Compounds*. Springer Science & Business Media.
- TafsirWeb, 2019. Surat Luqman Ayat 11. *TafsirWeb*. Diakses pada tanggal 15 November 2019 dari URL <https://tafsirweb.com>.
- Taniguchi, M. dan Lindsey, J.S., 2018. Database of Absorption and Fluorescence Spectra of >300 Common Compounds for use in PhotochemCAD. *Photochemistry and Photobiology*, 94: 290-327.
- Thangavelu, P. dan Thangavel, S., 2018. Design, Synthesis, and Docking of Sulfadiazine Schiff Base Scaffold for Their Potential Claim as Inha Enoyl-(Acyl-Carrier-Protein) Reductase Inhibitors. *Asian Journal of Pharmaceutical and Clinical Research*, 11(10): 233-237.

- Travis, A.S., 2009. Manufacture and Uses of the Anilines: A Vast Array of Processes and Products, *in: Rappoport, Z. (Ed.), PATAI'S Chemistry of Functional Groups*. John Wiley & Sons, Ltd, Chichester, UK.
- Ulfah, M., Rahayu, P., dan Dewi, L.R., 2013. Konsep Pengetahuan Lingkungan Green Chemistry Pada Program Studi Pendidikan Biologi. *Seminar Nasional X Pendidikan Biologi FKIP UNS*, Semarang.
- Upadhyay, R.K. dan Mathur, S.P., 2007. Effect of Schiff's Bases as Corrosion Inhibitors on Mild Steel in Sulphuric Acid. *E-Journal of Chemistry*, 4(3): 408–414.
- Utomo, M.P., 2008. Teori Asam-Basa. *Makalah Pengabdian pada Masyarakat*. Fakultas Matematika dan Ilmu Pengetahuan Alam Universitas Negeri Yogyakarta, Yogyakarta.
- Vibhute, A.Y., Mokle, S.S., Nalwar, Y.S., Vibhute, Y.B., dan Gurav, V.M., 2009. An Efficient and Operationally Simple Synthesis of Some New Schiff Bases Using Grinding Technique. *Bulletin of the Catalysis Society of India*, 8: 164–168.
- Wibisono, Y., 2017. *Biomaterial dan Bioproduk*. Malang: Universitas Brawijaya Press.
- Winship, A.E., 1921. *The World commercial products Equivalents in French, German, and Spanish*. London: Sir Isaac Pitman & Sons, Limited.
- Yang, Z. dan Sun, P. 2006. Compare of three ways of synthesis of simple Schiff base. *Molbank*, M514.
- Yaws, C.L., 2015. *The Yaws Handbook of Physical Properties for Hydrocarbon and Chemicals: Physical Properties for More Than 54,000 Organic and Inorganic Chemical Compounds, Coverage for C1 to C100 Organics and Ac to Zr Inorganic*. Amerika Serikat: Gulf Professional Publishing.
- Yu, S., Feng, J., Cai, T., dan Liu, S., 2017. Schiff Base Bridged Phenolic Diphenylamines for Highly Efficient and Superior Thermostable Lubricant Antioxidants. *Industrial & Engineering Chemistry Research*. 1-9.
- Young, J.C.O.C., 2013. True Melting Point Determination. *Chem Educator*, 18: 203-208.
- Zarei, M. dan Jarrahpour, A., 2011. Green and efficient synthesis of azo Schiff bases. *Iranian Journal of Science & Technology*, A3: 235-242.

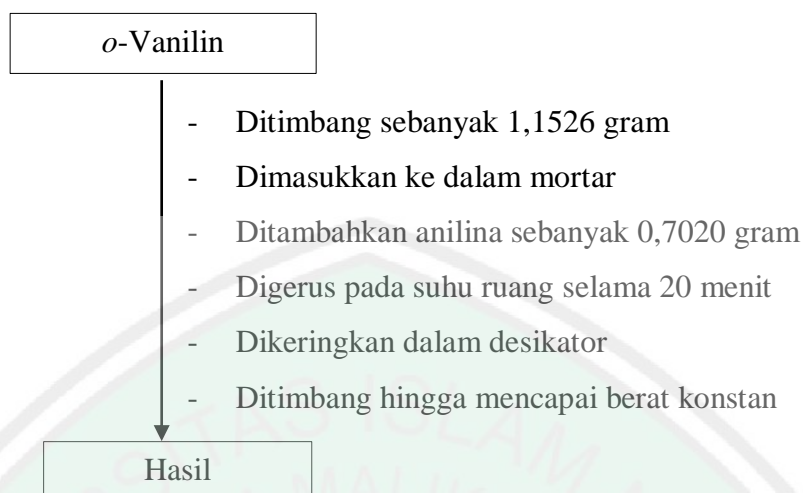
LAMPIRAN

Lampiran 1. Rancangan Penelitian

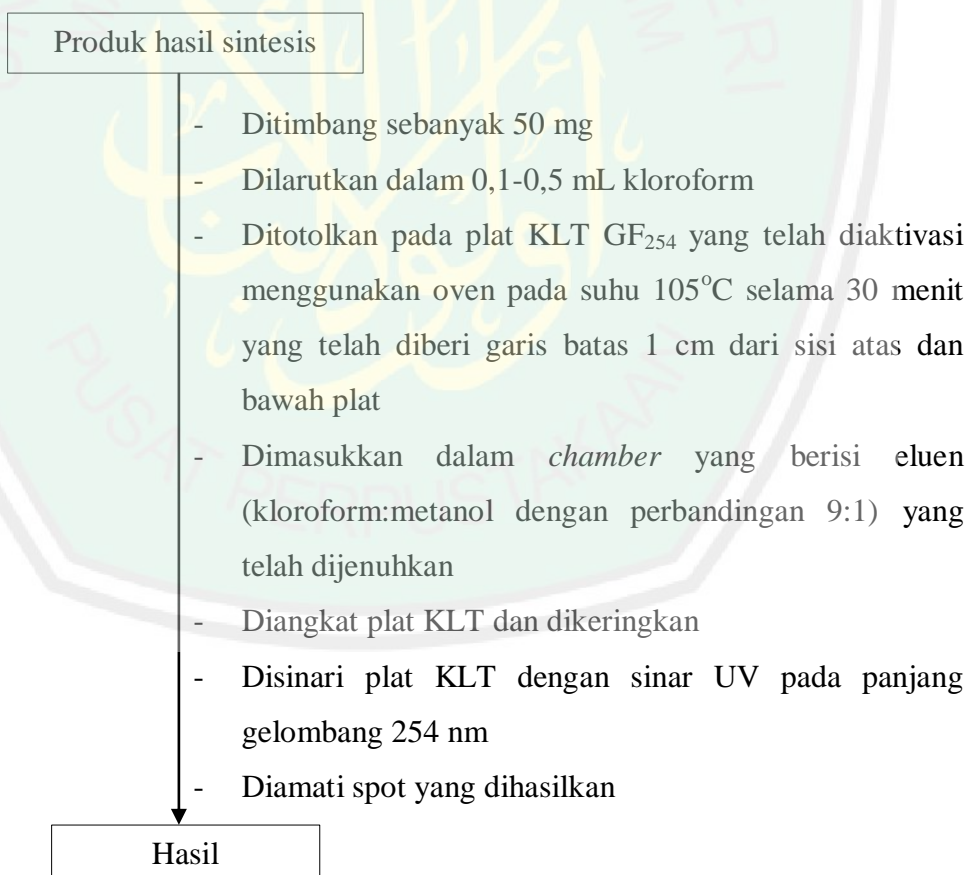


Lampiran 2. Diagram Alir

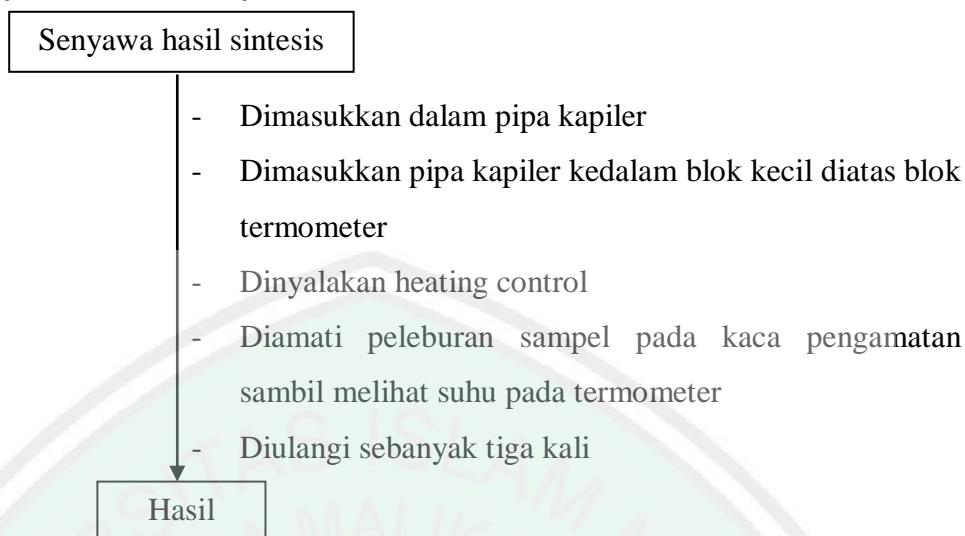
L.2.1 Sintesis Basa Schiff dari *o*-Vanilin dan Anilina



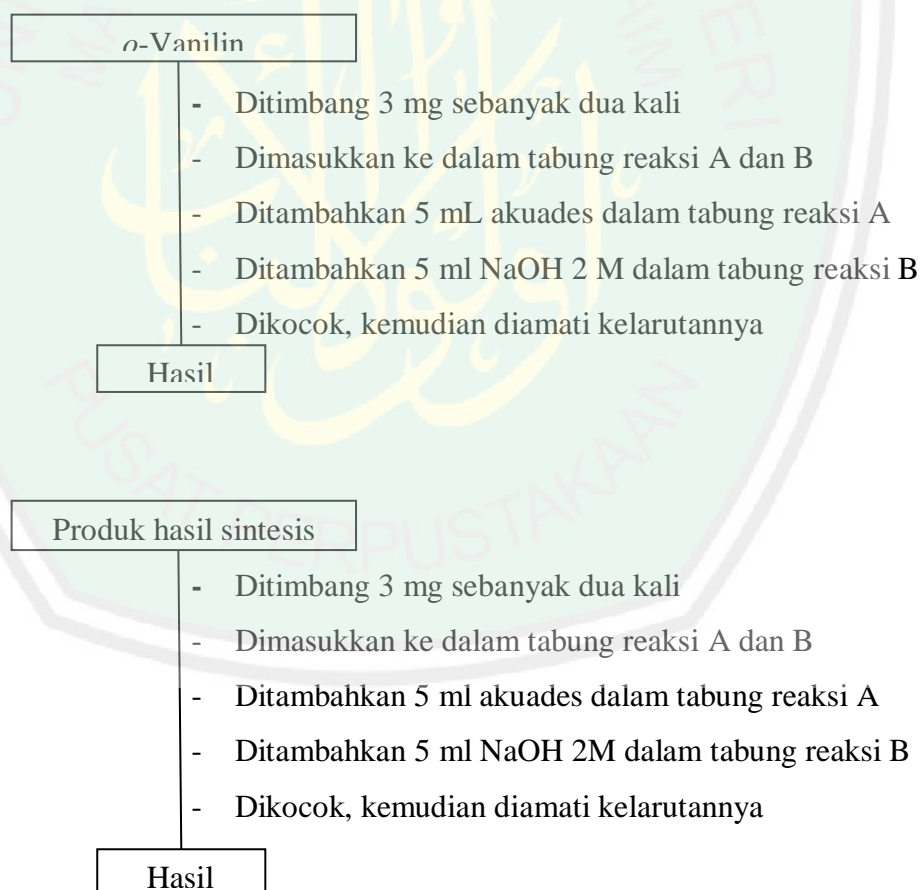
L.2.2 Monitoring Produk Hasil Sintesis Menggunakan KLT



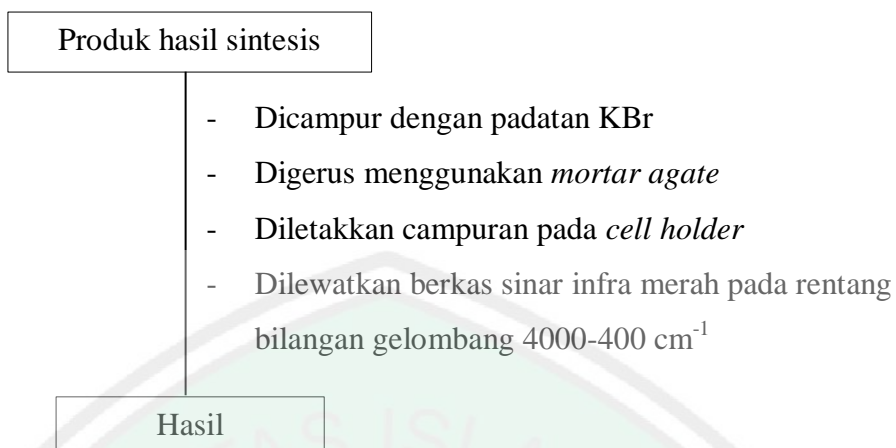
L.2.3 Uji Titik Leleh Senyawa Hasil Sintesis



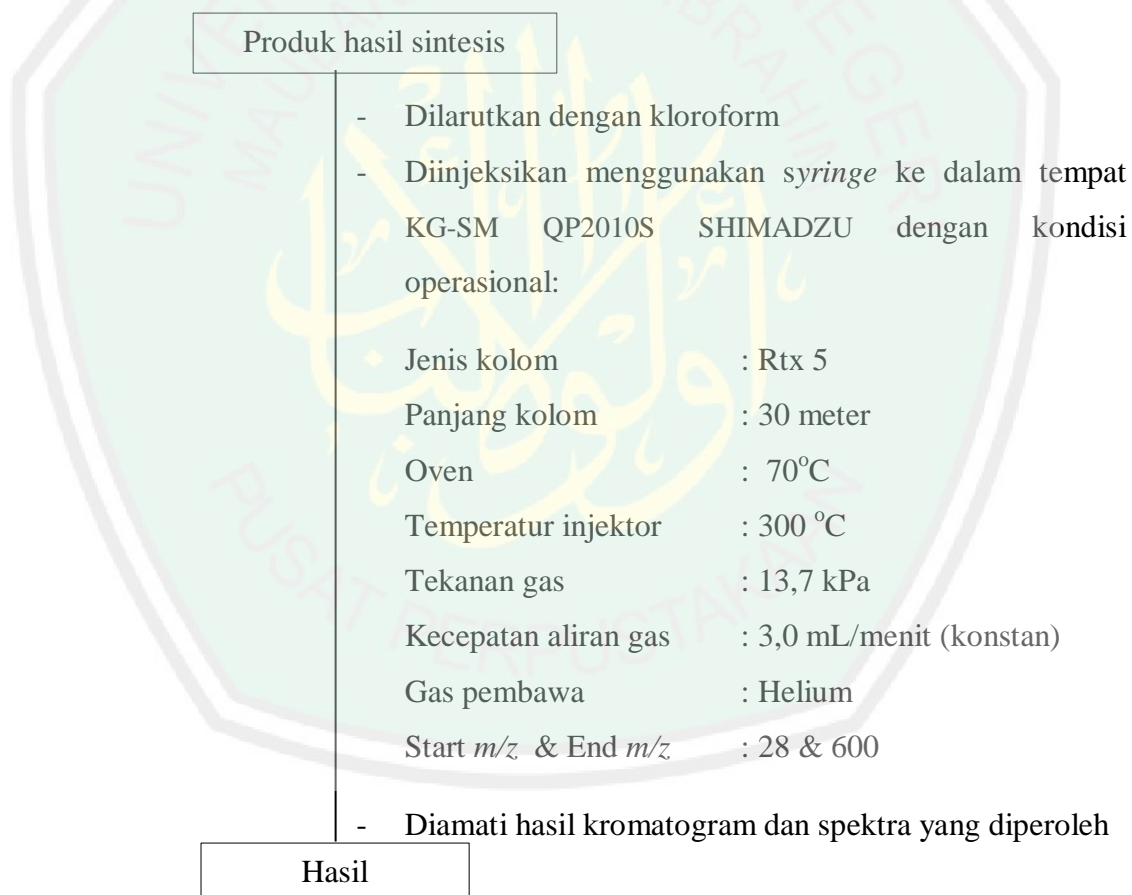
L.2.4 Uji Sifat Kimia Senyawa Hasil Sintesis Menggunakan Larutan NaOH



L.2.5 Identifikasi Menggunakan Spektrofotometer FTIR

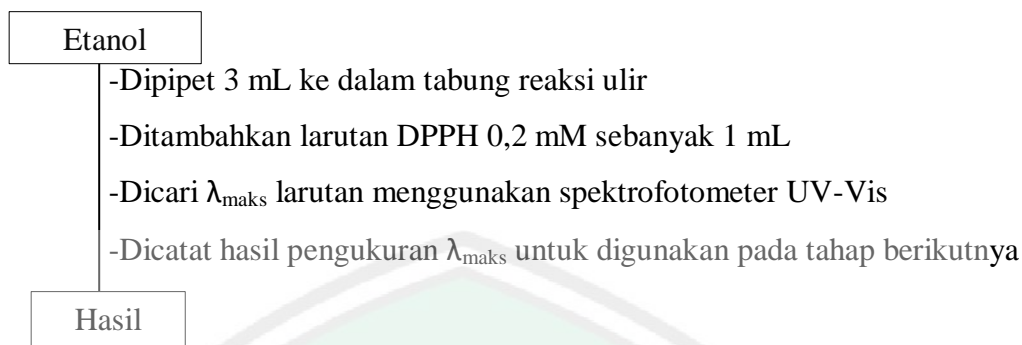


L.2.6 Identifikasi Menggunakan KG-SM



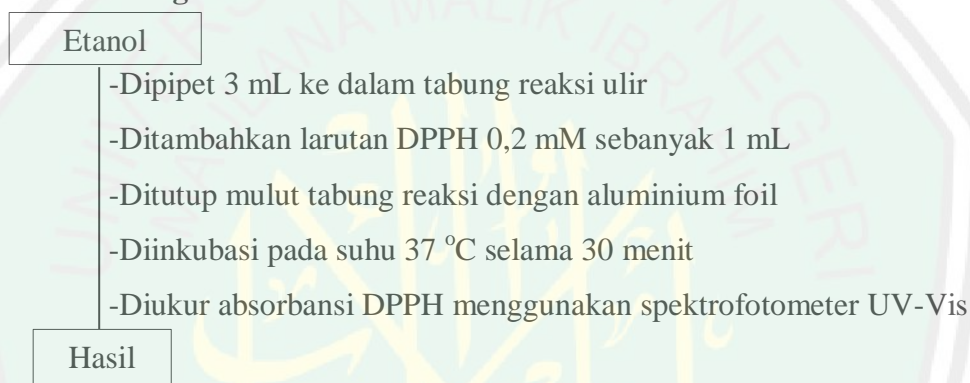
L.2.7. Uji Antioksidan Senyawa Basa Schiff

L.2.7.1 Penentuan Panjang Gelombang DPPH

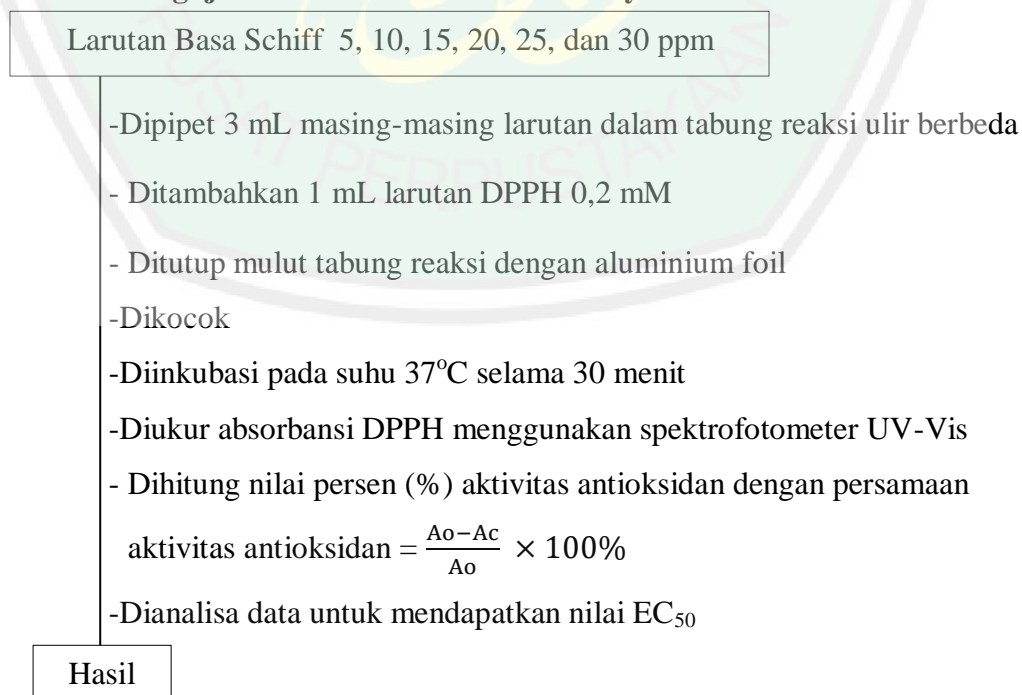


L.2.7.2 Pengujian Antioksidan Senyawa Basa Schiff

L.2.7.2.1 Pengukuran Absorbansi Kontrol



L.2.7.2.2 Pengujian Aktivitas Antioksidan Senyawa Basa Schiff



Keterangan :

Perlakuan yang sama juga dilakukan terhadap senyawa pembanding berupa *o*-Vanilin, BHT, dan vitamin C.

L.2.8. Uji Toksisitas Senyawa Basa Schiff

L.2.8.1 Penetasan Larva Udang *Artemia salina* Leach

Telur Udang

- Ditimbang 2,5 gram
- Dimasukkan dalam wadah penetasan berisi air laut sebanyak 250 mL
- Diaerasi
- Diberikan cahaya lampu neon 60 Watt
- Ditunggu setelah ± 48 jam (telur akan menetas, menuju kesisi terang)

Hasil

L.2.8.2 Uji Toksisitas

L.2.8.2.1 Pembuatan Larutan Kontrol

Larutan kontrol 0

- Dimasukkan 100 μ L etanol, kemudian diuapkan
- Ditambahkan setetes ragi dalam gelas vial
- Ditambahkan air laut hingga volumenya 10 mL
- Dimasukkan 10 ekor larva udang

Hasil

L.2.8.2.2 Uji Toksisitas Senyawa Basa Schiff

Larutan basa Schiff stok 500

- Dipipet sebanyak 200, 300, 400, 500, 600, 700 μ L kedalam gelas vial
- Diuapkan (etanol) pelarut hingga kering
- Ditambahkan 100 μ L dimetil sulfoksida (DMSO) dan setetes ragi
- Ditambahkan air laut hingga volume 10 mL
- Dimasukkan 10 ekor larva udang
- Dihitung % Mortalitas dari larva udang yang mati
- Dianalisa untuk mendapatkan nilai LC_{50}

Hasil

Lampiran 3. Perhitungan

L.3.1 Perhitungan Pengambilan Massa *o*-Vanilin 7,5 mmol (1)

$$\begin{aligned}
 \text{Rumus molekul senyawa (1)} &= \text{C}_8\text{H}_8\text{O}_3 \\
 \text{BM senyawa (1)} &= 152,16 \text{ g/mol} \\
 \text{Mol senyawa (1)} &= 0,0075 \text{ mol} \\
 \text{Massa senyawa (1)} &= \text{mol} \times \text{BM} \\
 &= 0,0075 \text{ mol} \times 152,16 \text{ g/mol} \\
 &= 1,141 \text{ gram} \\
 \text{Massa (} o\text{-Vanilin 99\%)} &= \frac{100\%}{99\%} \times 1,1411 \text{ gram} \\
 &= 1,1526 \text{ gram}
 \end{aligned}$$

L.3.2 Perhitungan Pengambilan Massa Anilina 7,5 mmol (2)

$$\begin{aligned}
 \text{Rumus molekul senyawa (2)} &= \text{C}_6\text{H}_7\text{NO} \\
 \text{BM senyawa (2)} &= 93,13 \text{ g/mol} \\
 \text{Mol senyawa (2)} &= 0,0075 \text{ mol} \\
 \text{Massa senyawa (2)} &= \text{mol} \times \text{BM} \\
 &= 0,0075 \text{ mol} \times 93,129 \text{ g/mol} \\
 &= 0,6985 \text{ gram} \\
 \text{Massa (Anilina 99\%)} &= \frac{100\%}{99\%} \times 0,6985 \text{ gram} \\
 &= 0,7020 \text{ gram}
 \end{aligned}$$

L.3.3 Perhitungan Stoikiometri Massa Senyawa 2-metoksi-6-((fenilimino)metil)fenol (3) yang diharapkan terbentuk

Reaksi =



Reaksi	senyawa (1)	+	senyawa (2)	→	senyawa (3)
Mula-mula	0,0075 mol		0,0075 mol		-
Bereaksi	0,0075 mol		0,0075 mol		0,0075 mol
Setimbang	-		-		0,0075 mol

$$\text{Rumus molekul senyawa (3)} = \text{C}_{14}\text{H}_{13}\text{NO}_2$$

BM senyawa (3)	= 227 g/mol
Mol senyawa (3)	= 0,0075 mol
Massa senyawa (3)	= mol x BM
	= 0,0075 mol x 227 g/mol = 1,7025 g

L.3.4 Pembuatan Larutan NaOH 2 M

Rumus molekul senyawa	= NaOH
BM senyawa	= 40 g/mol
Volume larutan	= 100 mL
Konsentrasi larutan	= 2M
Mol senyawa	= Konsentrasi x Volume
	= 2 M x 0,1 L M= Mol/L
	= 0,2 mol
Massa senyawa	= mol x BM
	= 0,2 mol x 40 g/mol
	= 8 gram

L.3.5 Pembuatan Larutan Uji Antioksidan

L.3.5.1 Larutan DPPH 0,2 mM

Rumus molekul senyawa	= C ₁₈ H ₁₂ N ₅ O ₆
BM DPPH	= 394,32 g/mol
Volume larutan	= 25 mL
Mol senyawa	= Konsentrasi x Volume
	= 0,2 mM x 0,025 L
	= 0,005 mmol
Massa senyawa	= mol x BM
	= 0,005 mmol x 394,32 g/mol
	= 1,9716 mg

L.3.5.1 Larutan Stok Senyawa Basa Schiff

50 ppm sebanyak 25 mL

$$\text{ppm} = \text{mg/L}$$

$$\text{mg} = \text{ppm} \times \text{L}$$

$$= 50 \text{ ppm} \times 0,025 \text{ L}$$

$$= 1,25 \text{ mg}$$

L.3.5.2 Larutan Senyawa basa Schiff 5 ppm

$$M_1 \times V_1 = M_2 \times V_2$$

$$5 \text{ ppm} \times 10 \text{ mL} = 50 \text{ ppm} \times V_2$$

$$V_2 = 1 \text{ mL}$$

Konsentrasi larutan senyawa basa Schiff (ppm)	Volume pipet (dari larutan induk 50 ppm) (mL)	Volume larutan (mL)
5	1	10
10	2	10
15	3	10
20	4	10
25	5	10
30	6	10

L.3.6 Pembuatan Larutan Uji Toksisitas

L.3.6.1 Larutan Stok Sampel

500 ppm sebanyak 25 mL

$$\text{ppm} = \text{mg/L}$$

$$\text{mg} = \text{ppm} \times \text{L}$$

$$= 500 \text{ ppm} \times 0,025 \text{ mL} = 12,5 \text{ mg}$$

L.3.6.2 Larutan Sampel 25 ppm

$$M_1 \times V_1 = M_2 \times V_2$$

$$25 \text{ ppm} \times 10 \text{ mL} = 500 \text{ ppm} \times V_2$$

$$V_2 = 0,5 \text{ mL}$$

Konsentrasi larutan sampel (ppm)	Volume pipet (dari larutan induk 500 ppm) (mL)	Volume larutan (mL)
10	0,2	10
15	0,3	10

20	0,4	10
25	0,5	10
30	0,6	10
35	0,7	10

L.3.7 Penentuan Rendemen (%) Produk Sintesis

$$\text{Rendemen (\%)} = \frac{\text{Massa produk sintesis}}{\text{massa teoritis}} \times 100\%$$

$$\begin{aligned} \% \text{ Rendemen} &= \frac{1,6140 \text{ gr}}{1,7025 \text{ gr}} \times 100\% \\ &= 94,80\% \end{aligned}$$

L.3.8 Penentuan Nilai Rf Hasil Monitoring Menggunakan KLT

$$R_f = \frac{\text{Jarak tempuh senyawa}}{\text{Jarak tempuh eluen}}$$

$$\begin{aligned} R_{f \text{ R1}(o\text{-vanilin})} &= \frac{7 \text{ cm}}{8 \text{ cm}} \\ &= 0,875 \end{aligned}$$

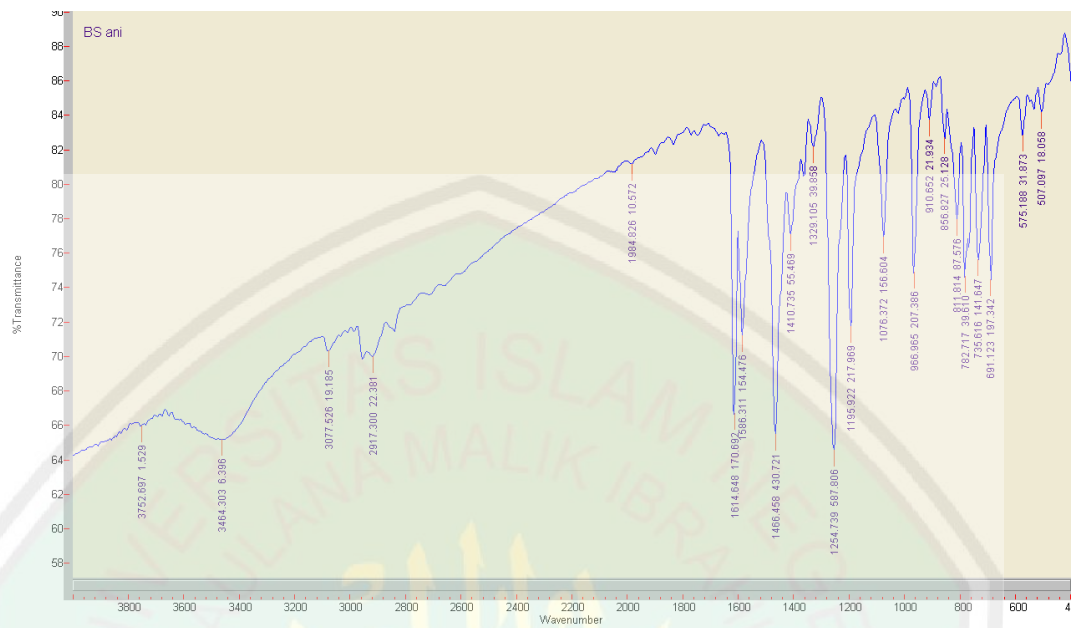
$$\begin{aligned} R_{f \text{ R2}(anilina)} &= \frac{6,6 \text{ cm}}{8 \text{ cm}} \\ &= 0,825 \end{aligned}$$

$$\begin{aligned} R_{f \text{ p(basa Schiff)}} &= \frac{7,2 \text{ cm}}{8 \text{ cm}} \\ &= 0,90 \end{aligned}$$

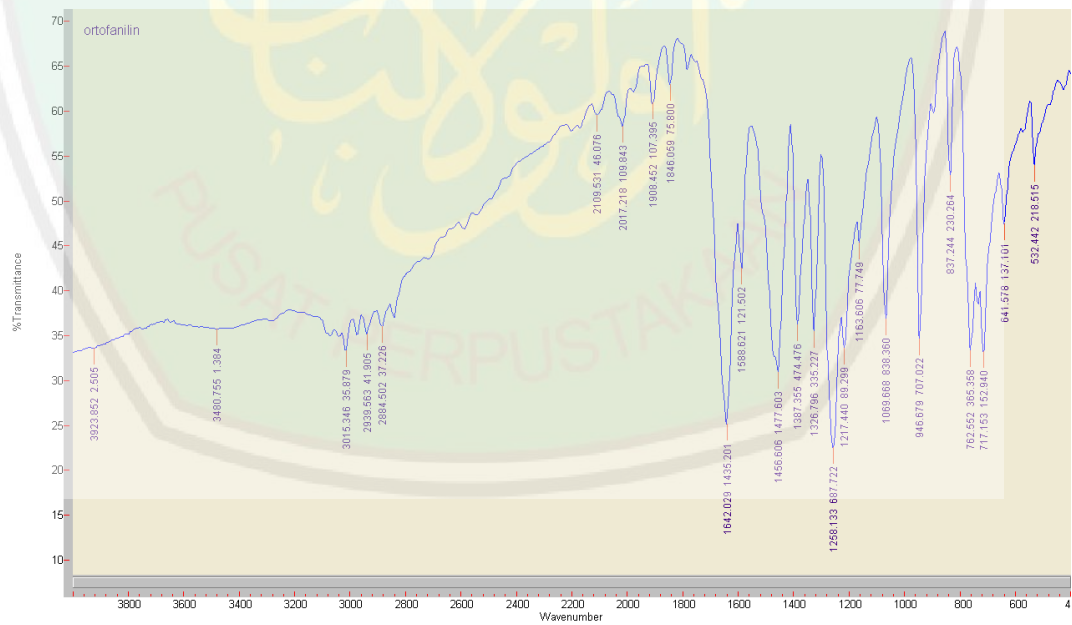
Lampiran 4. Hasil Karakterisasi

L.4.1 Hasil Karakterisasi FTIR

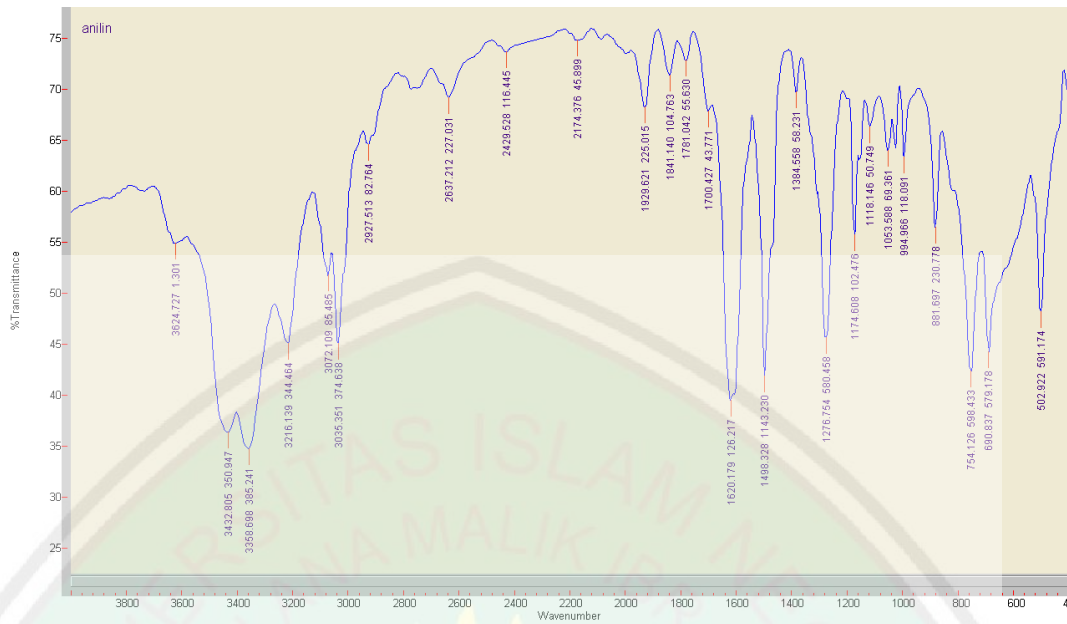
L.4.1.1 Spektra FTIR Basa Schiff



L.4.1.2 Spektra FTIR *o*-Vanilin

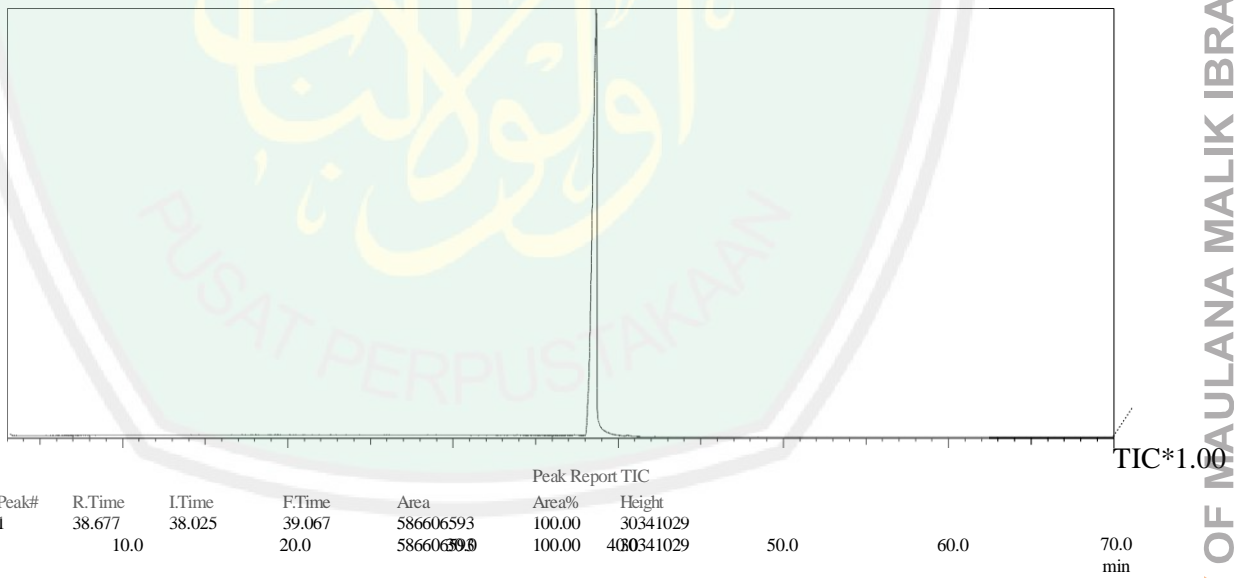


L.4.1.3 Spektra FTIR Anilina

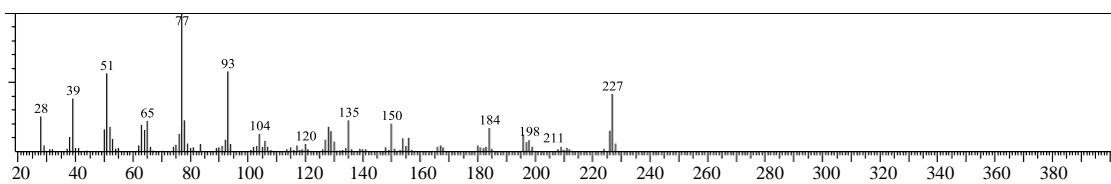


L.4.2 Hasil Karakterisasi KG-SM

L.4.2.1 Kromatogram Hasil KG



L.4.2.2 Spektra Hasil MS



Lampiran 5. Data Hasil Uji Antioksidan
L.5.1 Hasil Uji Antioksidan Basa Schiff

Tabel L.5.2.1 Absorbansi DPPH

Konsentrasi Basa Schiff (ppm)	Absorbansi			Absorbansi Rata-rata
	A1	A2	A3	
Kontrol	0,4724	0,4252	0,5861	0,4946
5	0,4284	0,4098	0,5740	0,4707
Kontrol	0,4719	0,4254	0,5873	0,4949
10	0,4244	0,4034	0,5615	0,4631
Kontrol	0,4711	0,4256	0,5889	0,4952
15	0,4057	0,3854	0,5458	0,4456
Kontrol	0,4707	0,4254	0,5879	0,4947
20	0,3913	0,3836	0,5368	0,4372
Kontrol	0,4710	0,4256	0,5884	0,4950
25	0,3773	0,3698	0,5257	0,4242
Kontrol	0,4716	0,4262	0,5886	0,4955
30	0,3680	0,3530	0,5240	0,4150

Tabel L.5.2.2 Aktivitas Antioksidan Basa Schiff

Konsentrasi Basa Schiff (ppm)	Ac*	Ao**	% Aktivitas Antioksidan
5	0,4707	0,4946	4,8256
10	0,4631	0,4949	6,4226
15	0,4456	0,4952	10,0030
20	0,4372	0,4947	11,6101
25	0,4242	0,4950	14,2930
30	0,4150	0,4955	16,2439

*Ac adalah absorbansi larutan DPPH yang mengandung senyawa basa Schiff

**Ao adalah absorbansi kontrol

$$\% \text{ Aktivitas Antioksidan} = \frac{A_o - A_c}{A_o} \times 100\%$$

Nilai EC₅₀ ditentukan menggunakan aplikasi “*Graphpad prism 8 software*” dengan persamaan regresi non linier.

Tabel L.5.2.3 Log ppm dan % Aktivitas Antioksidan

Konsentrasi Basa Schiff (ppm)	Log ppm	% Aktivitas Antioksidan
5	0,6990	4,8256
10	1	6,4226
15	1,1761	10,0030
20	1,3010	11,6101
25	1,3979	14,2930
30	1,4771	16,2439

Diperoleh nilai EC_{50}

Comparison of Fits

Null hypothesis

Alternative hypothesis

P value

Conclusion (alpha = 0.05)

Preferred model

F (DFn, DFd)

Different curve for each data set

Best-fit values

Bottom = 0,000

Top = 100,0

Log EC_{50} 2,293

HillSlope 0,8786

EC_{50} 196,4

Span = 100,0

95% CI (profile likelihood)

Log EC_{50} 2,106 to 2,564

HillSlope 0,6901 to 1,091

EC_{50} 127,6 to 366,2

Goodness of Fit

Degrees of Freedom 4

R squared 0,9835

Sum of Squares 1,695

Sy.x 0,6510

Constraints

Bottom Bottom = 0

Top Top = 100

One curve for all data sets

Best-fit values

Bottom = 0,000

Top = 100,0

Log EC_{50} 2,293

HillSlope 0,8786

EC_{50} 196,4

Span = 100,0

95% CI (profile likelihood)

Log EC_{50} 2,106 to 2,564

HillSlope 0,6901 to 1,091

EC_{50} 127,6 to 366,2

Goodness of Fit

Degrees of Freedom 4

R squared 0,9835

Sum of Squares 1,695

Sy.x 0,6510

Constraints

Bottom Bottom = 0

Top Top = 100

Log EC_{50} Log EC_{50} is shared

HillSlope HillSlope is shared

Number of points

of X values 6

Y values analyzed 6

Can't calculate
Different curve for each data set
One curve for all data sets

Models have the same DF
Different curve for each data set

2,293
0,8786
196,4

2,106 to 2,564
0,6901 to 1,091
127,6 to 366,2

4
0,9835
1,695
0,6510

L.5.2 Hasil Uji Antioksidan *o*-Vanilin

Tabel L.5.2.1 Absorbansi DPPH

Konsentrasi <i>o</i> -Vanilin (ppm)	Absorbansi			Absorbansi Rata-rata
	A1	A2	A3	
Kontrol	0,585	0,5859	0,5138	0,5616
5	0,5841	0,5839	0,4835	0,5505
Kontrol	0,5851	0,5865	0,5127	0,5614
10	0,5685	0,5682	0,471	0,5359
Kontrol	0,5869	0,5874	0,513	0,5624
15	0,5514	0,5516	0,4523	0,5184
Kontrol	0,5857	0,5872	0,5121	0,5617
20	0,54	0,5447	0,4454	0,5100
Kontrol	0,5861	0,5864	0,5131	0,5619
25	0,5322	0,5339	0,4346	0,5002
Kontrol	0,585	0,5877	0,5136	0,5621
30	0,5211	0,5221	0,4313	0,4915

Tabel L.5.2.2 Aktivitas Antioksidan *o*-Vanilin

Konsentrasi <i>o</i> -Vanilin (ppm)	Ac *	Ao **	% Aktivitas Antioksidan
5	0,5505	0,5616	1,9707
10	0,5359	0,5614	4,5479
15	0,5184	0,5624	7,8232
20	0,5100	0,5617	9,1929
25	0,5002	0,5619	10,970
30	0,4915	0,5621	12,560

*Ac adalah absorbansi larutan DPPH yang mengandung senyawa *o*-Vanilin

**Ao adalah absorbansi kontrol

$$\% \text{ Aktivitas Antioksidan} = \frac{A_o - A_c}{A_o} \times 100\%$$

Nilai EC₅₀ ditentukan menggunakan aplikasi “*Graphpad prism 8 software*” dengan persamaan regresi non linier.

Tabel L.5.2.3 Log ppm dan % Aktivitas Antioksidan

Konsentrasi <i>o</i> -Vanilin (ppm)	Log ppm	% Aktivitas Antioksidan
5	0,6990	1,9707
10	1	4,5479
15	1,1761	7,8232
20	1,3010	9,1929
25	1,3979	10,970
30	1,4771	12,560

Diperoleh Nilai EC_{50}

Comparison of Fits

Null hypothesis

Alternative hypothesis

P value

Conclusion ($\alpha = 0.05$)

Preferred model

F (DFn, DFd)

Different curve for each data set

Best-fit values

Bottom = 0,000

Top = 100,0

Log EC_{50} 2,337

HillSlope 0,9673

 EC_{50} 217,0

Span = 100,0

95% CI (profile likelihood)

Log EC_{50} 2,149 to 2,602

HillSlope 0,7676 to 1,194

 EC_{50} 140,9 to 399,9

Goodness of Fit

Degrees of Freedom 4

R squared 0,9852

Sum of Squares 1,174

Sy.x 0,5417

Constraints

Bottom Bottom = 0

Top Top = 100

One curve for all data sets

Best-fit values

Bottom = 0,000

Top = 100,0

Log EC_{50} 2,337

HillSlope 0,9673

 EC_{50} 217,0

Span = 100,0

95% CI (profile likelihood)

Log EC_{50} 2,149 to 2,602

HillSlope 0,7676 to 1,194

 EC_{50} 140,9 to 399,9

Goodness of Fit

Degrees of Freedom 4

R squared 0,9852

Sum of Squares 1,174

Sy.x 0,5417

Constraints

Bottom Bottom = 0

Top Top = 100

Log EC_{50} Log EC_{50} is shared

HillSlope HillSlope is shared

Number of points

of X values 6

Y values analyzed 6

Can't calculate
Different curve for each data set
One curve for all data sets

Models have the same DF
Different curve for each data set

2,337
0,9673
217,0

2,149 to 2,602
0,7676 to 1,194
140,9 to 399,9

4
0,9852
1,174
0,5417

L.5.3 Hasil Uji Antioksidan BHT

Tabel L.5.3.1 Absorbansi DPPH

Konsentrasi BHT (ppm)	Absorbansi			Absorbansi Rata-rata
	A1	A2	A3	
Kontrol	0,4305	0,5639	0,4828	0,4924
5	0,3101	0,3742	0,2458	0,3100
Kontrol	0,4314	0,5646	0,4822	0,4927
10	0,2400	0,2884	0,2326	0,2537
Kontrol	0,4330	0,5646	0,4827	0,4934
15	0,1993	0,2489	0,1868	0,2117
Kontrol	0,4301	0,5645	0,4828	0,4924
20	0,1661	0,2418	0,1868	0,1982
Kontrol	0,4275	0,5642	0,4829	0,4915
25	0,1538	0,2249	0,1779	0,1855
Kontrol	0,4269	0,5651	0,4824	0,4915
30	0,1258	0,2188	0,1641	0,1696

Tabel L.5.3.2 Aktivitas Antioksidan BHT

Konsentrasi BHT (ppm)	Ac*	Ao**	% Aktivitas Antioksidan
5	0,3100	0,4924	37,0418
10	0,2537	0,4927	48,5151
15	0,2117	0,4934	57,1018
20	0,1982	0,4924	59,7454
25	0,1855	0,4915	62,2542
30	0,1696	0,4915	65,4944

*Ac adalah absorbansi larutan DPPH yang mengandung senyawa BHT

**Ao adalah absorbansi kontrol

$$\% \text{ Aktivitas Antioksidan} = \frac{A_o - A_c}{A_o} \times 100\%$$

Nilai EC₅₀ ditentukan menggunakan aplikasi “*Graphpad prism 8 software*” dengan persamaan regresi non linier.

Tabel L.5.3.3 Log ppm dan % Aktivitas Antioksidan

Konsentrasi BHT (ppm)	Log ppm	% Aktivitas Antioksidan
5	0,6990	37,0418
10	1	48,5151
15	1,1761	57,1018
20	1,3010	59,7454
25	1,3979	62,2542
30	1,4771	65,4944

Diperoleh Nilai EC₅₀

Comparison of Fits

Null hypothesis

Alternative hypothesis

P value

Conclusion (alpha = 0.05)

Preferred model

F (DFn, DFd)

Different curve for each data set

Best-fit values

Bottom = 0,000

Top = 100,0

LogEC₅₀ 1,037

HillSlope 0,6487

EC₅₀ 10,88

Span = 100,0

95% CI (profile likelihood)

LogEC₅₀ 0,9939 to 1,075

HillSlope 0,5595 to 0,7396

EC₅₀ 9,860 to 11,88

Goodness of Fit

Degrees of Freedom 4

R squared 0,9909

Sum of Squares 5,039

Sy.x 1,122

Constraints

Bottom Bottom = 0

Top Top = 100

One curve for all data sets

Best-fit values

Bottom = 0,000

Top = 100,0

LogEC₅₀ 1,037

HillSlope 0,6487

EC₅₀ 10,88

Span = 100,0

95% CI (profile likelihood)

LogEC₅₀ 0,9939 to 1,075

HillSlope 0,5595 to 0,7396

EC₅₀ 9,860 to 11,88

Goodness of Fit

Degrees of Freedom 4

R squared 0,9909

Sum of Squares 5,039

Sy.x 1,122

Constraints

Bottom Bottom = 0

Top Top = 100

LogEC₅₀ LogEC₅₀ is shared

HillSlope HillSlope is shared

Number of points

of X values 6

Y values analyzed 6

Can't calculate
Different curve for each data set
One curve for all data sets

Models have the same DF
Different curve for each data set

1,037
0,6487
10,88

0,9939 to 1,075
0,5595 to 0,7396
9,860 to 11,88

4
0,9909
5,039
1,122

L.5.4 Hasil Uji Antioksidan Vitamin C

Tabel L.5.4.1 Absorbansi DPPH

Konsentrasi BHT (ppm)	Absorbansi			Absorbansi Rata-rata
	A1	A2	A3	
Kontrol	0,515	0,7593	0,7577	0,6773
1	0,4629	0,6414	0,6674	0,5906
Kontrol	0,5135	0,758	0,7575	0,6763
2	0,4285	0,5609	0,5672	0,5189
Kontrol	0,5138	0,7563	0,7568	0,6756
3	0,3738	0,4463	0,4225	0,4142
Kontrol	0,5142	0,7573	0,7586	0,6767
4	0,3215	0,3103	0,3148	0,3155
Kontrol	0,5139	0,7585	0,7591	0,6772
5	0,2756	0,2079	0,1832	0,2222
Kontrol	0,5142	0,7588	0,7606	0,6779
6	0,2444	0,1184	0,1127	0,1585

Tabel L.5.4.2 Aktivitas Antioksidan Vitamin C

Konsentrasi Vitamin C (ppm)	Ac*	Ao**	% Aktivitas Antioksidan
1	0,5906	0,6773	12,8100
2	0,5189	0,6763	23,2824
3	0,4142	0,6756	38,6946
4	0,3155	0,6767	53,3718
5	0,2222	0,6772	67,1819
6	0,1585	0,6779	76,6178

*Ac adalah absorbansi larutan DPPH yang mengandung Vitamin C

**Ao adalah absorbansi kontrol

$$\% \text{ Aktivitas Antioksidan} = \frac{A_o - A_c}{A_o} \times 100\%$$

Nilai EC₅₀ ditentukan menggunakan aplikasi “*Graphpad prism 8 software*” dengan persamaan regresi non linier.

Tabel L.5.3.3 Log ppm dan % Aktivitas Antioksidan

Konsentrasi Vitamin C (ppm)	Log ppm	% Aktivitas Antioksidan
1	0	12,8100
2	0,3010	23,2824
3	0,4771	38,6946
4	0,6021	53,3718
5	0,6990	67,1819
6	0,7782	76,6178

Diperoleh Nilai EC₅₀

Comparison of Fits

Null hypothesis

Alternative hypothesis

P value

Conclusion (alpha = 0.05)

Preferred model

F (DFn, DFd)

Different curve for each data set

Best-fit values

Bottom = 0,000

Top = 100,0

LogEC₅₀ 0,5545

HillSlope 1,999

EC₅₀ 3,585

Span = 100,0

95% CI (profile likelihood)

LogEC₅₀ 0,5085 to 0,5982

HillSlope 1,499 to 2,638

EC₅₀ 3,225 to 3,965

Goodness of Fit

Degrees of Freedom 4

R squared 0,9833

Sum of Squares 51,86

Sy.x 3,601

Constraints

Bottom Bottom = 0

Top Top = 100

One curve for all data sets

Best-fit values

Bottom = 0,000

Top = 100,0

LogEC₅₀ 0,5545

HillSlope 1,999

EC₅₀ 3,585

Span = 100,0

95% CI (profile likelihood)

LogEC₅₀ 0,5085 to 0,5982

HillSlope 1,499 to 2,638

EC₅₀ 3,225 to 3,965

Goodness of Fit

Degrees of Freedom 4

R squared 0,9833

Sum of Squares 51,86

Sy.x 3,601

Constraints

Bottom Bottom = 0

Top Top = 100

LogEC₅₀ LogEC₅₀ is shared

HillSlope HillSlope is shared

Number of points

of X values 6

Y values analyzed 6

Can't calculate
Different curve for each data set
One curve for all data sets

Models have the same DF
Different curve for each data set

0,5545
1,999
3,585

0,5085 to 0,5982
1,499 to 2,638
3,225 to 3,965

4
0,9833
51,86
3,601

Lampiran 6. Data Hasil Uji Toksisitas
L.6.1 Hasil Uji Toksisitas Basa Schiff

Tabel L.6.1.1 Persen mortalitas senyawa basa Schiff

Konsentrasi (ppm)	Jumlah larva yang mati (ekor)					Modus	% Mortalitas (%)
	I	II	III	IV	V		
0	0	0	1	0	0	0	
10	3	3	5	5	5	5	50
15	8	6	6	8	8	8	80
20	6	9	6	9	9	9	90
25	10	10	10	9	10	10	100
30	10	10	10	9	10	10	100
35	10	10	9	10	10	10	100

$$\% \text{ Mortalitas} = \frac{\text{Jumlah larva udang yang mati}}{\text{Jumlah larva udang yang diuji (10)}} \times 100\%$$

Tabel L.6.1.2 Mortalitas senyawa basa Schiff

Konsentrasi	Jumlah hewan uji (ekor)	Mortalitas
0	50	25
10	50	40
15	50	45
20	50	50
25	50	50
30	50	50

$$\text{Mortalitas} = \% \text{ Mortalitas} \times \text{jumlah hewan uji}$$

Probit Analysis: Mortalitas; n versus Konsentrasi

Distribution: Normal

Response Information

Variable	Value	Count
Mortalitas	Event	260
	Non-event	40
n	Total	300

Estimation Method: Maximum Likelihood

Regression Table

Variable	Coef	Standard Error	Z	P
Constant	-1,51605	0,375009	-4,04	0,000
Konsentrasi	0,151735	0,0247283	6,14	0,000
Natural Response	0			

Log-Likelihood = -77,104

Goodness-of-Fit Tests

Method	Chi-Square	DF	P
Pearson	1,85015	4	0,763
Deviance	2,34509	4	0,673

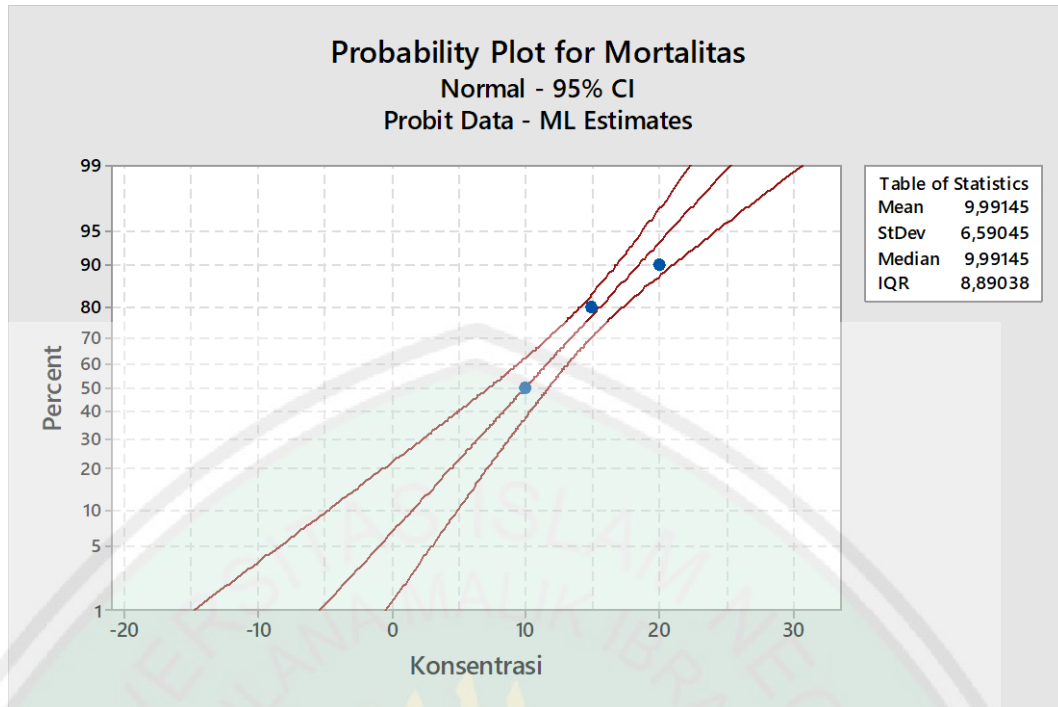
Tolerance Distribution

Parameter Estimates

Parameter	Estimate	Standard Error	95,0% Normal CI	
			Lower	Upper
Mean	9,99145	1,04828	7,93685	12,0460
StDev	6,59045	1,07405	4,78844	9,07060

Table of Percentiles

Percent	Percentile	Standard Error	95,0% Fiducial CI	
			Lower	Upper
1	-5,34024	3,31061	-14,7936	-0,380425
2	-3,54369	3,02635	-12,1706	0,997976
3	-2,40383	2,84689	-10,5082	1,87430
4	-1,54637	2,71245	-9,25876	2,53463
5	-0,848882	2,60350	-8,24324	3,07258
6	-0,255214	2,51110	-7,37953	3,53111
7	0,265317	2,43036	-6,62278	3,93371
8	0,731390	2,35831	-5,94569	4,29467
9	1,15527	2,29301	-5,33034	4,62338
10	1,54544	2,23310	-4,76430	4,92637
20	4,44478	1,79583	-0,574079	7,19366
30	6,53541	1,49390	2,42041	8,85550
40	8,32177	1,25179	4,94667	10,3079
50	9,99145	1,04828	7,26050	11,7128
60	11,6611	0,882552	9,49365	13,1984
70	13,4475	0,774928	11,7287	14,9421
80	15,5381	0,779113	14,0472	17,2799
90	18,4374	1,00014	16,7743	21,0103
91	18,8276	1,04274	17,1131	21,5405
92	19,2515	1,09133	17,4762	22,1214
93	19,7176	1,14718	17,8704	22,7653
94	20,2381	1,21215	18,3052	23,4899
95	20,8318	1,28906	18,7952	24,3222
96	21,5293	1,38262	19,3642	25,3065
97	22,3867	1,50144	20,0560	26,5245
98	23,5266	1,66443	20,9654	28,1539
99	25,3231	1,92970	22,3817	30,7389



L.6.2 Hasil Uji Toksisitas *o*-Vanilin

Tabel L.6.2.1 Persen mortalitas senyawa orto-vanilin

Konsentrasi (ppm)	Jumlah larva yang mati (ekor)					Modus	% Mortalitas (%)
	I	II	III	IV	V		
0	0	0	0	0	0	0	
10	0	0	0	0	0	0	0
15	0	0	0	0	0	0	0
20	0	0	0	1	0	0	0
25	1	2	0	0	0	0	0
30	1	0	0	0	0	0	0
35	0	0	0	0	1	0	0

$$\% \text{ Mortalitas} = \frac{\text{Jumlah larva udang yang mati}}{\text{Jumlah larva udang yang diuji (10)}} \times 100\%$$

Tabel L.6.2.2 Mortalitas senyawa *o*-Vanilin

Konsentrasi	Jumlah hewan uji (ekor)	Mortalitas
0	50	0
10	50	0
15	50	0
20	50	0
25	50	0
30	50	0

$$\text{Mortalitas} = \% \text{ Mortalitas} \times \text{jumlah hewan uji}$$

L.6.3 Hasil Uji Toksisitas Anilina

Tabel L.6.3.1 Persen mortalitas senyawa anilina

Konsentrasi (ppm)	Jumlah larva yang mati (ekor)					Modus	% Mortalitas (%)
	I	II	III	IV	V		
0	0	0	0	0	0	0	
10	0	0	1	0	0	0	0
15	0	0	1	2	0	0	0
20	0	0	0	0	1	0	0
25	0	1	2	0	0	0	0
30	0	0	0	1	0	0	0
35	0	0	0	0	1	0	0

$$\% \text{ Mortalitas} = \frac{\text{Jumlah larva udang yang mati}}{\text{Jumlah larva udang yang diuji (10)}} \times 100\%$$

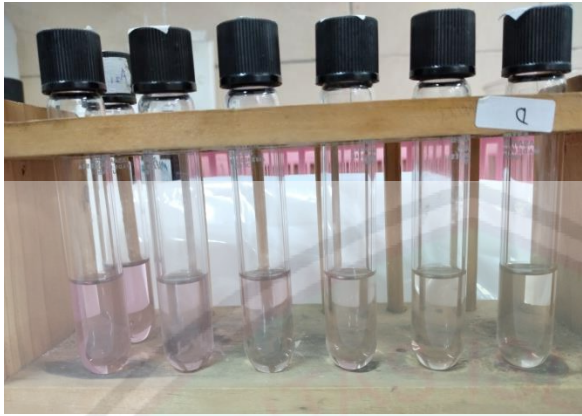
Tabel L.6.3.2 Mortalitas senyawa anilina

Konsentrasi	Jumlah hewan uji (ekor)	Mortalitas
0	50	0
10	50	0
15	50	0
20	50	0
25	50	0
30	50	0

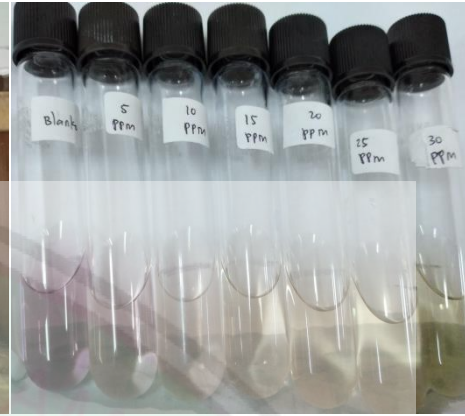
$$\text{Mortalitas} = \% \text{ Mortalitas} \times \text{jumlah hewan uji}$$

Lampiran 7. Dokumentasi

L.7.1 Uji Antioksidan



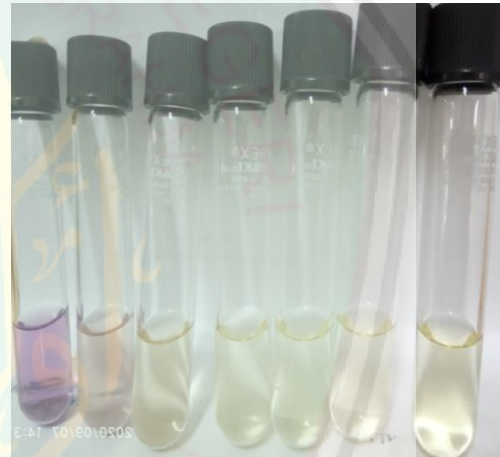
Uji Antioksidan Senyawa Basa Schiff



Uji Antioksidan senyawa BHT

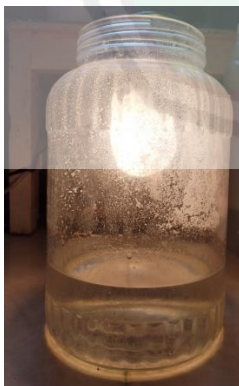


Uji Antioksidan Senyawa *o*-Vanilin



Uji Antioksidan Vit. C

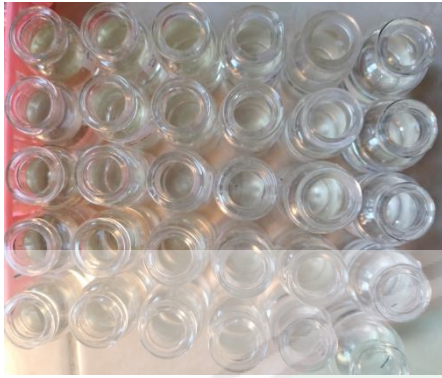
L.7.2 Uji Toksisitas



Penetasan Larva Udang Artemia Salina Leach



Uji Toksisitas Senyawa Basa Schiff



Uji Toksisitas Senyawa Anilina



Uji Toksisitas Senyawa *o*-Vanilin



C:\GCMSsolution\Data\Project1\Rtx 5 MS 2019\Ainun Ainun Produk Basa Schiff u1.qgd
 Lab Kimia Organik FMIPA – UGM

GCMS-QP2010S SHIMADZU

Kolom : Rtx 5
 Panjang : 30 meter
 ID : 0,25 mm
 Film : 0,25 um
 Gas pembawa : Helium
 Pengionan : EI 70 Ev

Method

[Comment]

===== Analytical Line 1 =====

[GC-2010]

Column Oven Temp. :70.0 °C
 Injection Temp. :300.00 °C
 Injection Mode :Split
 Flow Control Mode :Pressure
 Pressure :13.7 kPa
 Total Flow :28.0 mL/min
 Column Flow :0.50 mL/min
 Linear Velocity :25.9 cm/sec
 Purge Flow :3.0 mL/min
 Split Ratio :49.0
 High Pressure Injection :OFF
 Carrier Gas Saver :OFF
 Splitter Hold :OFF
 Oven Temp. Program

Rate	Temperature(°C)	Hold Time(min)
-	70.0	5.00
5.00	300.0	19.00

< Ready Check Heat Unit >

Column Oven : Yes

SPL1 : Yes

MS : Yes

< Ready Check Detector(FTD) >

< Ready Check Baseline Drift >

< Ready Check Injection Flow >

SPL1 Carrier : Yes

SPL1 Purge : Yes

< Ready Check APC Flow >

< Ready Check Detector APC Flow >

External Wait :No

Equilibrium Time :3.0 min

[GC Program]

[GCMS-QP2010]

IonSourceTemp :250.00 °C

Interface Temp. :305.00 °C

Solvent Cut Time :3.00 min
Detector Gain Mode :Relative
Detector Gain :+0.00 kV
Threshold :0

[MS Table]

--Group 1 - Event 1--

Start Time :3.20min
End Time :70.00min
ACQ Mode :Scan
Event Time :0.50sec
Scan Speed :1250
Start m/z :28.00
End m/z :600.00

Sample Inlet Unit :GC

[MS Program]

Use MS Program :OFF

